

Российская Академия Наук
Уфимский научный центр
Институт геологии

Е.Н.Горожанина

ЛИТОФАЦИАЛЬНЫЕ И ПАЛЕОГЕОГРАФИЧЕСКИЕ
КРИТЕРИИ ПРОГНОЗИРОВАНИЯ НЕФТЕГАЗОНОСНОСТИ
БИЙСКО-АФОНИНСКИХ ОТЛОЖЕНИЙ
ЮГО-ЗАПАДА ОРЕНБУРЖЬЯ

Горожанина Е.Н. Литофациальные и палеогеографические критерии прогнозирования нефтегазоносности бийско-афонинских отложений юго-запада Оренбуржья

**Уфа: РАН, Уфимский научный центр, Институт геологии, 1996
– 137 с.**

В отчете дано описание бийско-афонинских карбонатных отложений юго-запада Оренбуржья. Рассмотрены условия образования и закономерности распределения литофаций. Проведен микрофациальный анализ отложений и сделан вывод о формировании их в области полого наклоненного шельфа в условиях трансгрессии. В качестве палеогеографических критериев прогнозирования пластов-коллекторов, представленных в большинстве скважин доломитизированными коралловыми известняками, рассматриваются: положение разрезов в зоне перехода от глубоководной к мелководной области шельфа, закономерная эволюция карбонатонакопления, обусловленная трансгрессивным циклом осадконакопления: смена более мелководных фаций более глубоководными, и, как следствие, перекрытие биогермных пород отложениями межбиогермных прогибов при поднятии уровня моря.

ISBN 5-88767-028-5

ББК 27/2+32.254(2Р17)

Содержание

Введение	3
Часть 1. Описание метода исследований	7
Часть 2. Литофациальная характеристика бийско-афонинских карбонатов Давыдовской и Ливкинской площадей	15
2.1. Давыдовская площадь. Описание литофаций по скважинам	15
2.2. Особенности распределения литофациальных типов пород на площади	30
2.3. Ливкинская площадь. Описание литофаций по скважинам	42
2.4. Особенности распределения литофациальных типов пород на площади	48
2.5. Краткая характеристика койвенских отложений Давыдовской и Ливкинской площадей	53
Часть 3. Постседиментационные преобразования бийско-афонинских карбонатов	54
3.1. Доломитизация	54
3.2. Окремнение	57
3.3. Перекристаллизация	58
3.4. Стиллолиты	58
3.5. Пиритизация	61
3.6. Пористость и постседиментационные преобразования	61
Часть 4. Палеогеографические условия карбонатонакопления в бийско-афонинское время на территории юго-запада Оренбуржья	63
4.1. Факторы, влияющие на палеогеографическую зональность	63
4.2. Характеристика фациальных зон Давыдовской и Ливкинской площадей	66
4.3. Биофациальная зональность	68
4.4. Цикличность карбонатонакопления	70
4.5. Седиментационная модель	71
Часть 5. Литофациальные и палеогеографические критерии нефтегазоносности бийско-афонинских карбонатов Давыдовской и Ливкинской площадей	73
Заключение	82
Литература	84
Приложения	88

Введение.

Открытие в последние годы на территории Оренбургской области залежей нефти, приуроченных к карбонатам бийского и афонинского горизонтов эйфельского яруса среднего девона показывает перспективность этих отложений для продолжения поисково-разведочных работ (Фомина, 1996). Большую помощь в прогнозировании пористых коллекторов могут оказать литофацальный анализ отложений и последующие палеогеографические реконструкции, широко применяемые в мировой практике поисков нефти в карбонатных отложениях (Геология гигантских...). Литофацальные исследования нефтеносных отложений, проводимые на территории Башкирии (Юнусов и др., 1967, 1966, 1975; Сюндюков, 1975, Масагутов, 1989) и Оренбургской области (Макарова и др., 1975, 1979; Ворожбит и др., 1983 и др.) показали необходимость их проведения при поисках неструктурных ловушек.

В основу предлагаемой работы положены результаты детального литофацального анализа бийско-афонинских карбонатных отложений Давыдовской и Ливкинской площадей юго-западной части Оренбургской области. На рисунке 1, заимствованном из статьи Н.В.Фоминой (1996), показано структурное районирование Оренбургской области и положение месторождений углеводородов, выявленных в эйфельских отложениях, в том числе Давыдовского месторождения (15) и Ливкинской поисково-разведочной площади (6а). Они приурочены к северному борту Рубежинско-Уральского прогиба, выделяемого в составе Бузулукской впадины, и залегают под мощным чехлом платформенных осадков на глубине свыше 4000 м.

В задачу исследований входило изучение состава и определение литофацальных типов карбонатных пород коллекторов и покрышек, выявление закономерностей их распределения по площади, определение палеогеографических условий формирования и направления геологических процессов, влияющих на осадконакопление, изучение влияния диагенетических преобразований пород на емкост-

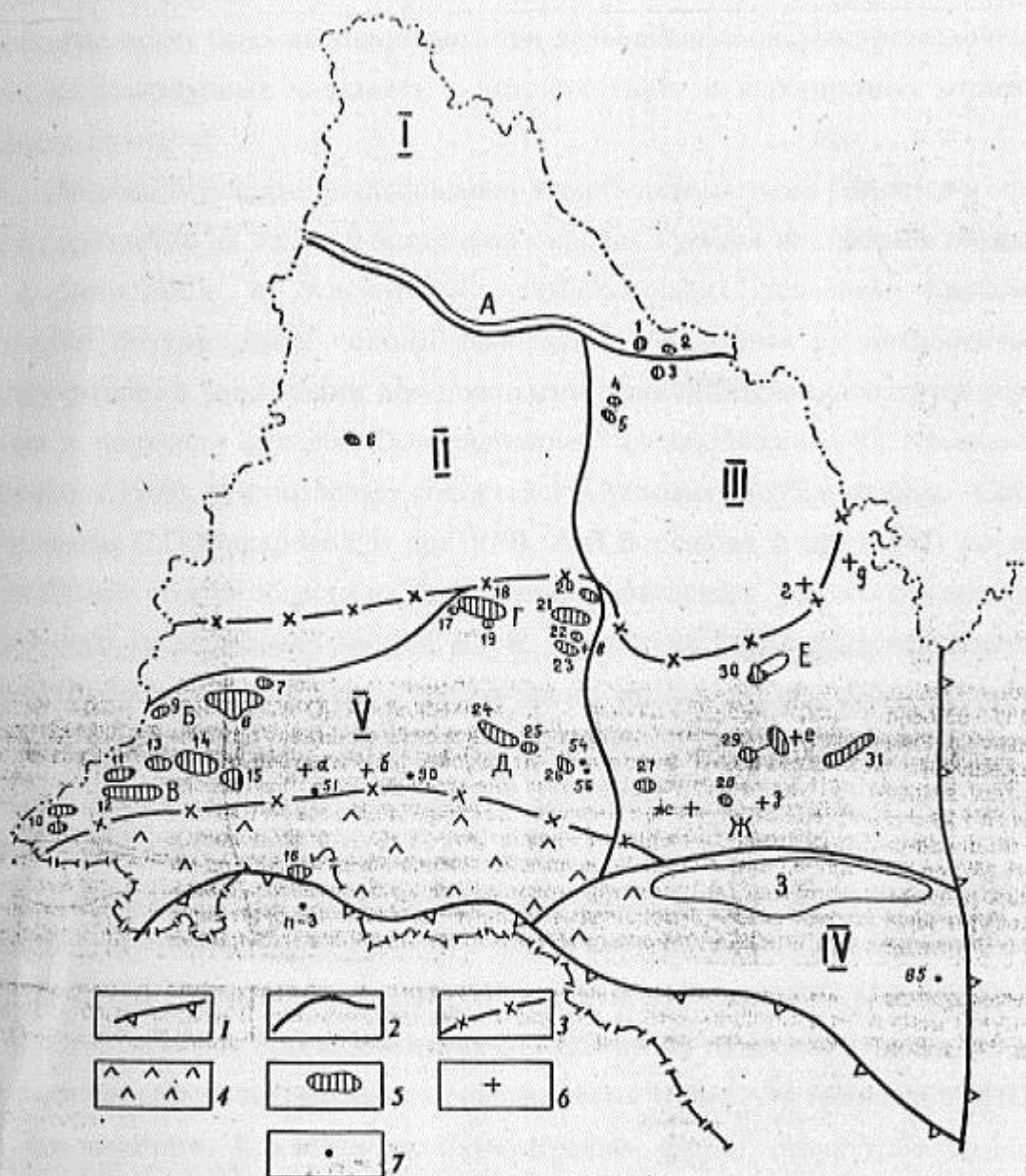


Рис. 1. Обзорная схема Оренбургской области: (Фомчина, 1996)

1 — граница Приакастанской синеклизы и Предуральского краевого прогиба; 2 — границы тектонических элементов (I — южный склон Татарского синклинала, II — Оренбургский синклиналь, III — Восточно-Оренбургское валообразное поднятие, IV — Соль-Илецкий синклиналь, V — Бузулукская впадина); 3 — граница мелководной зоны шельфа северного борта Рубежинско-Уральского прогиба; 4 — глубоководная зона шельфа Рубежинско-Уральского прогиба; 5 — месторождения и залежи углеводородов, выявленные в эйфельских отложениях (1 — Пономаревское, 2 — Отрадненское, 3 — Григорьевское, 4 — Фокинское, 5 — Дубовское, 6 — Твердиловское, 7 — Западно-Шнейцарское, 8 — Гаршинское, 9 — Сахарное, 10 — Вишневое, 11 — Зоринское, 12 — Зайкинское, 13 — Конинское, 14 — Росташинское, 15 — Давыдовское, 16 — Чинаревское, 17 — Пойменное, 18 — Ольховское, 19 — Нечавское, 20 — Красное, 21 — Смолинское, 22 — Боголюбовское, 23 — Кодяковское, 24 — Загорское, 25 — Лебяжинское, 26 — Западно-Землянское, 27 — Капитоновское, 28 — Донецкое, 29 — Дачно-Репинское, 30 — Колышское, 31 — Ольшанское); 6 — площади поисково-разведочного бурения (а — Лицинская, б — Царевская, в — Балеихинская, г — Гавриловская, д — Успенская, е — Зубаревская, ж — Лычкаревская, з — Шуталовская); 7 — скважины; структурные зоны и валы: А — Большекапельский, Б — Гаринско-Ефимовская, В — Забокинско-Давыдовская, Г — Ольховская, Д — Сидоровско-Землянская, Е — Колтанская, Ж — Донецко-Сыртовская, З — Оренбургский

ные свойства и на основе этого выделение критериев нефтегазоносности бийско-афонинских карбонатов. Литолого-фациальные карты и разрезы отображают закономерности распределения фаций и историю их формирования. Полученные результаты могут быть использованы при дальнейших поисково-разведочных работах на исследуемых площадях и поисках нефти в карбонатных отложениях сходного генезиса.

Предшествующими исследованиями карбонатных толщ бийского и афонинского горизонтов на Урале и восточной окраине Русской платформы определено их формирование в относительно глубоководных условиях. Карбонатно-глинистые битуминозные породы афонинского горизонта по литологическому облику сходны с известными доманиковыми фациями франского яруса верхнего девона и получили название "инфрадоманик" (Марковский, 1946; Крылова, 1950, Чибикова, 1969), что позволяет сопоставлять условия их образования. Согласно материалам С.П.Макаровой и др.(1979), А.Л.Ворожбит и др. (1983) по южной части Оренбургской области на протяжении койвенского, бийского и афонинского времени существовало мелкое море, в котором формировались коралловостроматопоровые постройки, с северо-запада на юго-восток наблюдается смена мелководных карбонатно-терригенных отложений относительно глубоководными карбонатными, в зонах, приуроченных к палеопрогибам накапливались глинисто-алевритовые известковые илы.

Литолого-стратиграфические и фациально-палеогеографические исследования на территории Оренбургской области систематически проводились сотрудниками ВНИГНИ и ЮУО ВНИГНИ под руководством С.П.Макаровой (1975-1988). Стратиграфия среднедевонских отложений на отдельных площадях в течение ряда лет (1988-1995) изучалась сотрудниками Института геологии УФНЦ РАН под руководством В.А.Маслова. Стратиграфия, фации, структурно-фациальные взаимоотношения и история формирования девонских отложений Оренбуржья отражены в работах С.П.Макаровой, Н.Н.Яхимовича, В.Ф.Балдина, Г.В.Фоминой, А.Г.Соколова и др.

В данной работе рассматриваются фации и обстановки осадконакопления бийско-афонинского времени на Давыдовской и Ливкинской площадях юго-западной части Оренбургской области. Детальные литофациальные исследования в масштабе 1:50000 на этих участках проводятся впервые. Ранее проводимые палеогеографические реконструкции (Макарова и др., 1986, 1988 г.г.) были выполнены в масштабе 1:200000 и касались только части скважин Давыдовской площади.

Основным геологическим материалом для исследования послужили разрезы глубоких скважин Ливкинской и Давыдовской площадей. Образцы пород, собранные при описании керна скважин (с интервалом опробования 20-25 см), были изучены макро- и микроскопически для характеристики их вещественного состава, определения органических остатков, структурных и текстурных особенностей пород, степени интенсивности постседиментационных преобразований и строения пустотного пространства.

При микроскопическом описании шлифов применялась классификация карбонатных пород Р.Данхема (Dunham, 1962), как наиболее употребимая геологами-нефтяниками в мировой практике. Выделение микрофаций проведено в соответствии с методическими рекомендациями Дж. Л. Уилсона (J. L. Wilson, 1986). Описано около 470 шлифов, 50 образцов грунтов и свыше 1000 образцов керна. Для диагностики карбонатных минералов применялись методы микрохимического анализа под микроскопом и бинокуляром. При построении литофациальных карт, схем и профилей широко использовались данные промысловой геофизики - структурные карты по отражающему горизонту Даф, диаграммы радиоактивного каротажа (ГК и НГК), определения коллекторских параметров пород.

Комплекс исследований включал построение седиментационной модели на заключительном этапе и определение критериев прогнозирования перспективных участков.

Автор благодарит сотрудников Оренбургского УБР В.В. Овчинникова, В.А. Шаломеенко, Л.И. Постоенко и сотрудника Института "Гипровостокнефть" (г.Самара) Б.Ф. Борисова за оказанную большую помощь и предоставление материалов для исследования. В процессе работы автор пользовался консультациями А.Н. Абрамовой, Е.В. Чибриковой, Е.И. Кулагиной, В.Н.Барышева (Институт геологии УфНЦ РАН), А.М.Тюрихина, В.В. Архиповой (БашНИПИнефть), которым, пользуясь случаем, выражает свою искреннюю благодарность.

Часть 1. Описание метода исследований.

При проведении литофацальных исследований основной задачей является выделение генетических типов пород (Фролов, 1984). Вопросам методики генетического анализа карбонатных пород посвящена обширная литература (Хворова, 1958; Раузер-Черноусова, 1958; Королюк, 1985; Уилсон, 1980; Flugel, 1982; Селин, 1984; Scholle, 1987; Carbonate depositional..., 1991.). Наиболее подробно методика анализа карбонатных фаций в нефтеносных районах была приведена в работах Н.К.Фортунатовой (Фортунатова, 1985; Ильин, Фортунатова, 1988) и успешно применена при изучении нефтеносных горизонтов Сибирской платформы (Чернова и др., 1991). Рекомендации приведенных авторов были нами использованы при проведении литофацальных исследований по Оренбургской области.

В соответствии с данными Дж.Л.Уилсона(1980) и детальными исследованиями Н.К. Фортунатовой (1985,1988) в составе карбонатного шельфа выделяется несколько зон (в направлении от бассейна к материку): зона глубоко погруженной окраины шельфа или внешний шельф (глубина 50-200м), зона органогенных построек на границе внешнего и внутреннего шельфа (глубина около 30-100м), зона внутреннего или мелководного шельфа (глубины от 10-15 до 20-30 м), включающая отложения подвижных вод; пески мелководья, отмели, намывные острова, и отложения спокойных вод в лагунах или впадинах мелководного шельфа. Н.К. Фортунатова (1985) выделяет обстановку интенсивно погружающегося шельфа с расчлененным рельефом, для которого характерно формирование барьерных рифовых систем, и обстановку полого наклоненного слабо расчлененного шельфа, для которого характерны небольшие постройки по внутреннему и внешнему краю. Последний случай близок к ситуации в койвенско-эйфельский этап трансгрессии на юго-востоке Русской платформы.

Отложения глубокого шельфа обычно представлены глинисто-карбонатными породами и тонко-мелкобиокластическими микритовыми известняками с типичной фауной кремневых губок, тентакулит. В них часто встречаются кремниевые конкреции, фосфориты. Органогенные постройки глубоководного шельфа представлены коралловыми биогермами высотой несколько метров. Они залегают среди биокластических (шламовых) известняков глубоководного шельфа в виде одиночных построек. Межрифовые или межбиогермные отложения (отложения межрифовых каналов) представляют собой слоистые породы, накопившиеся в промежутках между рифовыми массивами, они могут содержать ри-

фогенную кластику и небольшие биогермы и также , как и карбонаты глубокого шельфа, характеризуются преобладанием тонкобиокластовых осадков (вакстоунов и мадстоунов) повышенной мощности, в них развито вторичное окремнение, иногда доломитизация. Отложения рифовых шлейфов представляют собой продукты разрушения биогермных построек в период их роста штормовыми волнами, для них характерна гравийно-галечная или песчаная размерность обломков, смешение биокластики, неокатанность, несортированность. Отложения склонов подводных поднятий представлены обломочными либо- и биокластовыми известняками несортированными или градационно-слоистыми. Для верхней части континентального склона характерны грубообломочные отложения каньонов и конусов выноса кластики .

Отложения зоны мелководного шельфа - это образования мелководных шельфовых равнин, отложения подвижных вод (баров или отмелей) и отложения спокойных или застойных вод(впадин и лагун). Отложения мелководных шельфовых равнин представлены полидетритовыми неслоистыми, комковато-сгустковыми известняками (вактоунами) и биоморфными известняками (ракушечниками), слагающими пласти и линзы мощностью несколько метров. Для отложений баров характерны мелкообломочные и оолитовые структуры, хорошая сортировка, окатанность, отсутствие пелитовой примеси, отсутствие первичного цемента, наличие волнистой и пологой мелкой и тонкой косой слойчатости, следов размывов. В случае открытого шельфа известняки содержат песчаную примесь кварца. Криноидно-полидетритовые гранистоуны и пакстоуны - типичные отложения подвижных вод мелководного шельфа. Отложения спокойных вод представлены микритовыми комковато-сгустковыми вактоунами и мадстоунами с угнетенной фауной остракод, гастропод, следами ползания илоедов, характерно развитие диагенетического доломита по цементу.

Последовательность работ при литофациальном анализе бийско-афонинских карбонатов юго-запада Оренбуржья была следующей:

- макроописание образцов керна;
- микроописание шлифов ;
- выделение литофациальных типов пород;
- построение литологических колонок;
- анализ каротажных диаграмм и увязка данных каротажа и литологических описаний;
- построение литофациальных профилей вкрест и по простиранию отложений;

- построение схем сопоставления разрезов;
- построение схематических палеогеографических карт для бийского и афонинского времени;
- построение седиментационной модели.

Макроописание карбонатных пород в образцах произведено в соответствии с классификацией Г.И.Теодоровича (1950).

При микроописании шлифов карбонатов использовалась терминология по Д. Данхему (Dunham, 1962). Согласно этой классификации известняки, содержащие либо- и биокластику в зависимости от количества обломков и цемента делятся на мадстоуны, с содержанием кластики < 10%, вакстоуны, содержащие от 10 до 50% биокластов, при этом фрагменты не соприкасаются (рис.1.1), пакстоуны, с содержанием обломков >50%, обломки соприкасаются (рис. 1.2.), грейнстоуны или карбонатные пески, в которых цемента мало или он отсутствует (рис.1.3). Цемент или основная масса (матрикс) в обломочных (или детритовых) карбонатах представлены микритом - тонкозернистым карбонатным илом или спаритом - кристаллическим кальцитом или доломитом. Вакстоуны и мадстоуны накапливаются в условиях слабой гидродинамической активности - в зонах прогибов глубоководного и мелководного шельфа, лагунах и впадинах. Пакстоуны и грейнстоуны отлагаются подвижными водами в каналах, барах, отмелях . Для биогермных известняков, сложенных колониями организмов-рифообразователей, приняты названия: баундстоун, баффлстоун, фреймстоун в зависимости от типа рифообразователя - каркасного, ветвящегося или послойного, если устанавливается прижизненое положение организма. В большинстве случаев крупные фрагменты рифостроителей оказываются переотложенными, хотя отмечается, что, как правило, переотложение и захоронение рифостроителей происходит вблизи зоны роста (Кленина и др., 1996). Для известняков, сложенных обломками рифостроителей, принято название рудстоун (обломки соприкасаются) или флаутстоун (не соприкасаются, "плавают" в матриксе). Этот тип пород распространен у подножия склонов биогермов. В таблице 1 приведено сравнение различных терминологических классификаций карбонатов.

Следующий этап - анализ каротажных диаграмм и увязка литологических описаний керна с данными по каротажу. Надо сказать, что применение каротажных диаграмм для расшифровки литологии карбонатных пород имеет больше трудностей , чем для терригенных пород-песчаников и аргиллитов, границы которых четко отбиваются . В карбонатных отложениях по каротажным диаграммам



Рис.1.1. Вакстоун микритовый, бийский горизонт, Давыдовская площадь. Обр.11/6, скв.11, глубина 4581-4586м. Шлиф, ув. 90, без анализатора. В центре - фрагмент тонкостенной раковины остракоды.

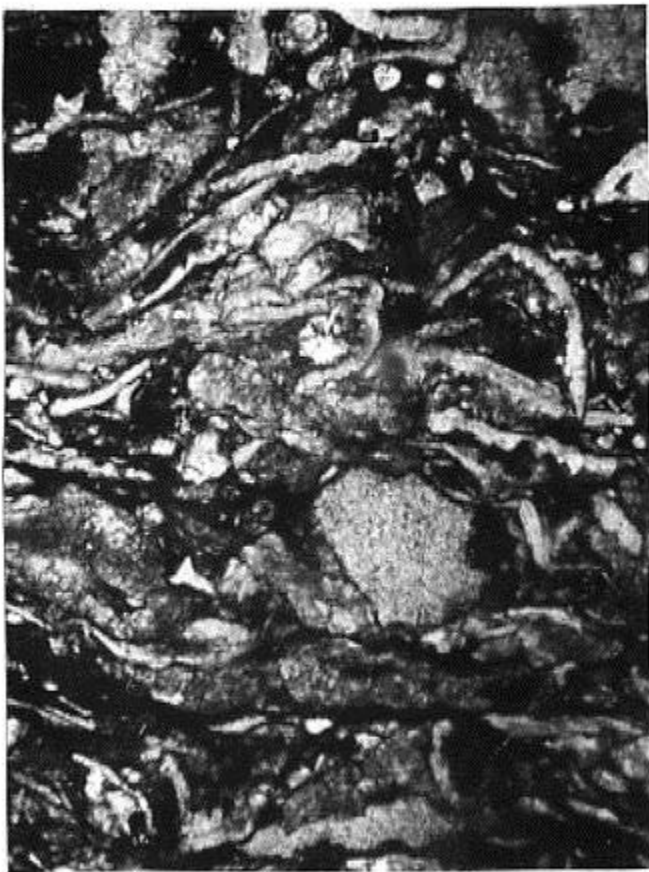


Рис.1.2. Пакстоун биокластовый тонкослоистый, отложение течений.
Бийский горизонт, Давыдовская площадь. Обр. 9/17, скв.9, глубина 4745-
4751м. Шлиф, без анализатора, ув.90.

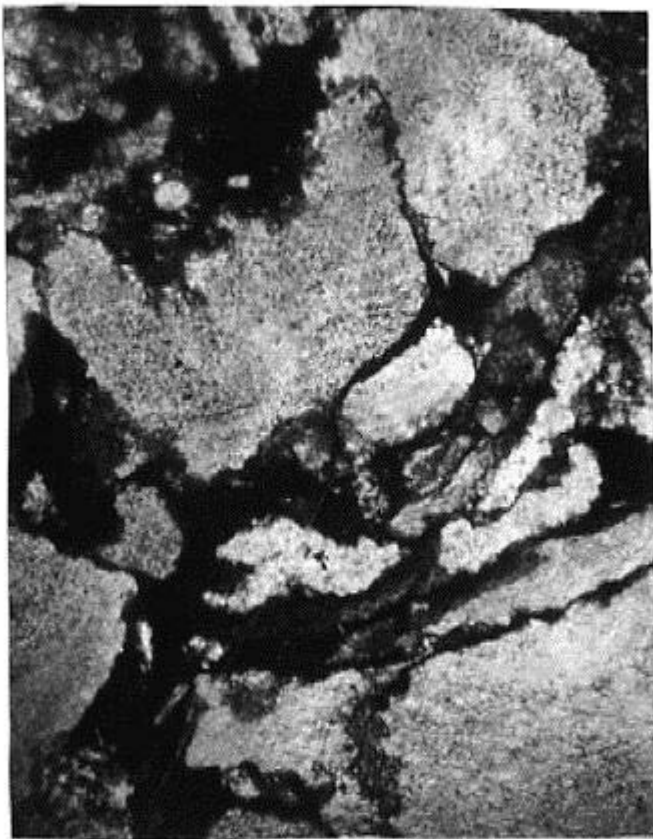


Рис.1.3. Грейнстоун криноидный, градационо-слоистый, отложение течений. Бийский горизонт, Ливкинская площадь. Обр. 38/3, скв.38, глубина 4960-4965м. Шлиф, без анализатора, ув.90.

Таблица 1. Сравнение классификаций карбонатных пород.

Теодорович, 1950	Королюк, 1985	Dunham, 1962	Folk, 1962	Фациальная зона (Wilson, 1986)
Пелитоморфный хемогенный известняк	Биохемогенный сгустково-комковатый известняк	Мадстоун (менее 10% обломков)	Кальциллютит	Спокойная гидродинамика: бассейн лагуна приливно-отливная зона
Кристаллический известняк	Зернистый известняк	Кристаллический карбонат	Спарит	
Органогенный известняк	Биогермный известняк : каркасный корковый биоморфный	Баундстоун фреймстоун баффлстоун байндстоун		Риф
Органогенно-обломочный известняк	Детритовый известняк Карбонатный песчаник	Вакстоун (обломки не соприкасаются) Пакстоун (обломки соприкасаются) Грейнстоун (без цемента)	Биомикрит Калькаренит	Шельф со спокойной гидродинамикой Шельф с подвижной гидродинамикой (отмель, пляж или канал)
Обломочный известняк	Брекчия Конгломерат Гравелит	Рудстоун Флаутстоун	Кальцирудит	Склон или подножие рифа и поднятия

обычно выделяются известняки плотные, глинистые и известняки или доломиты кавернозно-пористые. При наличии образцов керна с определенных интервалов можно определить зону или прослой биогермных пористых известняков среди более плотных. Для бийско-афонинских карбонатных отложений Ливкинской и Давыдовской площадей характерно частое чередование плотных и проницаемых прослоев при наличии отдельных слоев проницаемых пород, соответствующих положению пластов Д6 бийского и Д5 афонинского горизонтов, которые представлены биогермными кораллово-строматопоровыми известняками, в значительной степени доломитизированными.

Сравнение каротажных диаграмм соседних скважин было использовано для определения положения границ лиофаций. При сходстве диаграмм можно говорить о сходстве распределения литотипов пород и принадлежности одной фациальной зоне.

Далее проводилось изучение диагенетических преобразований пород, их приуроченности к определенным лиофациям и влияние на рисунок каротажной кривой. Установлено, что доломитизация и перекристаллизация известняков увеличивают их^{пористость} проницаемость, окремнение известняков уменьшает их пористость^{и проницаемость}.

Анализ всей полученной информации, характера распределения выделенных типов пород по разрезу и площади послужил основой для построения схематических карт, профилей и моделей.

Часть 2. Литофациальная характеристика бийско-афонинских карбонатов по керну скважин Давыдовской и Ливкинской площадей.

При литофациальной характеристике карбонатных пород учитывалось следующее: текстура, количество, размер и состав обломков, состав фауны, характер вторичных преобразований. Подробное описание каждого образца дано в приложении. При микроскопическом описании шлифов были выделены основные литофациальные типы пород: мелководной зоне шельфа соответствуют криноидные грейнстоуны и вакстоуны с фауной остракод, гастропод, обломками раковин брахиопод, не содержащие остатков рифостроителей. В зоне биогермов распространены коралловые, строматопоровые, амфиборовые и мшанковые известняки, часто в обломочных фациях. Они переслаиваются с тонкослоистыми микритовыми вакстоунами, которые содержат мелкий детрит рифостроителей. В зоне межбиогермных прогибов распространены тонкослоистые вакстоуны, содержащие спикулы губок, раковины кониконхий. Для этих пород характерна градационная слоистость и окремнение. В зоне глубоководной части шельфа распространены окремненные амфиборовые и коралловые известняки, обломочные известняки, тонкослоистые вакстоуны.

В связи с открытием в отложениях эйфельского яруса в Оренбургской области многопластовых месторождений, в составе бийского и афонинского горизонтов выделены несколько пластов-коллекторов: Д6-3, Д6-2, Д6-1 и Д5-3, Д5-2, Д5-1, Д5-0 (Фомина, 1996). Их характеристика и распределение по скважинам также приводится в описании.

2.1. Давыдовская площадь. Описание литофаций по скважинам.

Скважина 8 (рис.2.1.1)

Бийский горизонт, мощность 65м.

Представлен неравномерным переслаиванием криноидных вакстоунов, микритовых, биокластовых, неравномерно перекристаллизованных, и криноидных грейнстоунов зоны мелководного шельфа. Мощность отдельных прослоев от нескольких см до 1-2м. Состав фауны: крионидеи, остракоды, редкие гастроподы, обломки раковин брахиопод. Пласти- коллекторы не выделены.



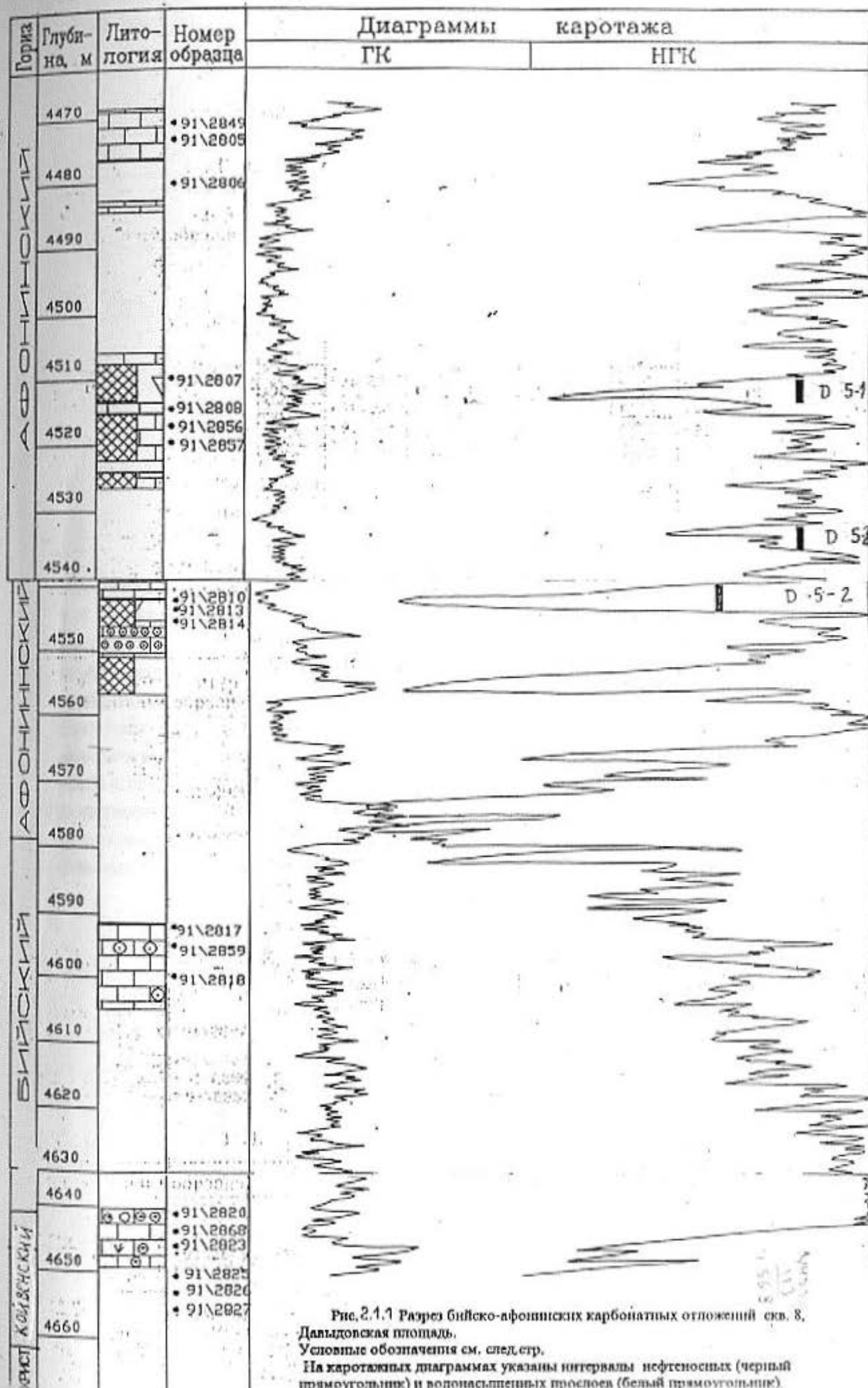
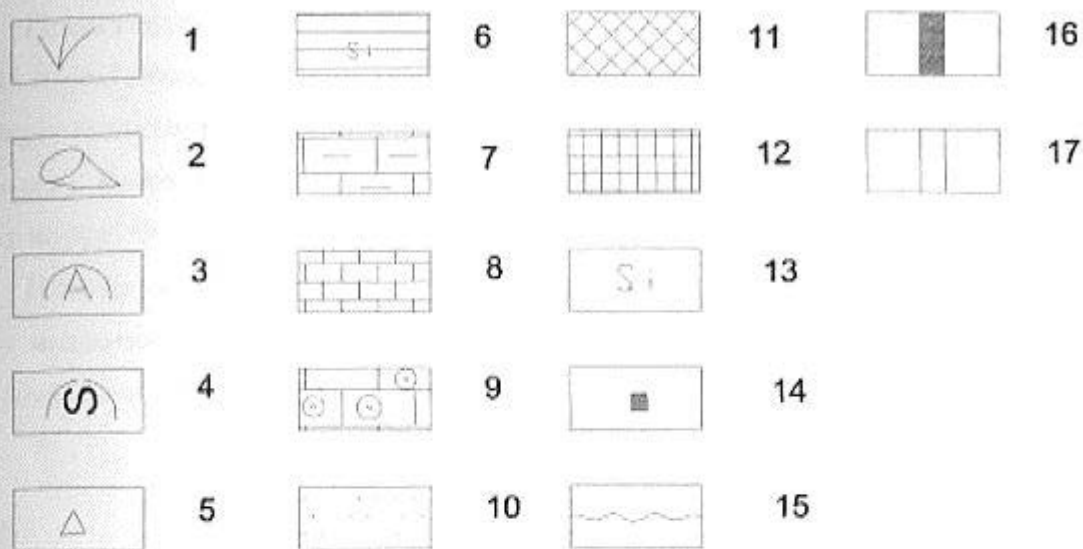


Рис. 2.1.1 Разрез бийско-афонинских карбонатных отложений скв. 8, Давыдовская площадь.

Условные обозначения см. след. стр.

На каротажных диаграммах указаны интервалы нефтеносных (черный прямоугольник) и водонасыщенных прослоев (белый прямоугольник).



Условные обозначения к рис. 2.1.1.

1-5 -биогермные известняки: 1- мшанковые, 2- коралловые, 3- амфипоровые, 4- строматопоровые, 5- обломочные ; 6,7- фации глубоководного шельфа и межбиогермных прогибов: 6- кремнисто-глинисто-карбонатные мадстоуны, 7- тонкослоистые биокластовые вакстоуны, 8-10- фации мелководного шельфа: 8- микритовые вакстоуны (отложения малоподвижных вод), 9- криноидные грейнстоуны (отложения подвижных вод), 10- кварцевые песчаники, 11-15- постседиментационные преобразования: 11- доломитизация, 12- перекристаллизация, 13- окремнение, 14- пиритизация, 15- поверхности размыва (твёрдое дно), 16- нефтеносные слои, 17- водоносные слои.

(Здесь и далее в тексте отчета разрезы, колонки, фациональные карты, схемы составлены Е. Н. Горожаниной с использованием материалов ОУБР)

Афонинский горизонт, мощность 113м.

Представлен переслаиванием доломитизированных вакстоунов и обломочных известняков с литокластами размером 0.5-1см. В верхней части горизонта - перекристаллизованные криноидные вакстоуны с бедной фауной (остракоды, криноиды). Вверх по разрезу увеличивается количество прослоев доломитизированных пород. Фациальная зона - мелководный шельф, лагуна.

Пласти -коллекторы Д5-1 и Д5-2 (мощность 4,4 и 4,8м) представлены прослойями мелко-зернистых доломитов и доломитизированных криноидных известняков (вакстоунов).

Скважина 15 (рис.2.1.2).

Бийский горизонт, мощность 69м.

Представлен неритмичным переслаиванием вакстоунов, пакетоунов биокластовых , содержащих обломки амфиопор, кораллов в криноидно-остракодовом вакстоуне - отложения зарифовой и около рифовой зоны.

Афонинский горизонт, мощность 120м.

Представлен слоистыми вакстоунами с фрагментами амфиопор - зона флангов биогермных построек.

Пласти -коллекторы Д5-2 (водонасыщенные), мощностью около 4м, представлены, предположительно, амфиопово-криноидными лито- биокластовыми известняками.

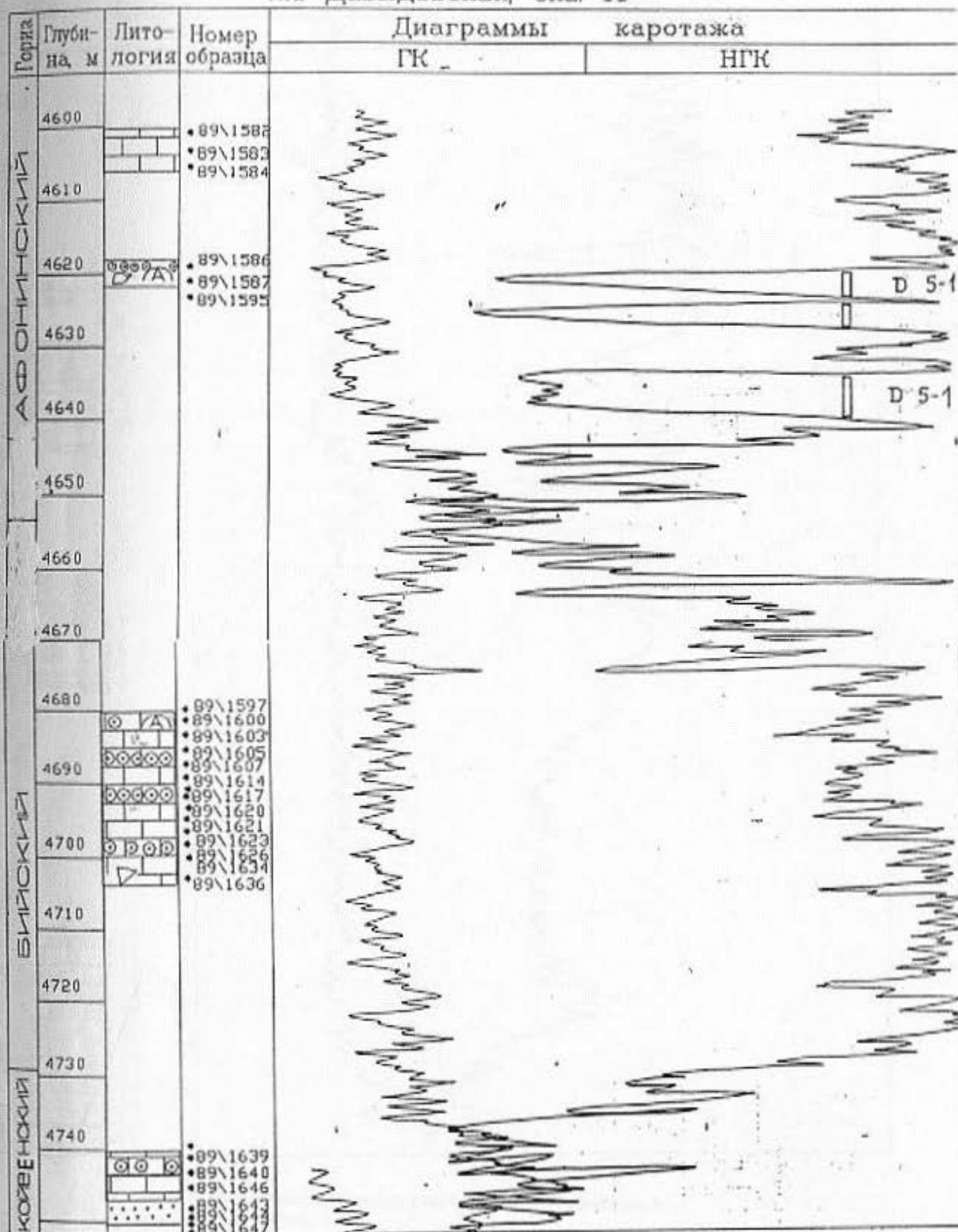
Скважина 9 (рис.2.1.3).

Бийский горизонт, мощность 68м.

Представлен в основании биогермно-детритовыми известняками (пактогрейстоунами) , содержащими фауну мшанок и амфиопор, переслаивающимися с пелитоморфными (микротовыми) вакстоунами с фауной криноидей, остракод, кониконхий - оклобиогермная зона.

Пласт-коллектор Д6-2 (водонасыщенный) сложен крупно-зернистыми пористыми доломитами и доломитизированными вакстоунами.

пл. Давыдовская, скв. 15

Рис. 2.1.2 Разрез білоско-афоніївських карбонатних відкладень скв. 15,
Давыдовская площадь.

Условные обозначения см. рис. 2.1.1

пл. Давыдовская, скв. 9

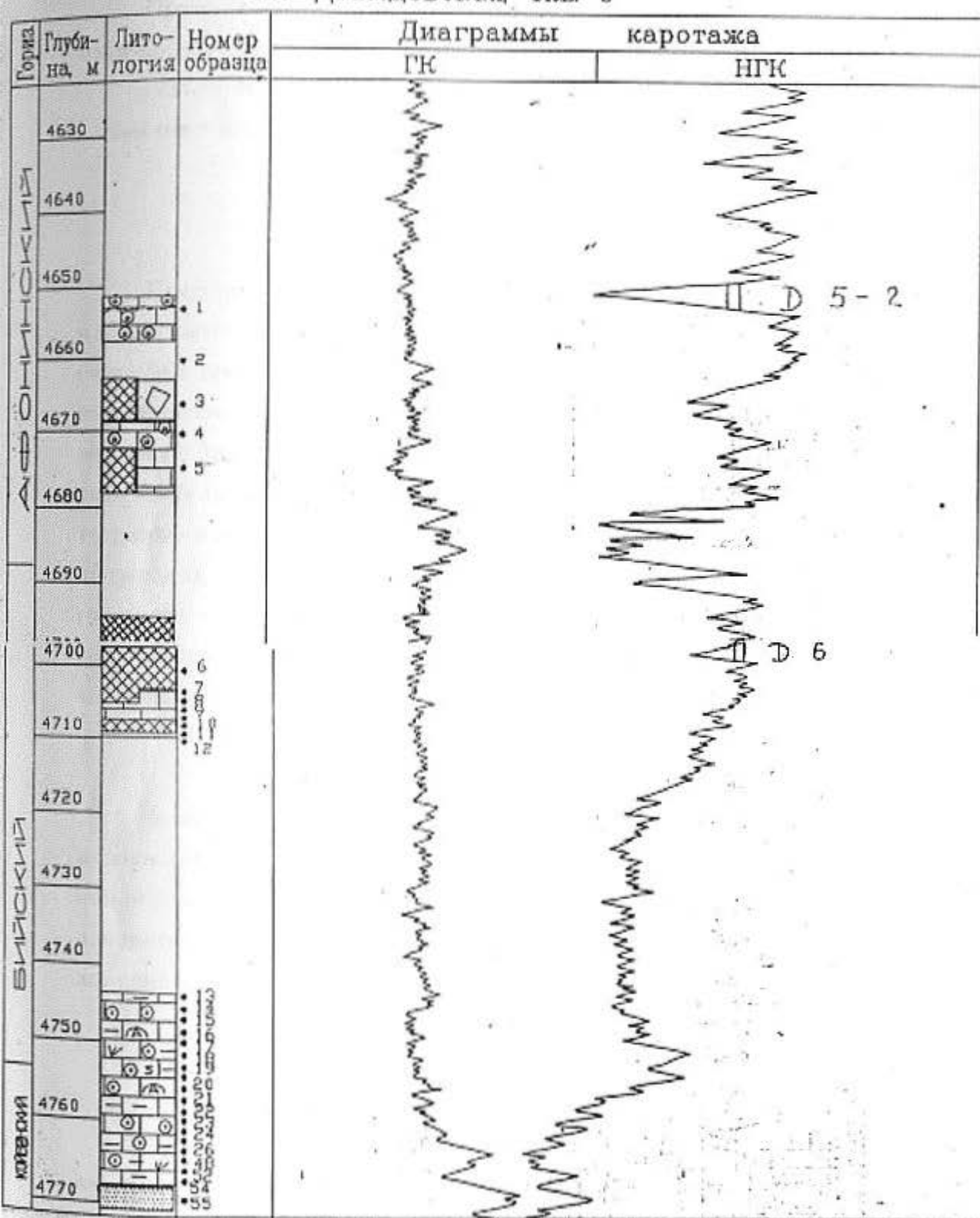


Рис. 2.1.3 Разрез бийско-афонинских карбонатных отложений скв. 9, Давыдовская площадь.

Условные обозначения см. рис. 2.1.1

Афонинский горизонт, мощность 131м.

Представлен слоистыми вак-грейстоунами криноидными, участками доломитизированными - обстановка мелководного шельфа вне зоны биогермов.

Пласт-коллектор Д5-2 (водонасыщенный) мощностью 2,4 м сложен криноидным спаритовым вакстоуном перекристаллизованным.

Скважина 11 (рис.2.1.4).

Бийский горизонт, мощность 63м.

Представлен пересланением доломитизированных криноидных вакстоунов и микритовых биокластовых вакстоунов с фауной мшанок и амфиопор. Мощность отдельных прослоев 0,2-0,3м. В нижней части наблюдается постепенный переход от койвенских к бийским отложениям : койвенские слоистые мелкодетритовые известняки с фауной криноидей, гастропод , содержащие сыпь и вкрапленность пирита вверх по разрезу сменяются мшанковыми вакстоунами с редкими зернами терригенного кварца. В бийском горизонте наблюдается прослой биогермно-детритовых амфиопоровых известняков мощностью около 1-2м. В верхней части горизонта - пересланение известняков и доломитов. Доломиты вторичные - образовались при доломитизации матрикса вакстоунов. Обстановка - мелководный шельф, спокойная гидродинамика.

Афонинский горизонт, мощность 121м.

В нижней части представлен тонко-слоистыми вакстоунами с биокластами мшанок и амфиопор, криноидей и брахиопод. В верхней части, судя по каротажной диаграмме, содержит продуктивный пласт Д5-4, представленный ,вероятно, доломитизированными биогермными известняками мощностью около 5,6м и маломощный пласт Д5-2 (1,2м), вероятно, сложенный доломитами.

Скважина 14 (рис.2.1.5).

Бийский горизонт, мощность 67м.

В нижней части -доломиты залегают на койвенских вакстоунах и переслаиваются с микритовыми криноидными известняками. В средней части - тонкослоистые комковато-сгустковые темные известняки с редкими фрагментами амфиопор - застойные условия прогиба. На границе бийско-афонинских отложений , возможно, присутствует прослой биогермных известняков.

пл. Давыдовская, скв. 11

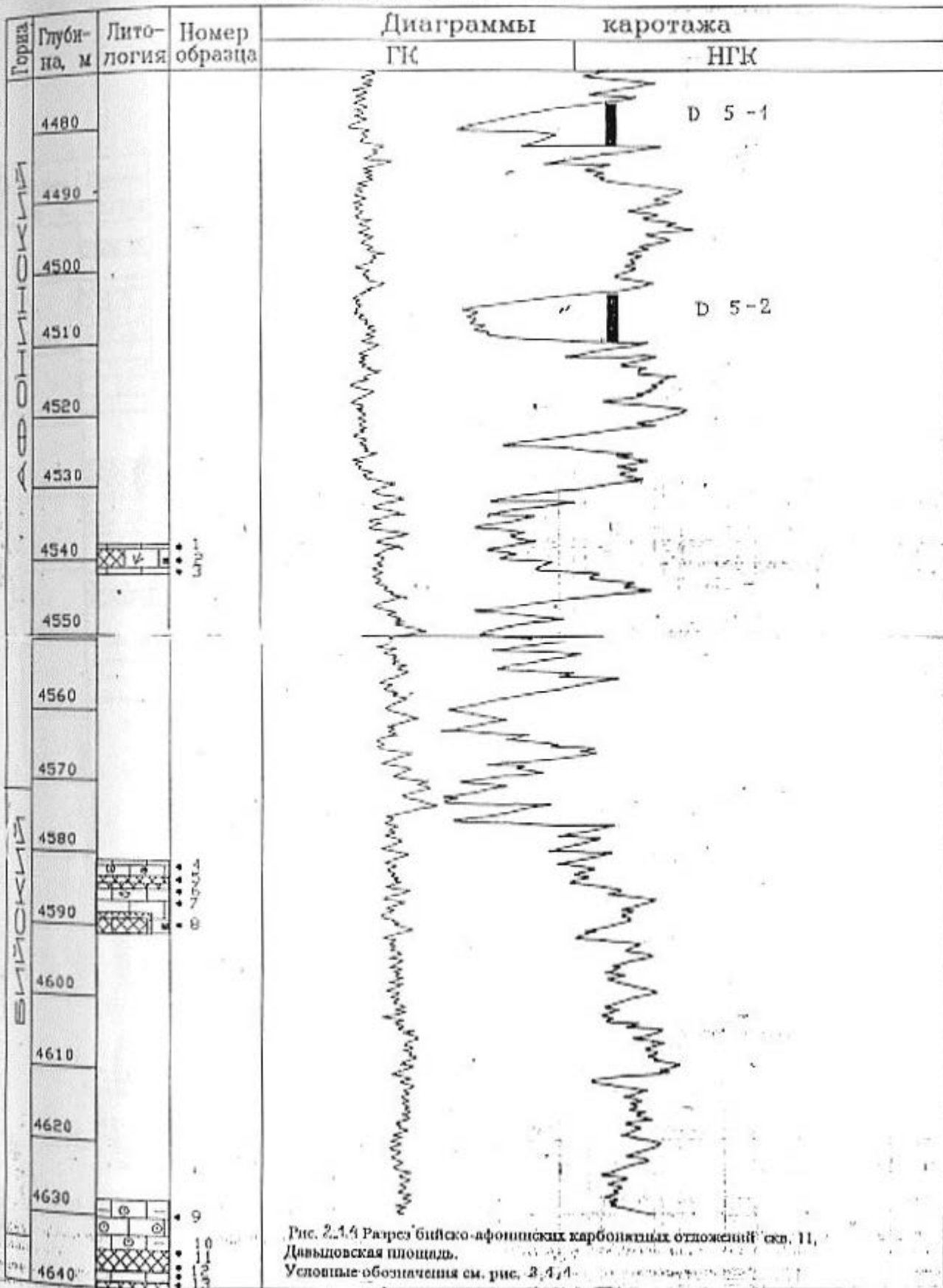


Рис. 2.1.4 Разрез бийско-афонинских карбонатных отложений скв. 11,
Давыдовская площадь.
Условные обозначения см. рис. 2.4.1.

пл. Давыдовская, скв. 14

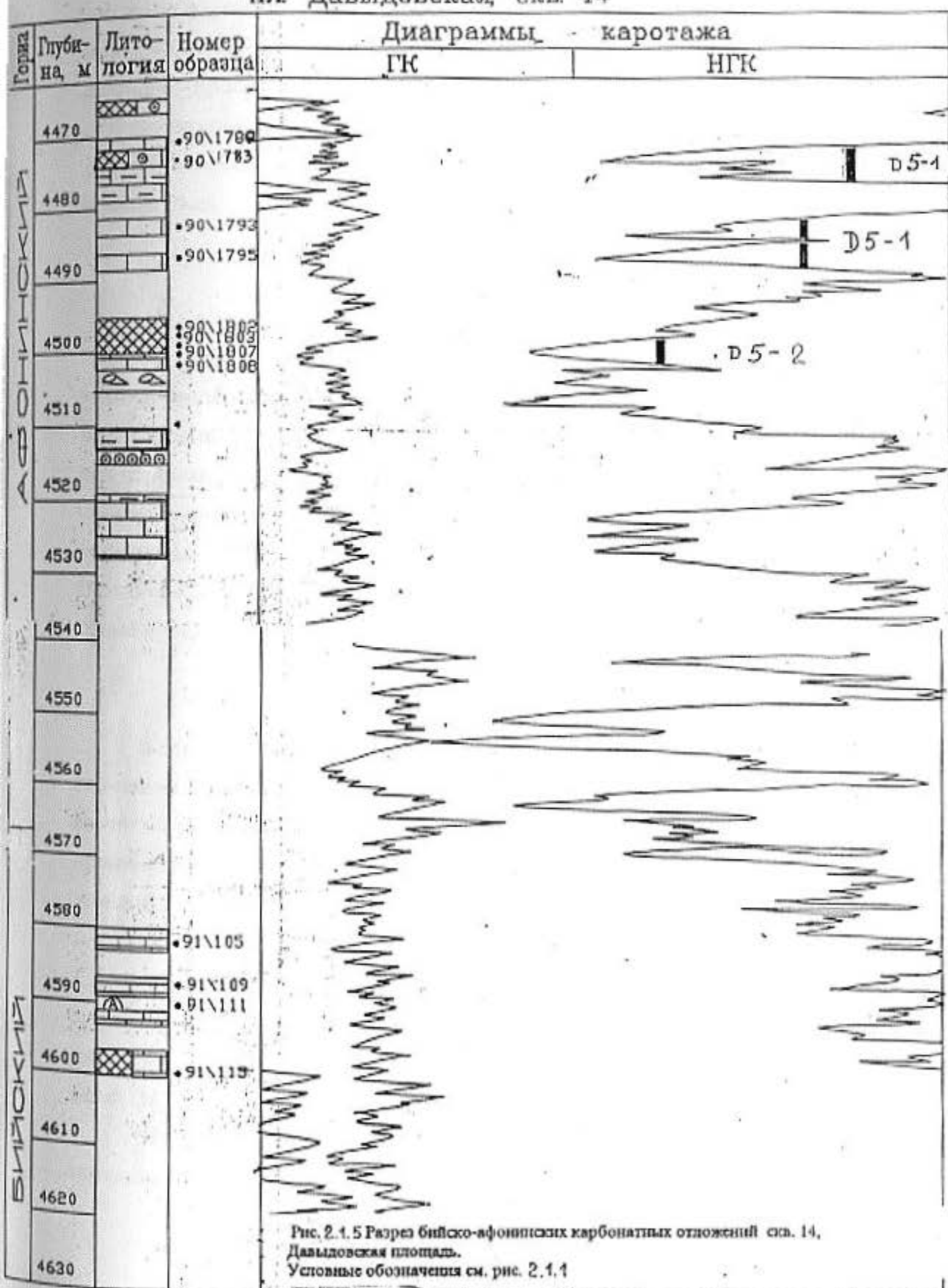


Рис. 2.1.5 Разрез бийско-афонинских карбонатных отложений скв. 14, Давыдовская площадь.
Условные обозначения см. рис. 2.1.1

Пласти- коллекторы не выделены.

Афонинский горизонт, мощность 121м.

Слоистые вакстоуны вверх по разрезу сменяются биогермными известняками с фауной кораллов. В верхней части - четыре нефтеносных прослоя: нижний Д5-2 (мощность 7,6м) - сложен биогермными известняками с кораллами; следующий - прослой перекристаллизованных известняков, не сохранивших первичной структуры, затем -переслаивание доломитов и мадстоунов; верхний прослой Д5-1 (мощность 2,2м)- доломитизированные криноидные пак-вакстоуны мелководной зоны.

Скважина 4 (рис.2.1.6).

Бийский горизонт, мощность 70м.

Увеличение мощности бийского горизонта, возможно, связано с появлением прослоя оолитовых известняков в основании, сформировавшихся в верхней части мшанкового биогерма и послужившего затем основанием для формирования строматопорового биострома (пористый пласт Д6). В целом разрез представлен слоистыми криноидными вакстоунами иногда с элементами градационной сортировки.

В отличие от предыдущих скважин здесь отсутствуют или мало развиты доломитовые прослои. Вероятно, отложения формировались в условиях прогиба.

Афонинский горизонт, мощность 129м.

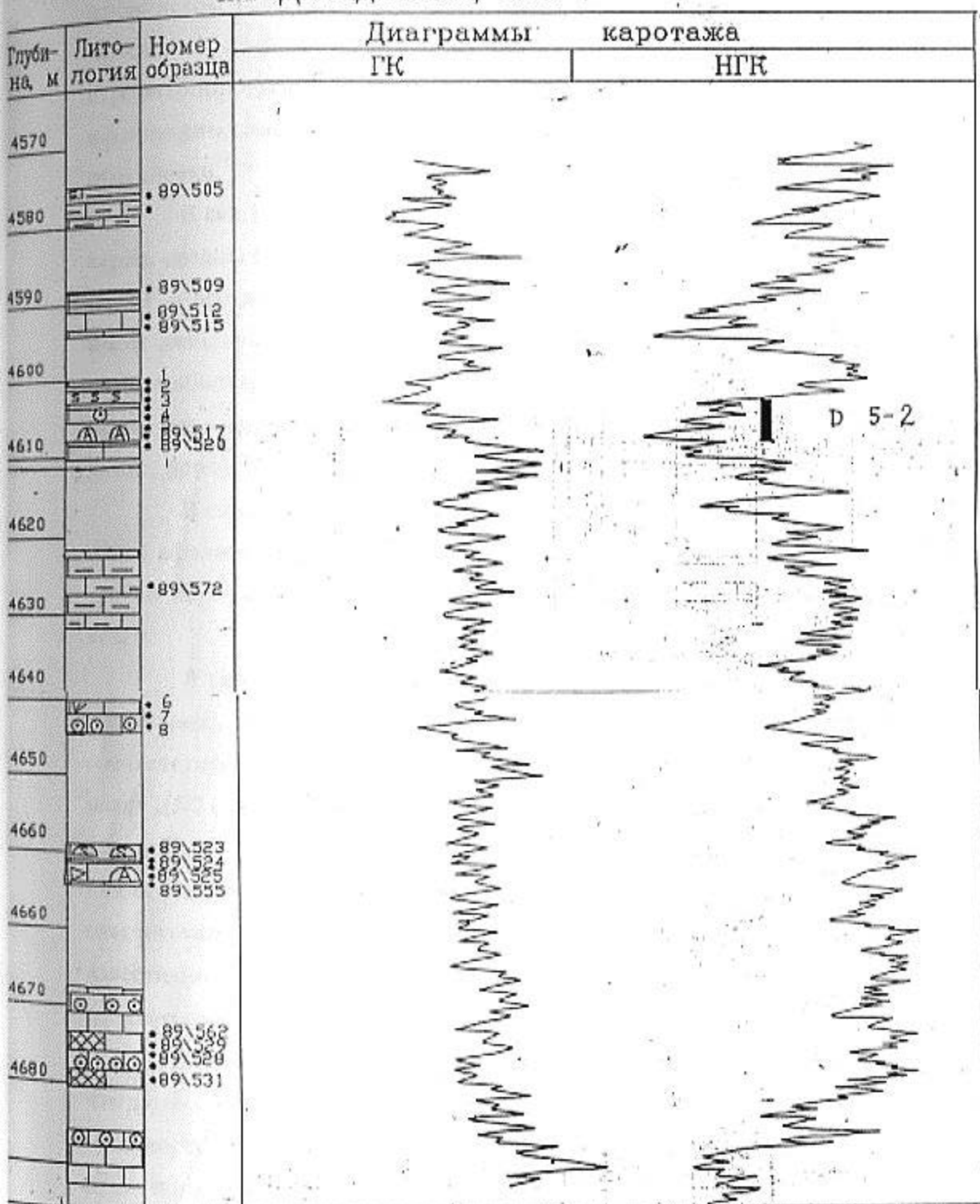
В основании содержит два нефтеносных пласта (Д5-2), представленных биогермными известняками с фауной амфибор и строматопор мощностью около 10м. Выше по разрезу отложения представлены плотными глинисто-карбонатными и кремнисто-карбонатными черными битуминозными сланцами типичного инфра-доманика - фации межбиогермных прогибов.

Скважины 2, 1, 5, 6, 2707, 2712.

Определение фациальной обстановки приводится по макроописаниям образцов керна, сравнению каротажных диаграмм и данным предыдущих исследователей (Макарова с соавт., 1986г.).

В скв.2 в бийском горизонте устанавливаются прослои биогермных строматопорово-амфиборовых известняков (прослой Д6-1 нефтенасыщенный) и кри-

пл. Давыдовская, скв. 4

Рис. 2.1.6 Разрез байско-афонинских карбонатных отложений скв. 4,
Давыдовская площадь.

Условные обозначения см. рис. 2.1.1

ионидно-полидетритовых неравномерно-доломитизированных известняков (прослой Д6-2 водонасыщенный) среди более плотных слоистых известняков. В афонинском горизонте на каротажных диаграммах выделены два нефтеносных прослоя Д5-2 и Д5-1, представленные доломитизированными коралловостроматопоровыми известняками. Отмечается сходство каротажных диаграмм по афонинским слоям для скв.2 и скв.11, что указывает на сходство литофациальной обстановки.

В скв.1 бийские отложения , судя по данным каротажа и макроописанию керна, сходны с отложениями в скв.2 и 5. Каротажные диаграммы по афонинским слоям в верхней части представлены более плотными карбонатами, пласт Д5-1 имеет меньшую мощность(около 2 м) и представлен, вероятно, вторичными реликтово-биогермными доломитами. Пласт Д5-2 , в отличие от скв.2 представлен преимущественно доломитами и доломитизированными биогермными известняками с прослойями тонкослоистых крионидно-полидетритовых известняков .

В скв. 5 судя по каротажным диаграммам, бийские отложения и основание афонинских сходны или аналогичны отложениям в скв.2, выше по разрезу график каротажа соответствует слоистым шельфовым фациям, похожим на разрез скв. 9.

В скв.6 отложения бийского и афонинского горизонтов, представленные слоистыми , иногда окременными известняками, относительно глубоководными, соответствуют зоне прогиба и аналогичны отложениям в скв. 4. Нефтеносный пласт Д5-2 (небольшой мощности - около 1м) афонинского горизонта приурочен к средней части разреза и представлен, вероятно, обломочными биогермными фациями склона или подножия биогерма, располагавшегося на возвышенности, соответствующей положению скв.1. В бийском горизонте прослой более пористых известняков на глубине около 4650м, вероятно соответствует аналогичному прослою строматопоровых известняков, установленных в скв.4.

В скв.2707 рисунок каротажных диаграмм совпадает с данными по скв.2, что позволяет относить их к одной фациальной зоне. Продуктивный пласт Д5-1 (мощность 8,8м) соответствует аналогичному пласту в скв.2 и, вероятно, также представлен биогермными известняками.

В скв. 2712, расположенной рядом со скв.4, продуктивный пласт Д5-2 на каротажной кривой имеет ту же позицию, что и в скв.4, следовательно, он также может быть сложен биогермными амфиборовыми известняками.

пл. Давыдовская, скв. 13

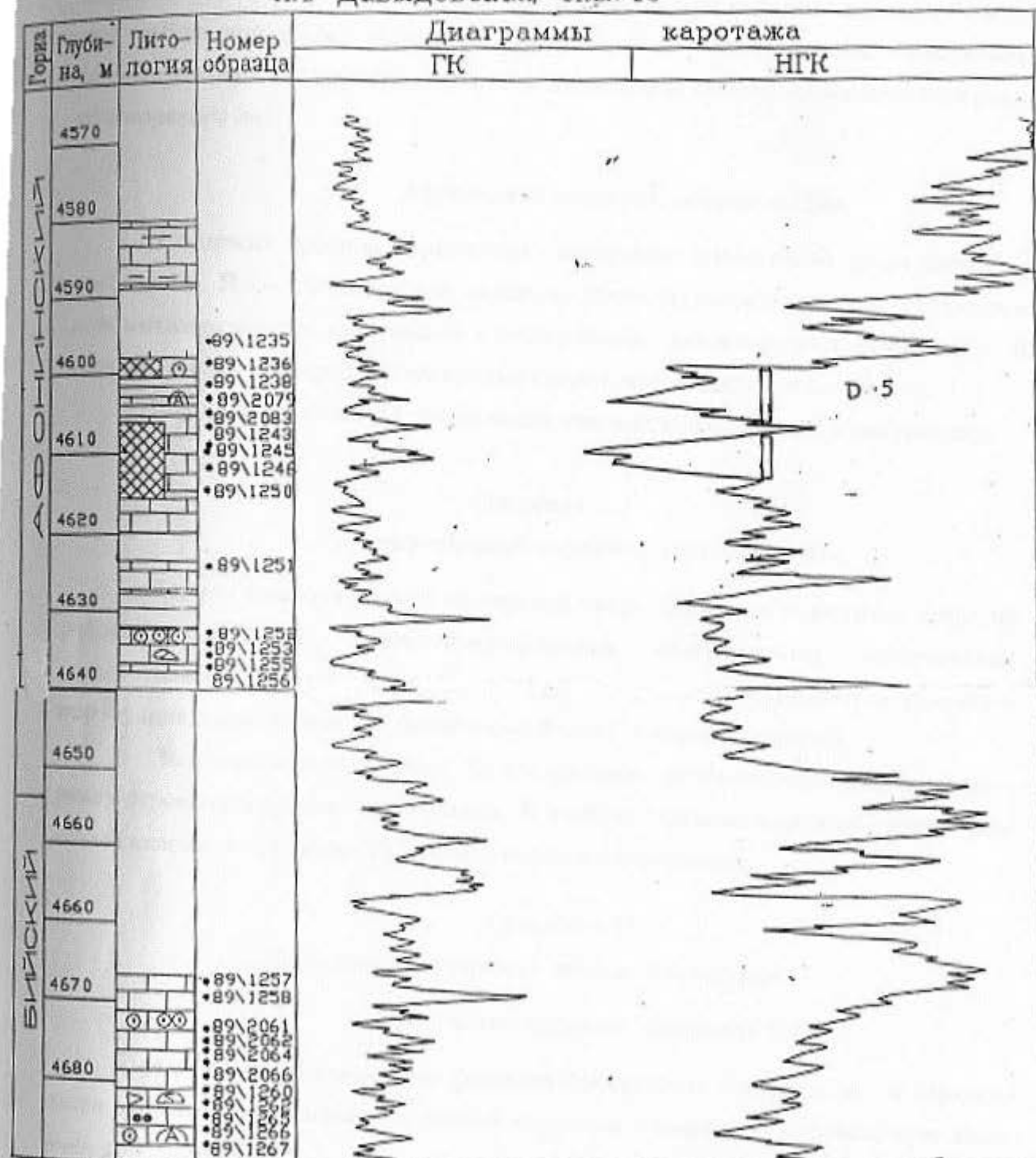


Рис. 2.1.7 Разрез бийско-афонинских карбонатных отложений скв. 13,

Давыдовская площадь.

Условные обозначения см. рис. 2.1.1

Скважина 13 (рис.2.1.7).

Бийский горизонт, мощность 63м.

Бийские отложения аналогичны отложениям разреза скв.4 и представлены переслаиванием вакстоунов и пакетоунов с прослойми строматопоровых биогермов небольшой (1-2м) мощности и обломочных литокластовых известняков, сформировавшихся, вероятно, в зоне подножия или склона возвышенности рельефа морского дна.

Афонинский горизонт, мощность 120м.

Содержит прослои коралловых биогермных известняков среди слоистых вакстоунов. По кораллам развит халцедон. Вверх по разрезу отмечаются прослои доломитизированных известняков и обломочных литокластовых известняков. В верхней части - перекристаллизованные спаритовые известняки без фауны.

Водоносный пласт Д5 представлен доломитизированными известняками.

Скважина 3,

Афонинский горизонт, мощность 130м.

Данные имеются только по верхней части. Слоистые известняки вверх по разрезу сменяются доломитизированными обломочными известняками (рудстоунами), содержащими фрагменты рифостроителей - амфибор и строматопор - фация, характерная для фронтальной зоны и склона биогерма.

Нефтенасыщенный пласт Д5 представлен доломитизированным по матриксу строматопоровым известняком. В ячейках строматопорондай развит блоковый кальцит с крупными (0,3-0,5мм) порами и кавернами.

Скважина 17.

По бийскому горизонту данные отсутствуют.

Афонинский горизонт, мощность 118м.

Представлен обломочными фациями биогермных известняков, в верхней части доломитизированными, с фауной кораллов и амфибор - соответствует зоне рифового шлейфа .

Скважина 16 (рис.2.1.8).

Бийский горизонт, мощность 71м.

пл. Давыдовская скв. 16

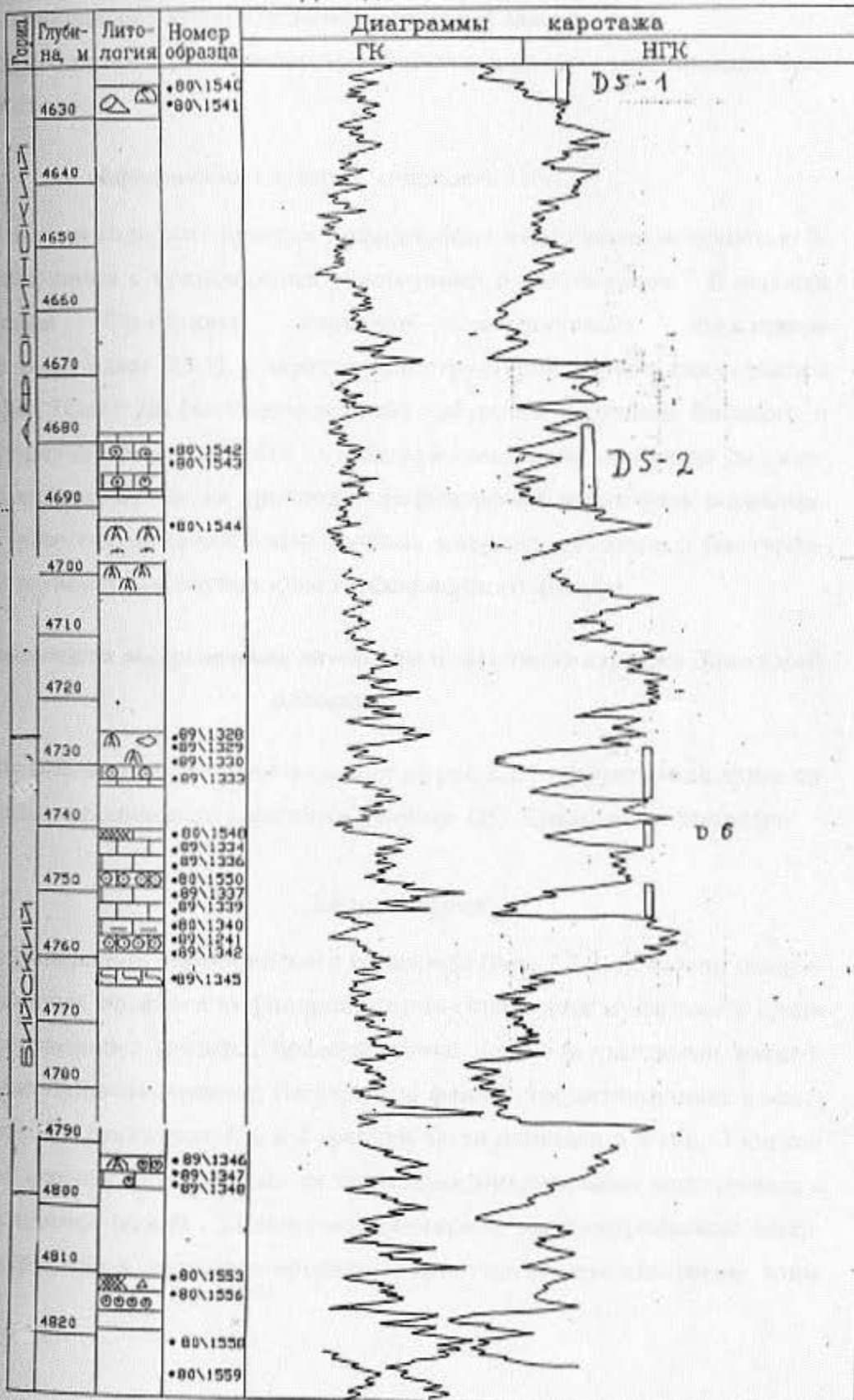


Рис. 2.4.2 Разрез бидико-афонинских карбонатных отложений скв. 16,
Давыдовская площадь.
Установленные обозначения см. табл. 2.1.1

В нижней части развиты криноидные вакстоуны с фрагментами мшанок и амфипор. Вверх по разрезу слоистые вакстоуны, в разной степени доломитизированные по основной массе, иногда содержат переотложенные амфипоры. В верхней части отмечаются прослои кораллово-строматопоровых биогермных известняков, переслаивающиеся с криноидно-амфипоровыми вакстоунами.

К границе бийского и афонинского горизонтов приурочены прослои криноидных пакстоунов.

Афонинский горизонт, мощность 130м.

В основании содержит прослои амфипоровых известняков мощностью 3-5м, переслаивающиеся с криноидными вакстоунами и пакстоунами. В верхней части -прослой биогермных кораллово-строматопоровых известняков (предположительно, пласт Д5-1), с характерной структурой обрастания кораллов строматопорами. Пласт Д6 (водонасыщенный) приурочен к границе бийского и афонинского горизонтов, распадается на несколько маломощных (около 2м) пластов соответствующих прослойям криноидно-амфипоровых пакстоунов и доломитизированных известняков среди более плотных микритовых темных биотурбированных мадстоунов и вакстоунов зоны глубоководного шельфа.

2.2. Особенности распределения литофациальных типов пород на Давыдовской площади.

Положение скважин на площади показано на рис.2.2.1 - структурной карте по кровле карбонатов афонинского горизонта (данные ПО "Куйбышевнефтегеофизика").

Бийское время

На литофациальной карте бийского горизонта (рис. 2.2.2) показано распределение линзовидных прослоев амфипово-строматопоровых известняков среди отложений мелководного шельфа, представленных мелко-детритовыми вакстоунами. В начале бийского времени биогермные фации строматопоровых известняков установлены в скважинах 4, 1 и 2 средней части площади и в скв.13 южной части. Вверх по разрезу они замещаются слоистыми микритовыми вакстоунами с мелкими криноидиями (скв.4). Мшанковые биогермы, распространенные севернее, (скв.8, 9) переходят в доломитизированные криноидные вак-пакстоуны зоны

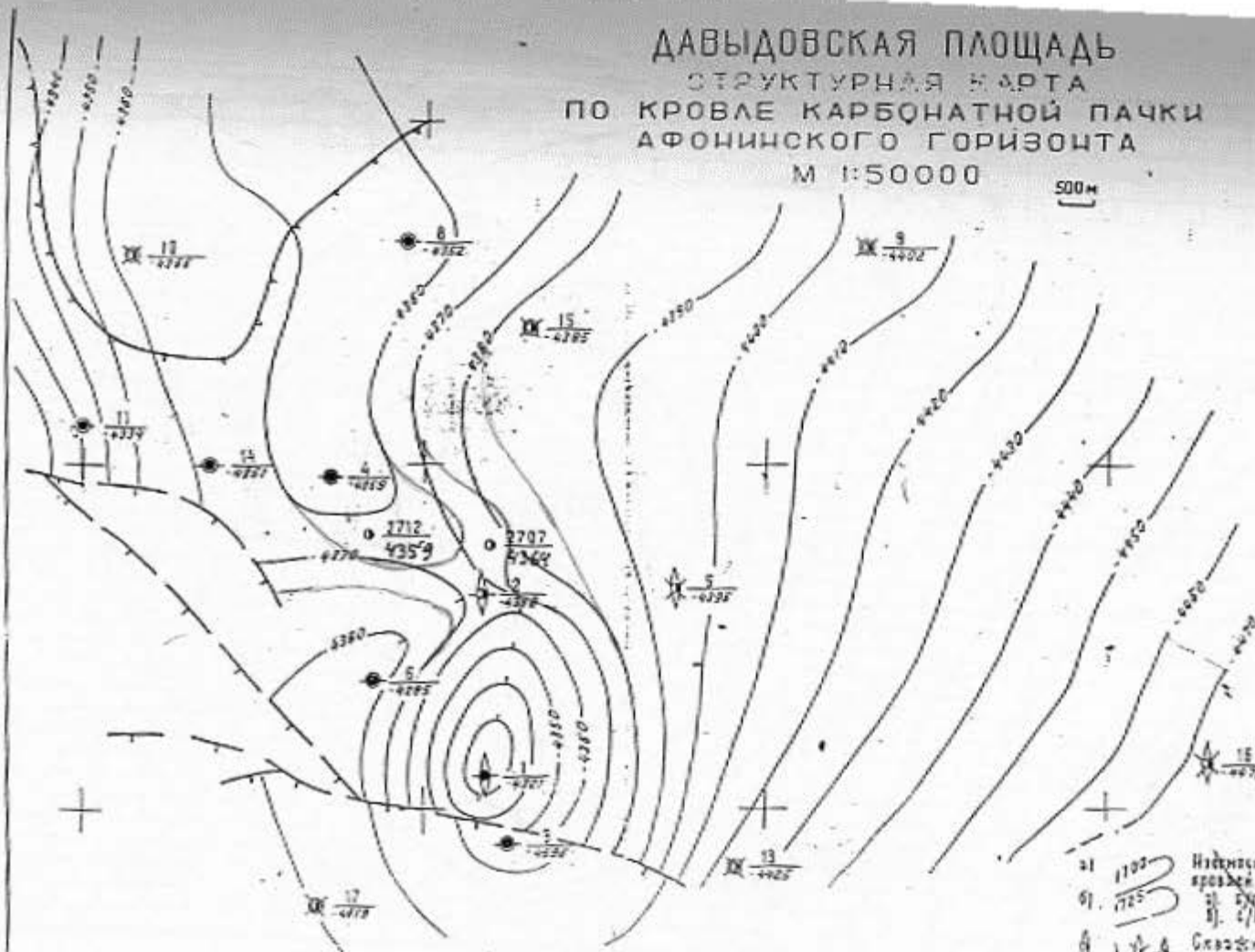
ДАВЫДОВСКАЯ ПЛОЩАДЬ

СТРУКТУРНАЯ КАРТА

ПО КРОВЛЕ КАРБОНАТОВ АФОНИНСКОГО ГОРИЗОНТА

М 1:50000

500м



Условные обозначения

Линии, ограждающие горизонта Давыдовского с кровлей карбонатов афонинского горизонта по данным:

1) ГУО 5/85 № 33 "Куйбышевнефтегеофизика";
2) ГУО 5/85 № 40 "Куйбышевнефтегеофизика".

Скважины, имеющиеся в бурении, залежи, ликвидированные за геологическими, техническими причинами.

Линии скважин
Линии кровли карбонатов афонинского горизонта
Разрывные тектонические нарушения

ис. 2.2.1. Структурная карта по кровле карбонатов афонинского горизонта.
Давыдовская площадь (данные НО "Куйбышев нефтегеофизика").
глубокого бурения (ОУБР)

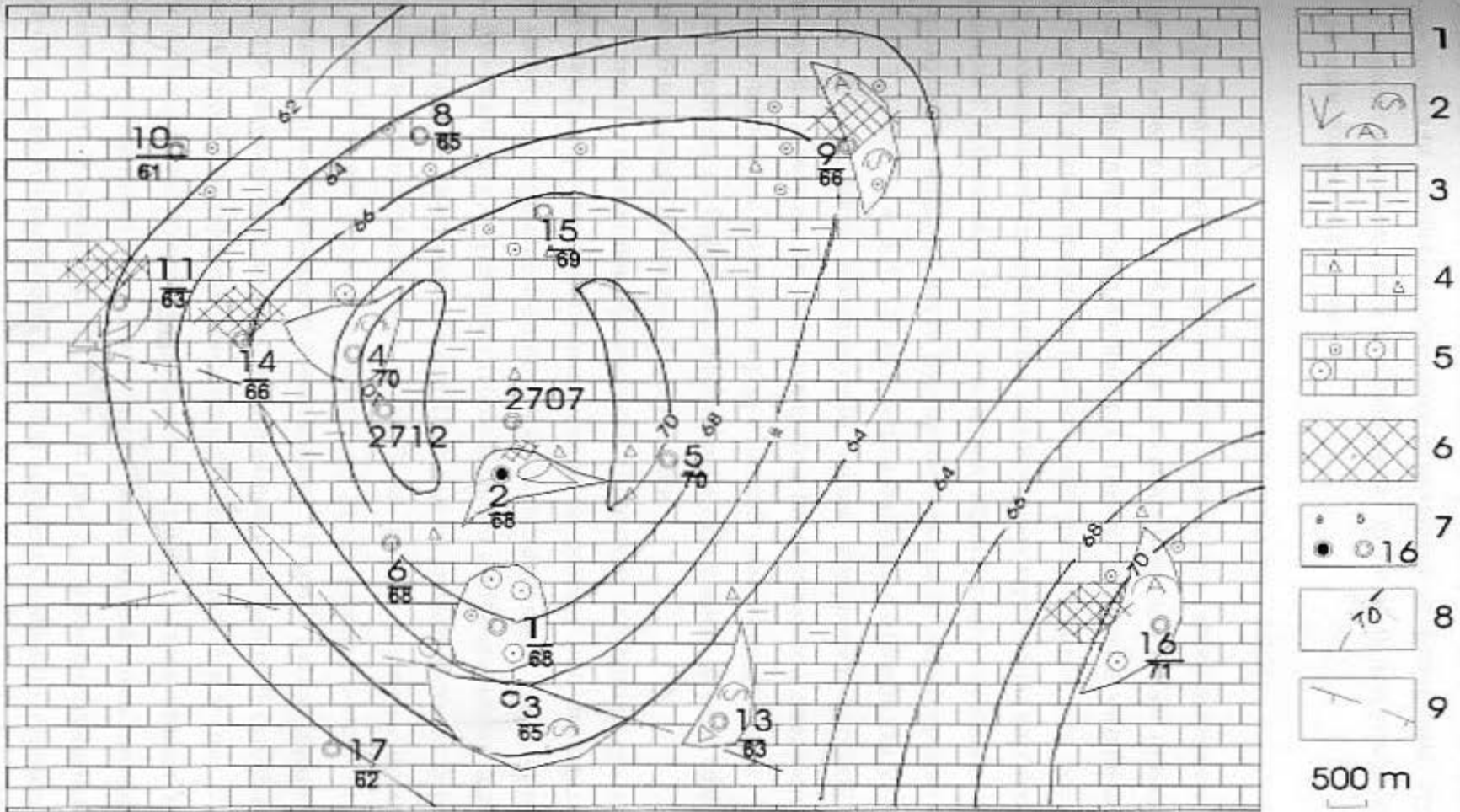


Рис.2.2.2 Литофацальная карта бийского горизонта Давыдовской площади. Усл. обозначения: 1-мелководный шельф, криноидно-биокластовые вакстоуны, 2-биогермы мшанковые, амфипоровые, строматопоровые, 3-слоистые мадстоуны зон прогибов, 4-обломочные известняки, 5-криноидные грейнстоуны отмелей, 6-доломитизация, 7-скважины: а-нефтеносные, б-водоносные, 8-изопахиты, 9-тектонические нарушения.

мелководного шельфа. В скв. 11,14,15 бийский горизонт сложен слоистыми мицритовыми вакстоунами, не содержащими рифостроителей. В скв.16 на юго-востоке площади в бийском горизонте отмечаются амфипоровые, строматопоровые и коралловые известняки в обломочных фациях (рудстоуны), соответствующие краевым зонам биогермов.

Афонинское время (рис. 2.2.3)

Граница бийского и афонинского горизонтов четко выражена на каротажных диаграммах в скв. 11,14,8,15,2,6 - пограничные слои имеют пониженную плотность и повышенную гамма-активность. Так как керновый материал здесь отсутствует можно только предполагать наличие трещиноватых или брекчированных пород с повышенной глинистостью или прослоев терригенно-карбонатных пород. По данным Г.В.Фоминой (1996) в подошве афонинского горизонта на некоторых месторождениях западной части Бузулукской впадины зафиксирован терригенный пласт Д5-3. В скв. 1, 4, 5, 9, 13, 16 граница бийских и афонинских слоев выражена нечетко. В скв. 16 к пограничным слоям приурочен прослой криноидно-амфипоровых известняков, выделяющийся на каротажной диаграмме в виде небольшого пика менее плотных пород с низкой гамма-активностью. Следовательно, при переходе от бийских к афонинским отложениям в ряде скважин можно предположить смену фациальной обстановки.

В скв.4 в основании афонинского горизонта находятся два прослоя биогермных амфипоровых известняков. Выше по разрезу они перекрываются плотными слоистыми кремнисто-глинистыми битуминозными породами инфрадоминика. Это указывает на условия глубоководного межбиогермного прогиба. Сходство каротажных диаграмм для скв.2712, 6 и 13 свидетельствует о распространении фаций межбиогермной зоны на юг. В скв. 11 и 14 пористые прослои находятся в верхней части разреза и, вероятно, представлены доломитизированными мшанковыми и амфипоровыми известняками. В скв.2 распространены коралловые и строматопоровые доломитизированные известняки. В скв.15 присутствуют отдельные прослои с фауной амфипор. В скважинах 8 и 9 (рис.2.2.4) северной части площади биогермные прослои отсутствуют, разрез сложен криноидными доломитизированными вак-пакстоунами мелководной зоны шельфа. В южной части площади - в скважинах 3, 17, 13, 16 (рис.2.2.5) распространены обломочные фации биогермных известняков с фауной кораллов, амфипор, строматопор.

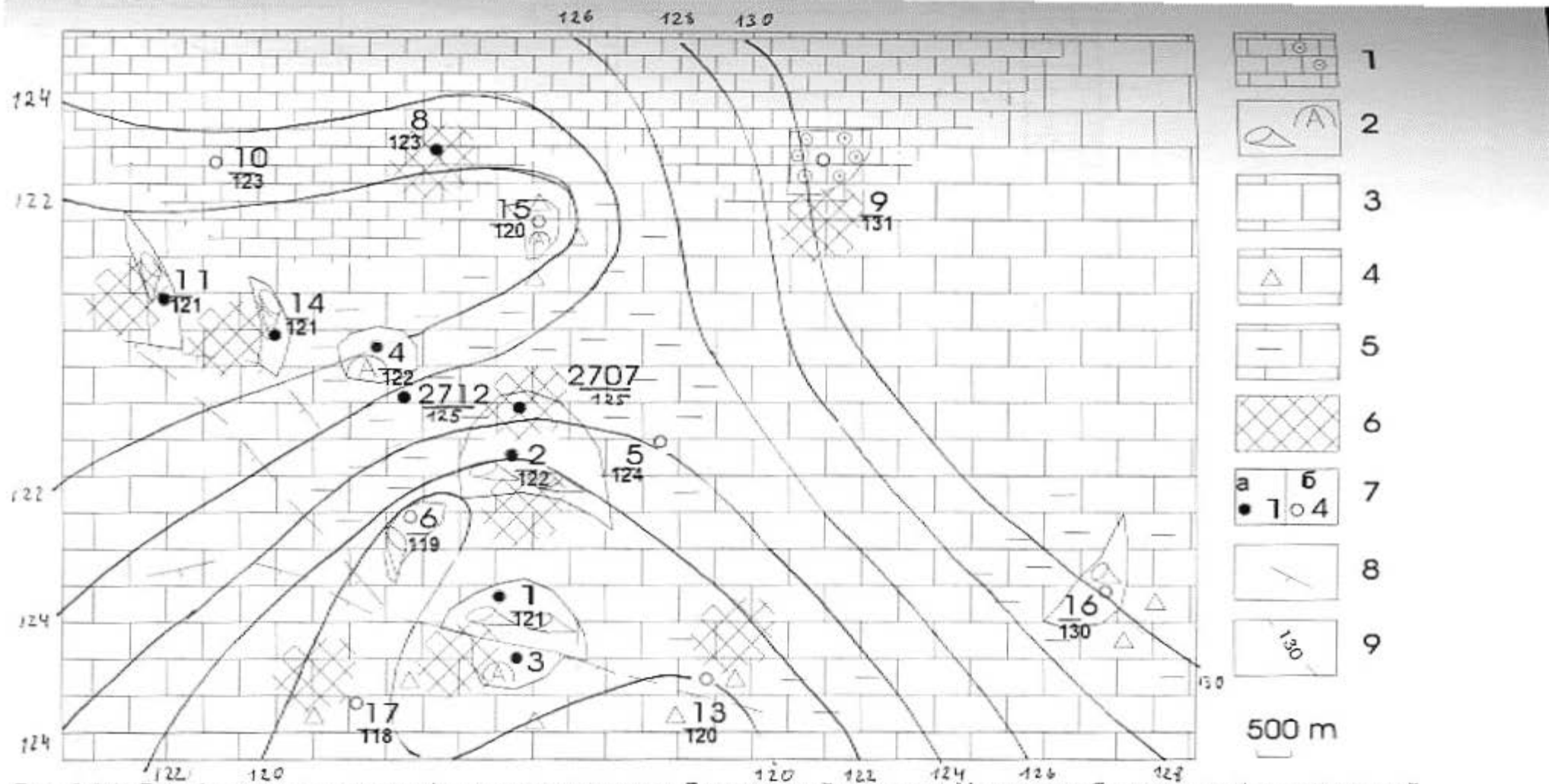


Рис. 2.2.3 Литофациальная карта афонинского горизонта Давыдовской площади. Условные обозначения: 1- мелководный шельф, криноидно-биокластовые вакстоуны и грейнстоуны; 2 - биогермы коралловые и амфиоровые; 3 - глубоководный шельф, тонкослоистые глинисто-карбонатные вакстоуны; 4 - обломочные известняки; 5 - кремнисто-глинистые мадстоуны межбиогермных прогибов; 6 - доломитизация; 7 - скважины: а-нефтеносные, б-водоносные; 8 - тектонические нарушения; 9 - изопахиты

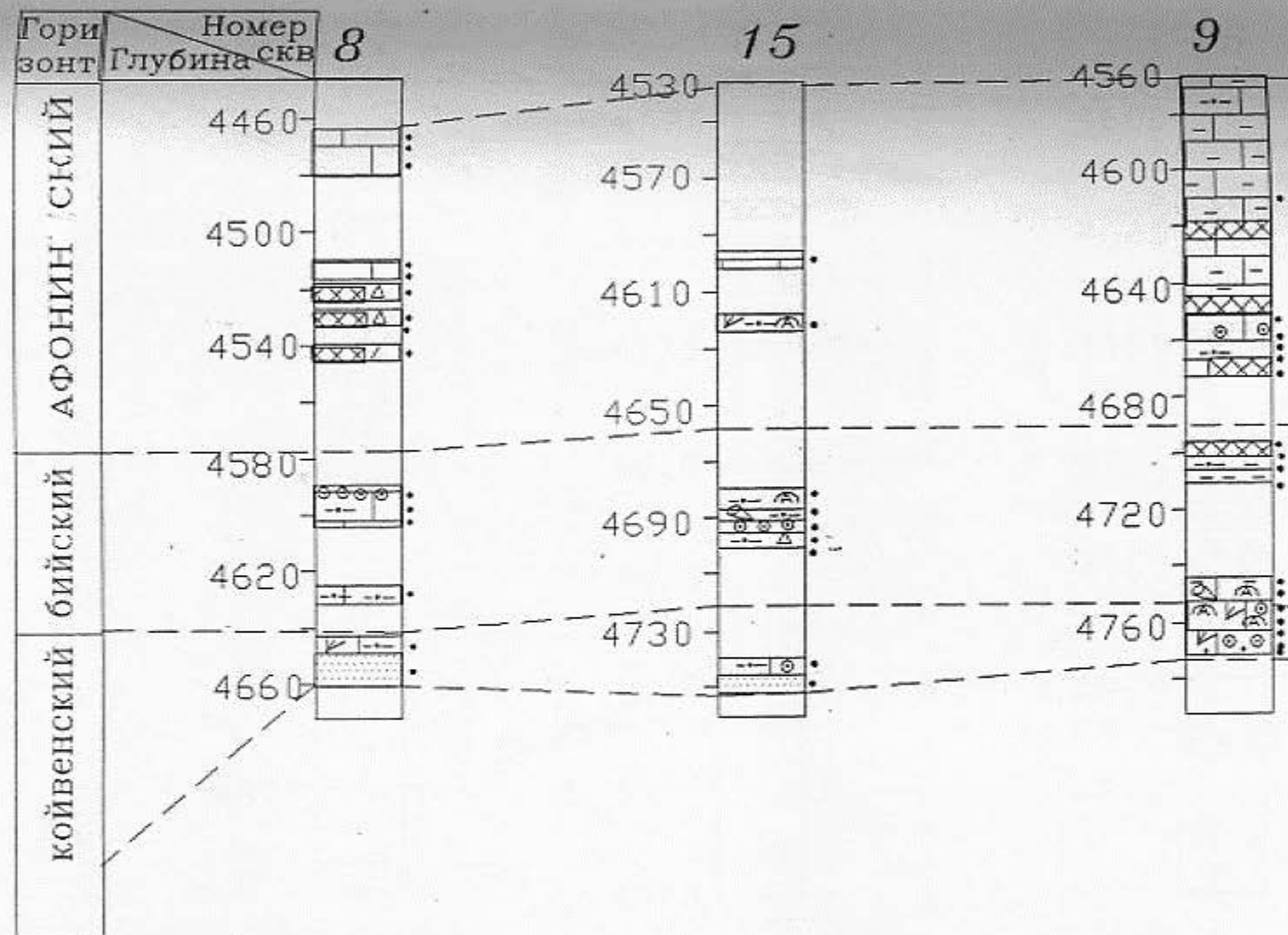


Рис. 2.2.4. Схема сопоставления литологических колонок по скважинам северной части Давыдовской площади (литофациальная зона мелководного шельфа)
Усл. обознач. на рис. 2.1.1.

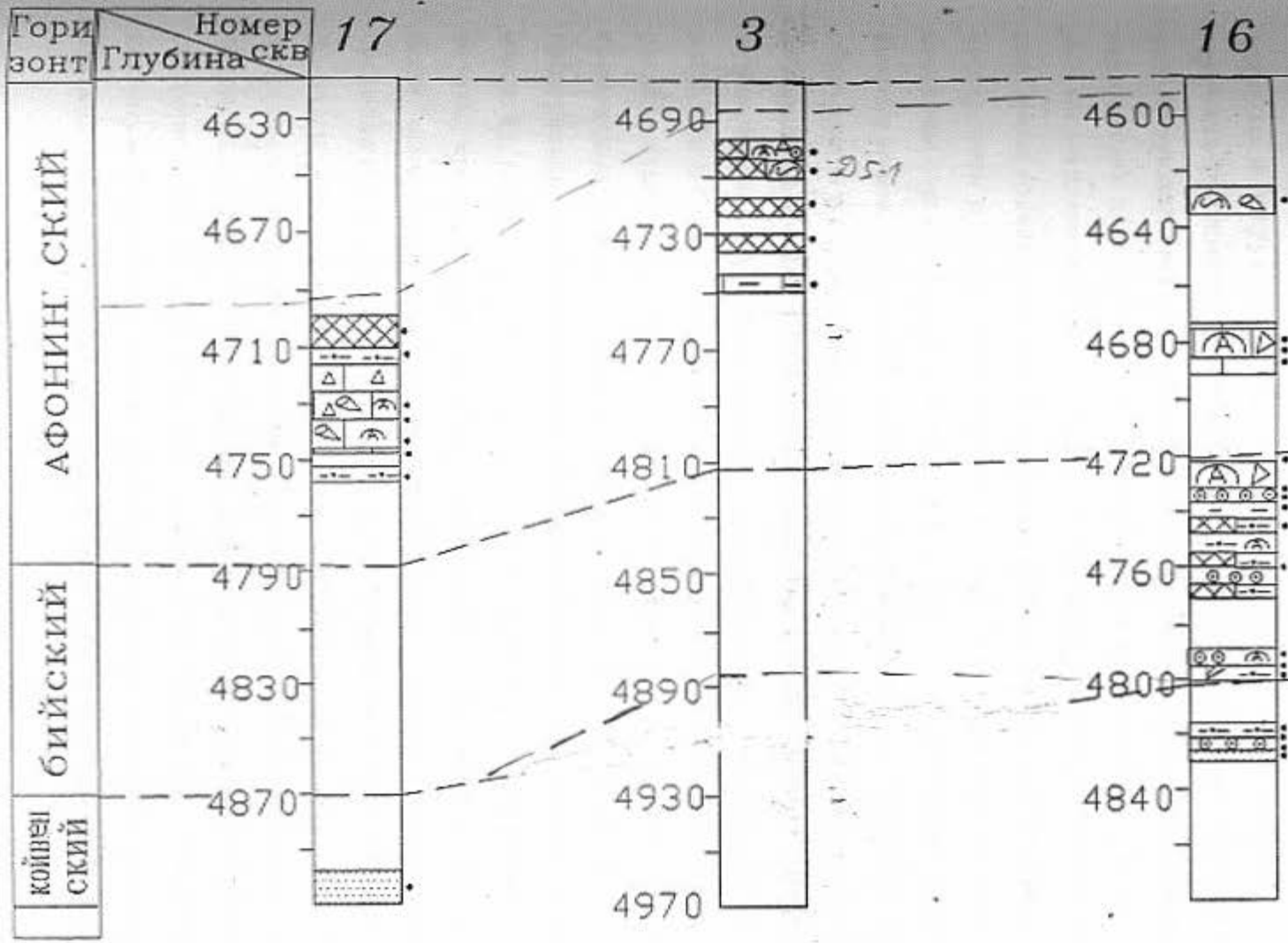


Рис. 2.2.5. Схема сопоставления литологических колонок по скважинам южной части Давыдовской площади
Усл. обознач. на рис. 2.1.1.

Факторы, влияющие на распределение лиофаций.

Распределение фаций в афонинское время несколько изменилось по сравнению с бийским (рис.2.2.2. и 2.2.3). Мелководные фации сместились к северо-западу. Биогермные амфипоровые и строматопоровые фации сменились коралловыми, которые, вероятно, заняли более возвышенные участки рельефа. Согласно данным В.И.Кайдалова и др. (1982) к среднему девону был сформирован эрозионно-денудационный рельеф с относительно небольшим расчленением (80-150м), поверхность фундамента представляет собой систему чередующихся приподнятых и погруженных участков северо-западного простирания, к востоку поверхность фундамента испытывает интенсивное погружение. Исходя из этих данных предполагается , что на распределения фаций влияли два основных фактора - палеорельеф поверхности дна и направление трансгрессии. Море наступало с юго-востока, постепенно заполняя пониженные участки рельефа, поэтому в бийское время сравнительно глубоководные кораллово-строматопоровые фации распространены в зонах понижений (скв.2, рис.2.2.2), более мелководные мшанковые биогермы - на склонах поднятий (скв.11). При продолжении трансгрессии в афонинское время увеличение глубоководности приводило к подавлению биогермообразования и перекрытию биогермов тонкослонистными карбонатными илами (что наблюдается в скв.4). Зоны роста биогермов в соответствии с положением эйфотической зоны сместились выше по склонам и на вершины поднятий (скв.1,11,14, рис.2.2.3). В бийское время некоторые вершины поднятий (например, скв.1) могли располагаться выше зоны биогермообразования и представляли отмели с фациями криноидных песков. В южной -более погруженной части площади (скв.16) распространены преимущественно обломочные фации биогермов, представлявшие, вероятно, конуса выноса материала с приподнятых участков рельефа. Следует отметить , что мощности бийского и афонинского горизонтов на Давыдовской площади испытывают незначительные колебания - немного увеличиваются в зонах прогибов и к юго-востоку в сторону погруженной части (рис.2.2.2 и 2.2.3), вероятно, за счет сноса и накопления обломочных пород. Совпадение рельефа кровли и подошвы афонинских, бийских и койвенских отложений и поверхности фундамента (рис. 2.2.6, 2.2.7, 2.2.8) свидетельствует о складчатом строении толщи. Мощности горизонтов не обнаруживают зависимости от наличия прослоев биогермов, как это наблюдается в случае типичных рифовых построек, например верхнедевонских рифов бортовой зоны Камско-Кинельской системы прогибов (Сюндюков,

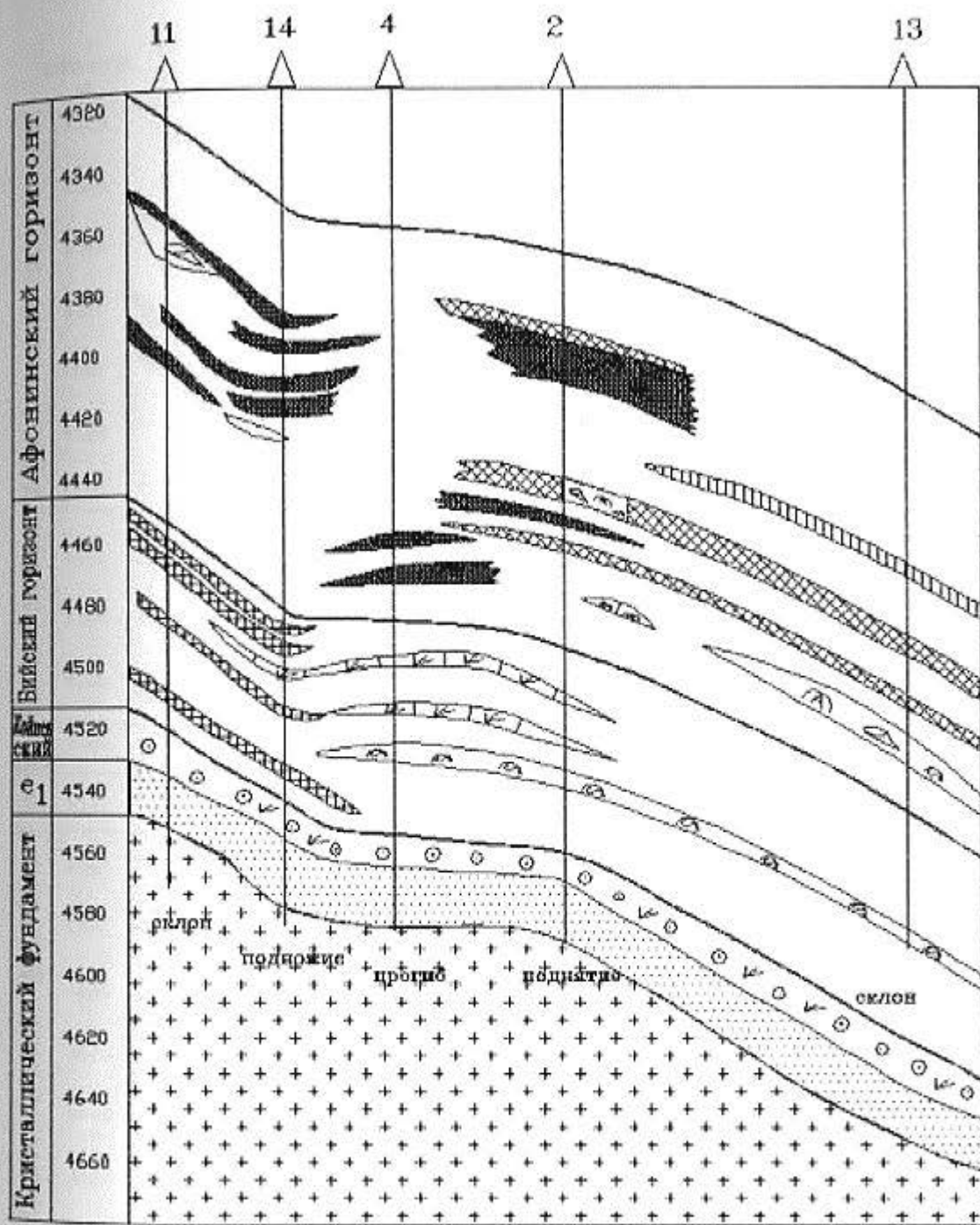


Рис. 2.2.6. Распределение пористых прослоев биогермных и доломитизированных известняков в разрезе байско-афонинских отложений (белый фон— плотные известняки). Геологический профиль по линии скважин 11–4–13. Усл. обозн см. рис. 2.1.1.

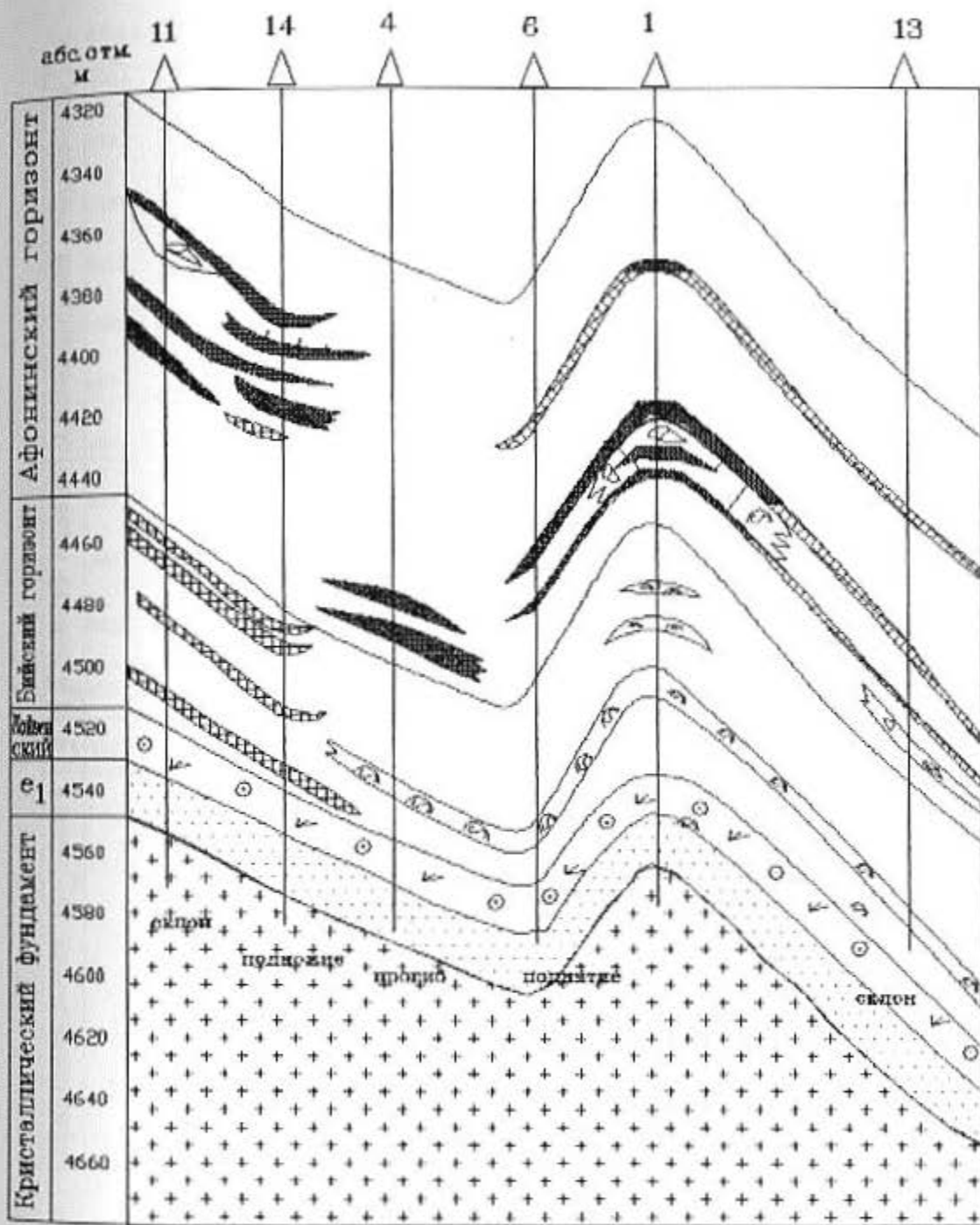


Рис.2.2.7. Распределение пористых прослоев биогермных и доломитизированных известняков в разрезе байско-афонинских отложений (белый фон— плотные известняки). Геологический профиль по линии скважин 11–13 Давыдовской площади. Усл. обозн. см. рис.2.1.1.

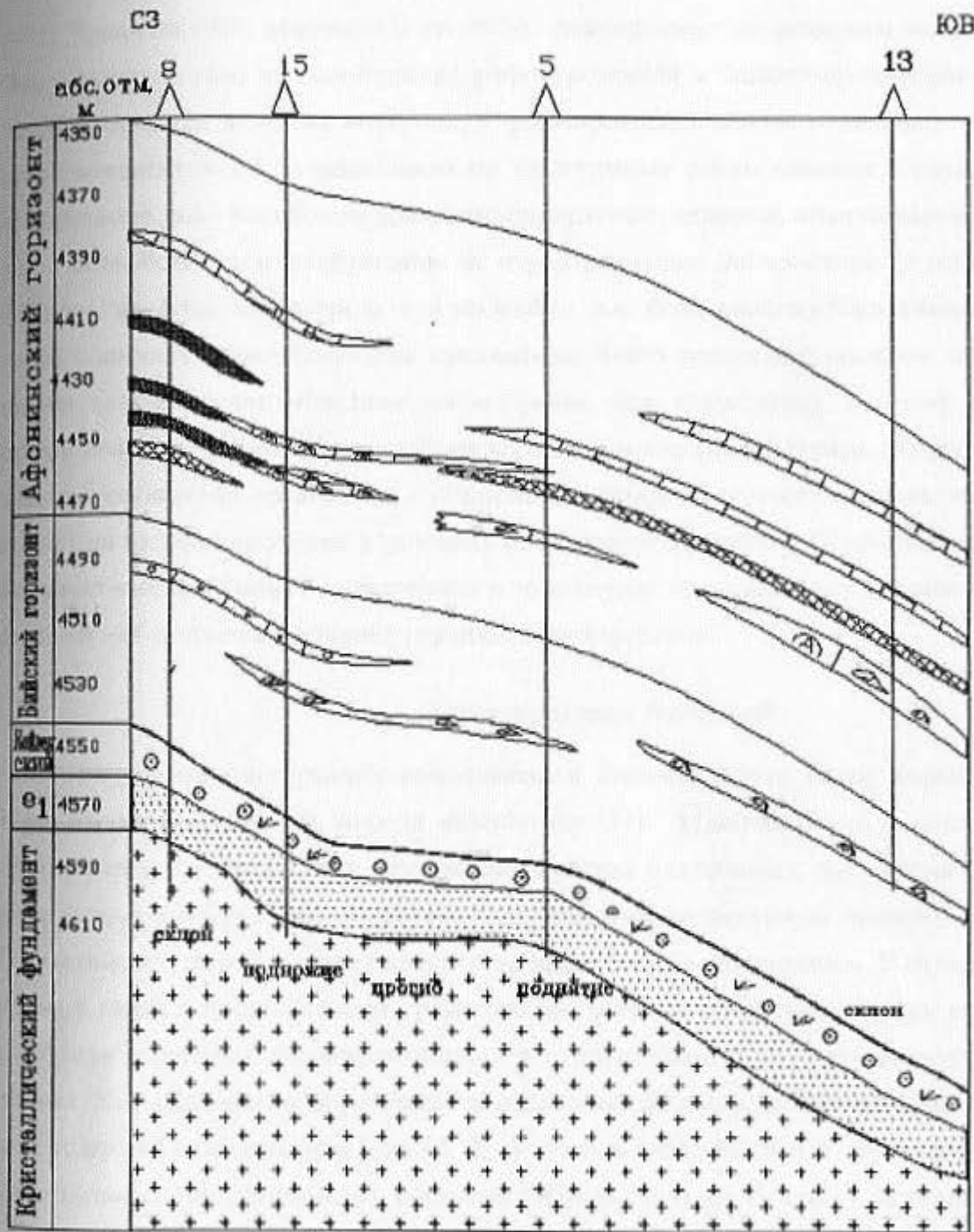


Рис.2.2.8. Распределение пористых биогермных и доломитизированных проолоев в разрезе байко-афонинских известняков (белый фон - плотные известняки). Геологический профиль по линии скважин 8 -13 Давыдовской площади. Уол. обозн. ом. рис. 2.1.1.

1975, Чувашов, 1968; Мирчинк и др., 1974), фиксируемых по раздувам мощностей. Это говорит о том, что сообщества рифостроителей в бийско-афонинское время не образовывали крупных построек, а формировались в виде отдельных небольших (мощностью 1-2 до нескольких м) биогермных тел на склонах возвышенностей рельефа дна. Колебания уровня моря, крутизна склонов, штормовые волны и т.д. способствовали разрушению и переотложению биокластики у подножия склонов, на флангах построек и в прогибах, т.к. большинство биогермных прослоев содержит переотложенные организмы. Часто отдельные прослои сложены одним типом организмов (или амфиорами, или кораллами), поэтому можно предположить недалекий разнос биокластов от места роста. В ряде случаев отмечаются сообщества организмов - обрастание кораллов строматопорами, что указывает на их формирование в условиях биогермной постройки (Королюк, 1985). В биокластических фациях - вакстоунах и рудстоунах зоны шлейфа биогермной постройки наблюдается смешение различных видов фауны.

Характеристика биофаций.

Ведущими биогермообразователями в бийское время были амфиоры и строматопоры (скв. 4, 13), иногда мшанки (скв. 11). Мшанки более широко распространены в койвенских и в основании бийских отложениях, они ассоциируют с мелководно-шельфовыми осадками, содержащими терригенную примесь кварца. По-видимому, море в начале бийского времени было мелководным. В афонинское время в связи с продолжением трансгрессии широко распространились кораллы (табулята и ругозы), формировавшиеся в относительно более глубоководных условиях. Кораллы могли образовывать отдельные биогермные постройки на склонах поднятий морского дна (скв. 14, 2, 1). Строматопоры, более характерные для фронтальных зон биогермных построек (Wilson, 1986) и участков с активной волновой деятельностью (Чувашов, 1968), распространены вместе с коралловой биокластикой в южной части площади. Амфиоры, в отличие от строматопор, являются тиховодной фауной (Чувашов, 1968), и чаще приурочены к тыловым и фланговым зонам биогермов. Амфиоры часто образуют отдельные прослои, сложенные обломками стеблей, ориентированных по слоистости, что говорит об их быстром разрушении и недалеком переотложении. Амфиоры распространены как в северной так и в южной части площади, иногда совместно с обломками других биогермообразователей.

В зоне мелководного шельфа (скв.8,9,11) распространены слоистые карбонатные осадки с фауной криноидей, остракод, гастропод. Фрагменты рифообразователей редки. Можно отметить, что остракоды, членики криноидей и обломки раковин брахиопод встречаются почти во всех типах известняков и не имеют четкой фациальной приуроченности. Мелкие тонкостенные брахиоподы - целые раковины наблюдаются в тонкослоистых пелитоморфных известняках черного цвета, приуроченных к зонам прогибов. Спинулы кремниевых губок и кониконхии указывают на глубоководные условия и установлены только в фациях межбиогермных прогибов и глубоководного шельфа (скв.4, 16). Другие виды фауны - фораминиферы, пелециподы, водоросли встречаются редко. Широко распространены биотурбированные отложения, следы илоедов. Они встречаются, преимущественно, в фациях застойных вод - микритовых вакстоунах зоны мелководного шельфа (скв.9) и на возвышенностях (скв.11).

2.3. Ливкинская площадь. Описание литофаций по скважинам.

Скважина 21 (рис. 2.3.1).

Бийский горизонт, мощность 78м.

Бийские отложения представлены в верхней части коралловыми доломитизированными известняками, переслаивающимися с глинисто-кремнистыми осадками, кремнезем развит также и по кораллам. Эти отложения подстилаются криноидными вак-пакстоунами. В нижней части разреза по данным каротажа наблюдаются два пористых нефтеносных прослоя Д6-2 и Д6-1, вероятно приуроченных к биогермным доломитизированным известнякам.

Афонинский горизонт, мощность 128м.

В нижней части развиты вторичные доломиты по коралловым биогермным известнякам. Вверх по разрезу наблюдается переслаивание микритовых вакстоунов и рудстоунов доломитизированных с фауной мшанок, амфибор, кораллов - отложения склона или подножия биогермных построек. К прослою доломитизированных коралловых известняков с повышенной пористостью приурочен продуктивный пласт Д5-2 мощностью 1,2 м. В средней части афонинского горизонта развиты слоистые криноидные вак-пакстоуны, участками доломитизированные, содержащие отдельные фрагменты мшанок.

п1 Ливкинская, скв. 21

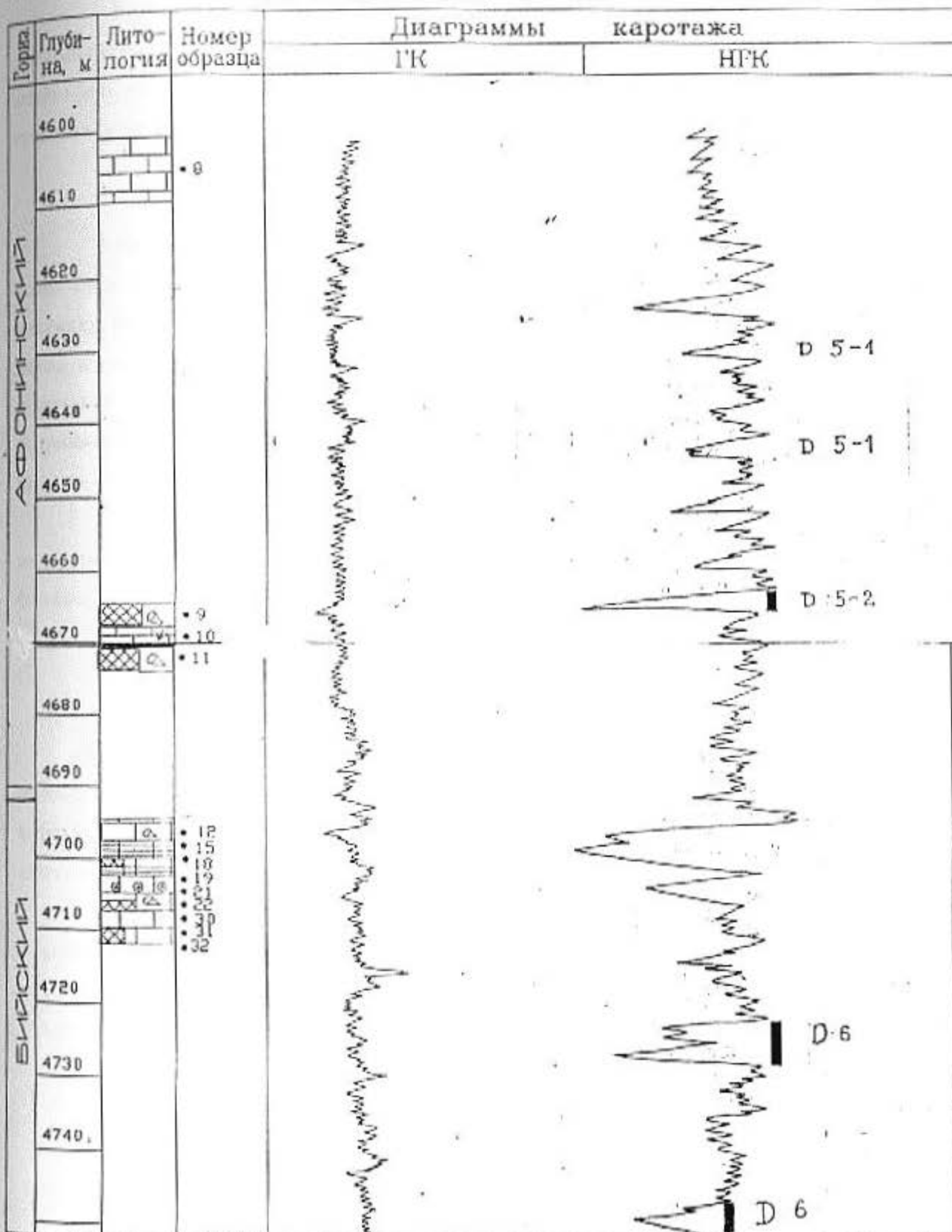


Рис. 2,3,4 Разрез бийско-афонинских карбонатных отложений скв. 21, Ливкинская площадь.

Основные обозначения см. рис. 2,4,1

Скважина 22.
Бийский горизонт, мощность 53м.

Развиты в верхней части разреза светло-бурые вторичные доломиты, доломитизированные вакстоуны, биокластовые амфипоровые и строматопоровые известняки интенсивно брекчированы. Зона брекчирования также приурочена к границе бийского и афонинского горизонтов.

Афонинский горизонт, мощность 152м.

В нижней части над зоной брекчирования развиты доломитизированные тонкослоистые вакстоуны. В средней части разреза - коралловые биогермные известняки (мощность прослоев 2-5м) переслаиваются с литокластовыми обломочными известняками, строматопоровыми известняками и перекрываются тонкослоистыми углистыми аргиллитами. В верхней части горизонта наблюдаются коралловые и амфипоровые окремненные известняки. Характерно отсутствие фауны криноидей в афонинских отложениях.

Водонасыщенный пласт Д5-2 (мощностью 2,8м) сложен коралловым известняком, доломитизированным по матриксу, внутри полостей в коралле развит блоковый кальцит с крупными (0,3 -0,5мм) порами и кавернами (рис.3.3.1).

Скважина 37 (рис.2.3.2).
Бийский горизонт, мощность 100м.

Бийские криноидные вакстоуны, участками окремненные и доломитизированные, с прослойми темных битуминозных органогенно-обломочных известняков с фауной амфипор (рис.2.3.3) залегают на койвенских мшанково-криноидных вакстоунах-пакстоунах, содержащих примесь терригенного кварца.

Водоносный пласт Д6-2 в основании разреза сложен доломитизированным коралловым известняком мощностью 6м. Нефтенасыщенный пласт Д6-1 мощностью 4,4м в верхней части горизонта представлен доломитизированным перекристаллизованным остракодово-брахиоподовым вакстоуном.

Афонинский горизонт, мощность 120м.

В нижней части - прослон вторичных доломитов, доломитизированных коралловых известняков и окремненных амфипоровых известняков. Выше по разре-

пл. Ливкинская, скв. 37

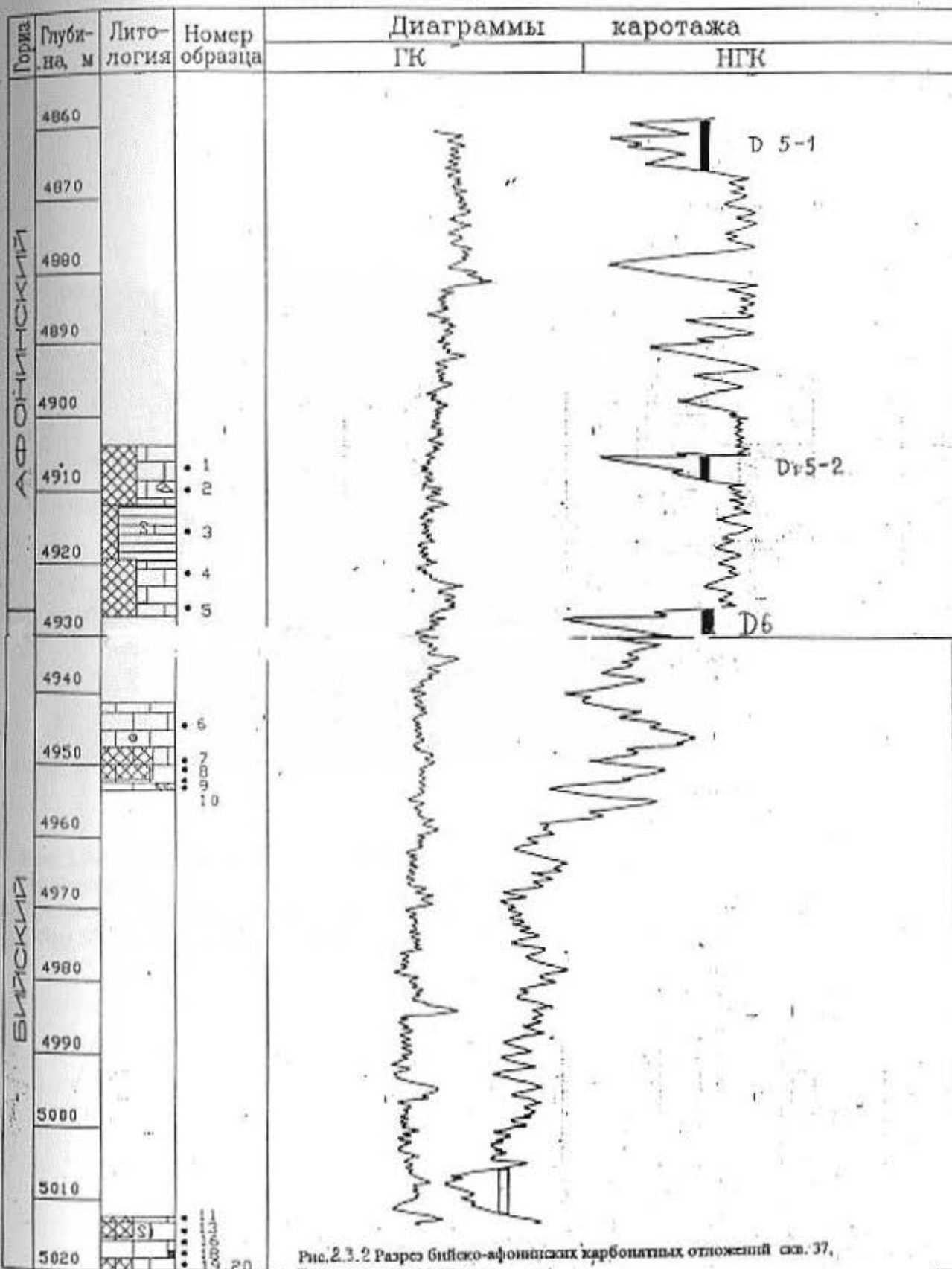


Рис. 2.3.2 Разрез былоско-афонинских карбонатных отложений скв. 37,

Ливкинская площадь.

Установленные обозначения см. рис. 2.1.1.

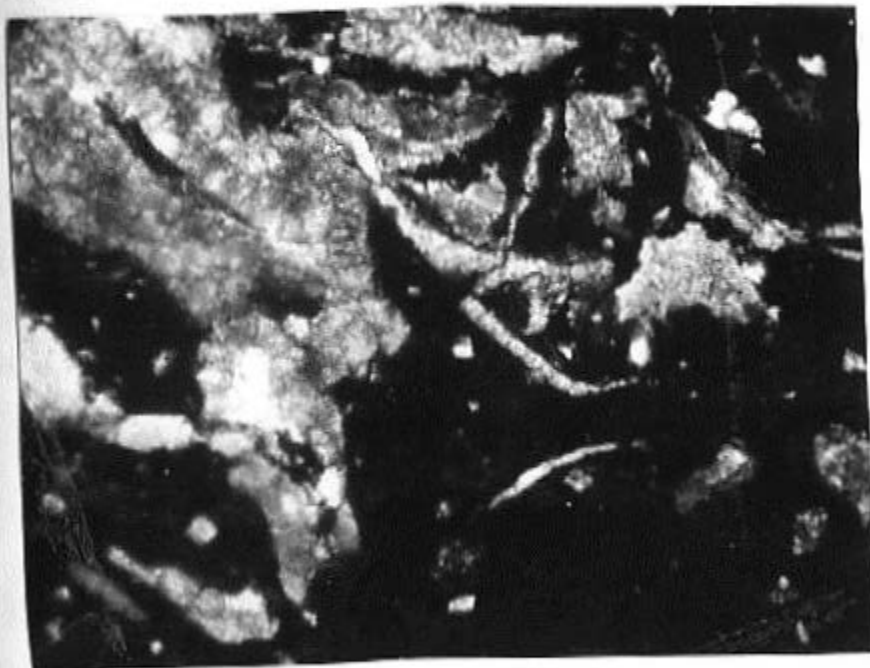


Рис.2.3.3. Известняк амфиболовый (флаутстоун): светлое - перекристаллизованные фрагменты амфиболов, черное - битуминозный глинисто-карбонатный матрикс. Бийский горизонт, Ливкинская площадь. Обр. 37/16, скв. 37, глубина 5013-5020 м. Шлиф, без анализатора, ув.90.

зу - переслаивание плотных слоистых вакстоунов и доломитизированных известняков.

Нефтеносный пласт Д5-2 мощностью 1,4м сложен доломитизированными и полностью перекристаллизованным коралловым известняком (рис.3.1.2). Нефтенасыщенный пласт Д5-1 мощностью 6м , вероятно, также сложен вторичными доломитами.

Скважина 38.

Бийский горизонт, мощность 97м.

В основании биокластовые вакстоуны с обломками кораллов, мишанок, амфибор переслаиваются с кварцевыми песчаниками с карбонатным цементом. Выше по разрезу отмечается переслаивание коралло-строматопоровых обломочных известняков с криноидными слоистыми вакстоунами.

Афонинский горизонт, мощность 146м.

Из-за отсутствия кернового материала характеристику отложений можно привести на основании анализа и сравнения каротажных диаграмм. В составе горизонта можно предполагать отдельные пористые прослон (Д5), сложенные вторичными доломитами и доломитизированными известняками.

Скважина 51.

Бийский горизонт, мощность 83м.

В основании разреза окремненные амфиборовые известняки переслаиваются с криноидными вакстоунами. В койвенских отложениях наблюдаются обломки мишанок в кварцевых песчаниках с карбонатным цементом. В средней части разреза - доломитизированные криноидные вакстоуны.

Афонинский горизонт, мощность 137м.

В основании - доломитизированные слоистые вакстоуны с фауной остракод и цефалопод. Выше по разрезу появляются прослон окремненных амфиборовых известняков и доломитизированных коралловых рудстоунов. В верхней части разреза - слоистые глинистые известняки.

2.4. Особенности распределения литофациальных типов пород на Ливкинской площади.

Ливкинская площадь расположена к юго-востоку от Давыдовской. Бийско-афонинские отложения вскрыты здесь на большей глубине и соответствуют более погруженному участку платформы. Кровля афонинского горизонта имеет сильно расчлененный рельеф (рис. 2.4.1), вероятно обусловленный складчатостью. Характерно, что граница бийского и афонинского горизонтов нечетко выделяется на диаграммах ГК.

Данные по скважинам 21, 22, 37, 38, 51 (рис.2.4.2) показывают преимущественное распространение фаций глубоководного шельфа. Коралловостроматопоровые биогермы появляются в основании бийских слоев в юго-восточных скважинах (38, 51), т.е. раньше, чем на Давыдовской площади (рис.2.4.3). Это говорит о том , что в ходе трансгрессии море в этой части раньше достигло глубины, благоприятной для биогермообразования . По направлению на северо-запад (скв.37,22.21) коралловые биогермы появляются выше по разрезу - в афонинском горизонте (рис.2.4.4). Отмечается различие в строении разреза двух рядом расположенных скважин - 21 и 22. В скв.21 в верхней части бийского горизонта развиты коралловые биогермные известняки и глинисто-карбонатные осадки (мадстоуны) зоны глубоководных прогибов. На этом же уровне в скв.22 встречены брекчированные доломитизированные вакстоуны с фауной амфибор, строматпор, криноидей, т.е. более мелководные фации. В афонинской части разреза в обеих скважинах установлены доломитизированные коралловые биогермные известняки, к прослойям которых приурочены нефтепроявления. В верхах афонинского горизонта в скв.22 встречены коралловые биогермные фации, перекрытые амфиборовыми окремененными прослойями и глинисто-карбонатными а.а. ами глубоководной зоны. В скв.21 на этом уровне развиты мшанково-криноидные вакстоуны и пакстоуны мелководной зоны шельфа. В скважинах южной части площади (37,38) распространены обломочные известняки с фрагментами рифобразователей (кораллов, амфибор, строматпор), слоистые осадки глубоководного шельфа. В скв.51 фрагменты рифовой фауны (кораллы) обнаруживаются уже в основании бийских слоев. В койвенской части наблюдаются крупные (1см) фрагменты мшанок в составе кварцевых песчаников (обр. 7587, глубина 5126м), что указывает на начало трансгрессии в койвенское время и формирование мелководных мшанковых биогермов на конусах выноса терригенного материала.

ЛИВКИНСКАЯ ПЛОЩАДЬ
СТРУКТУРНАЯ КАРТА
по отражающему горизонту Даф.

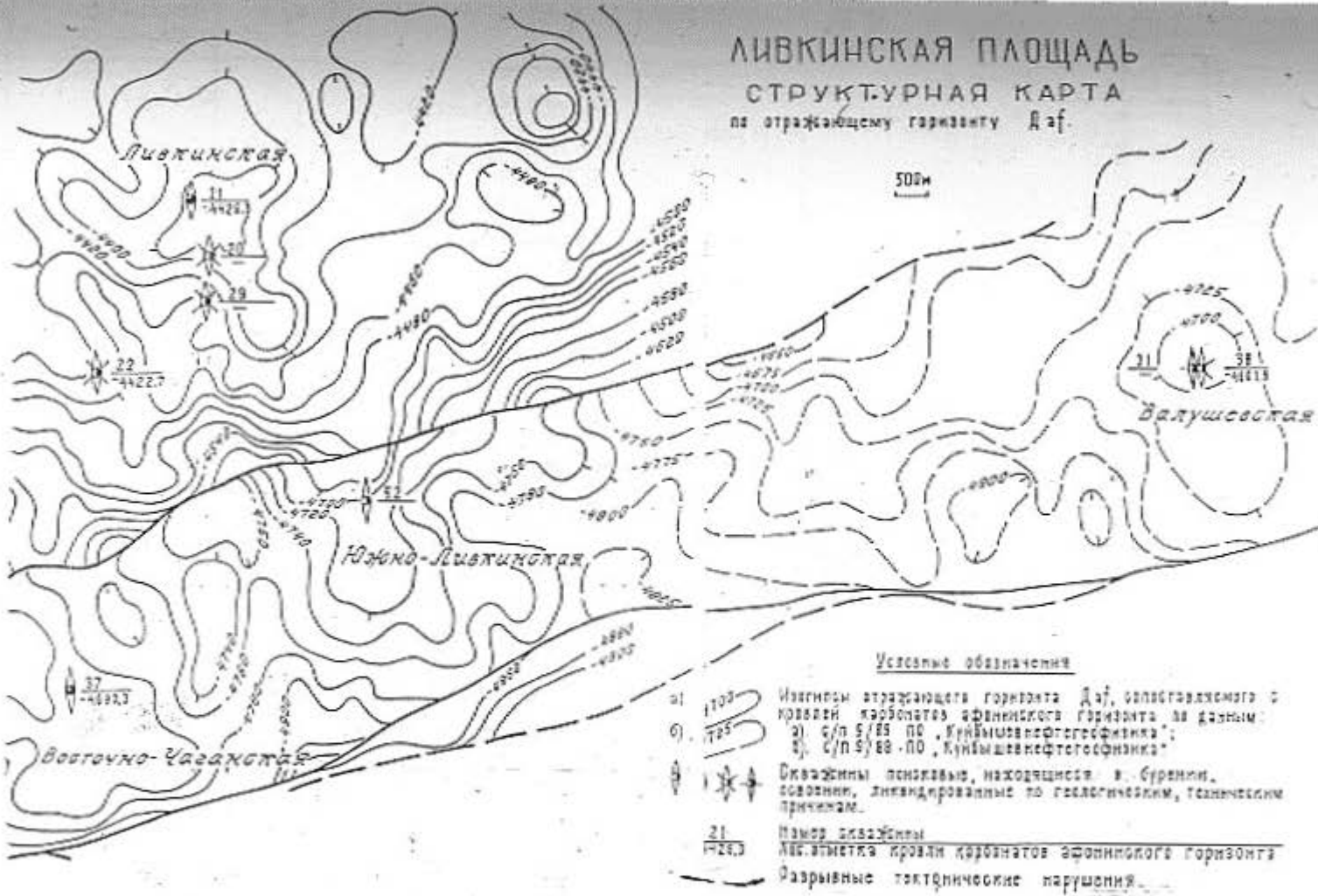


Рис. 2.4.1. Структурная карта по кровле карбонатов афонинского горизонта.
Ливкинская площадь (данные ПО "Куйбышевнефтегеофизика").

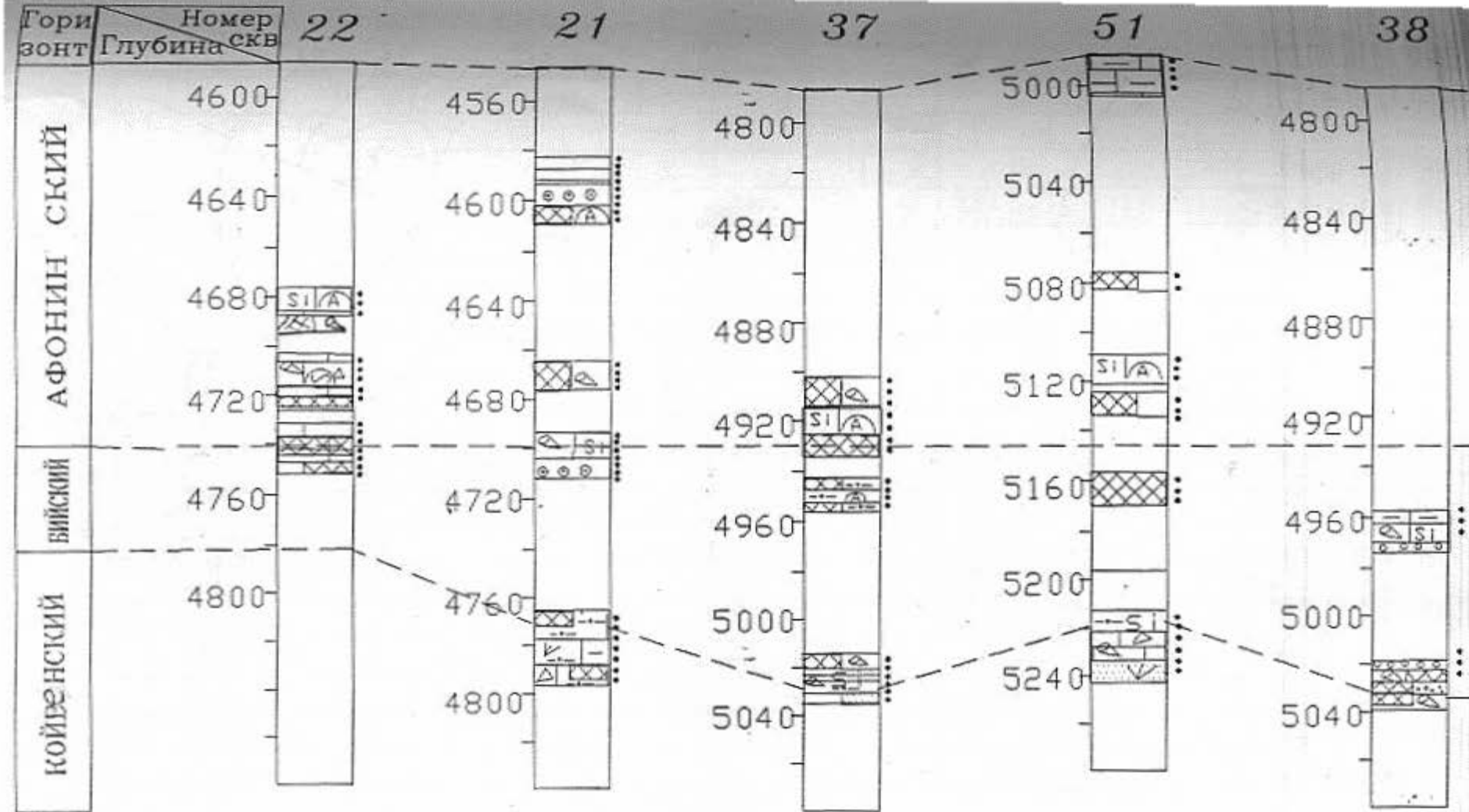


Рис. 2.4.2. Схема сопоставления литологических колонок по скважинам Ливкинской площади
Усл. обознач. на рис. 2.1.1.

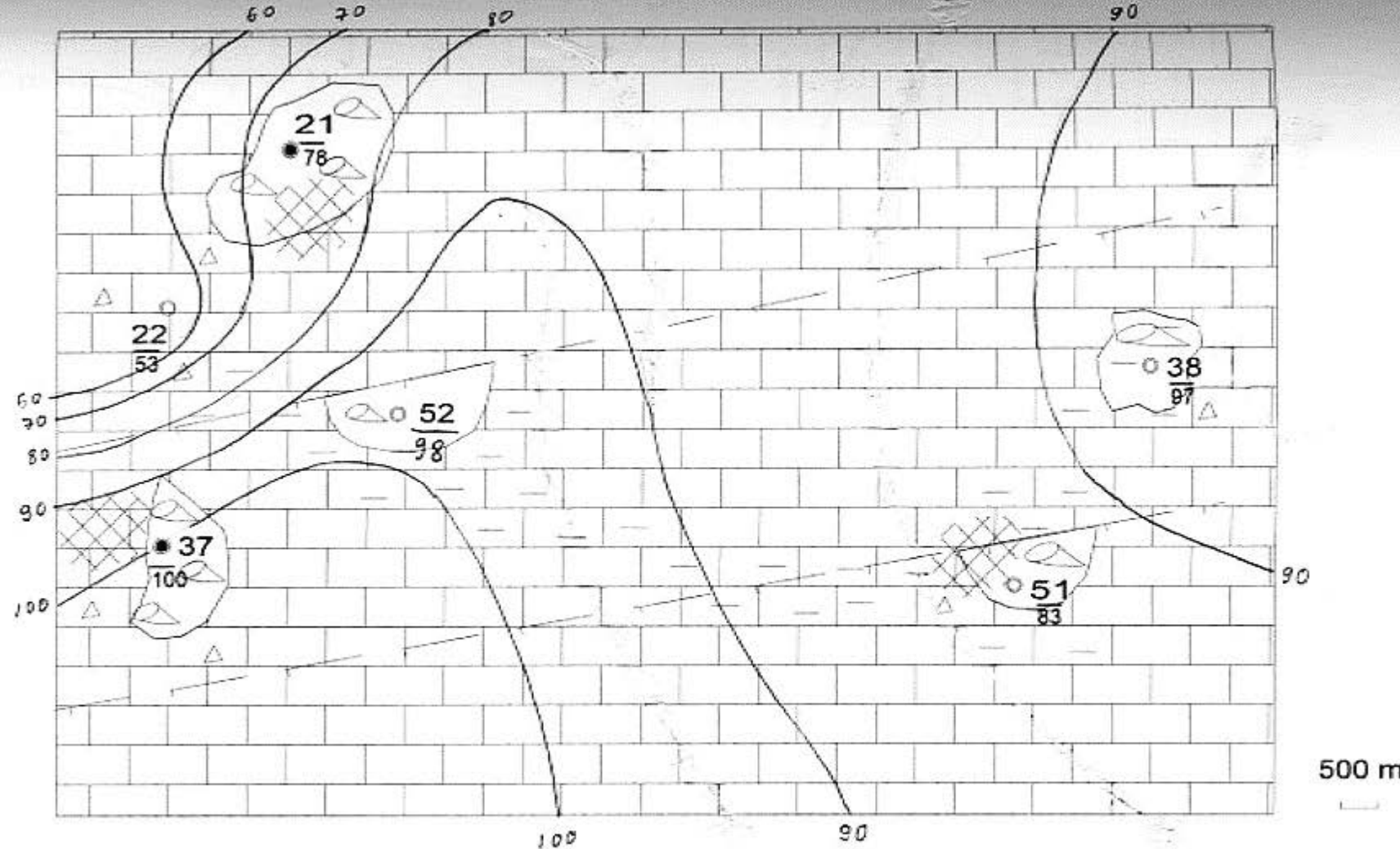


Рис. 2.4.3 Литофациальная карта байского горизонта Ливкинской площади. Усл. обозначения см. рис. 2.2.3

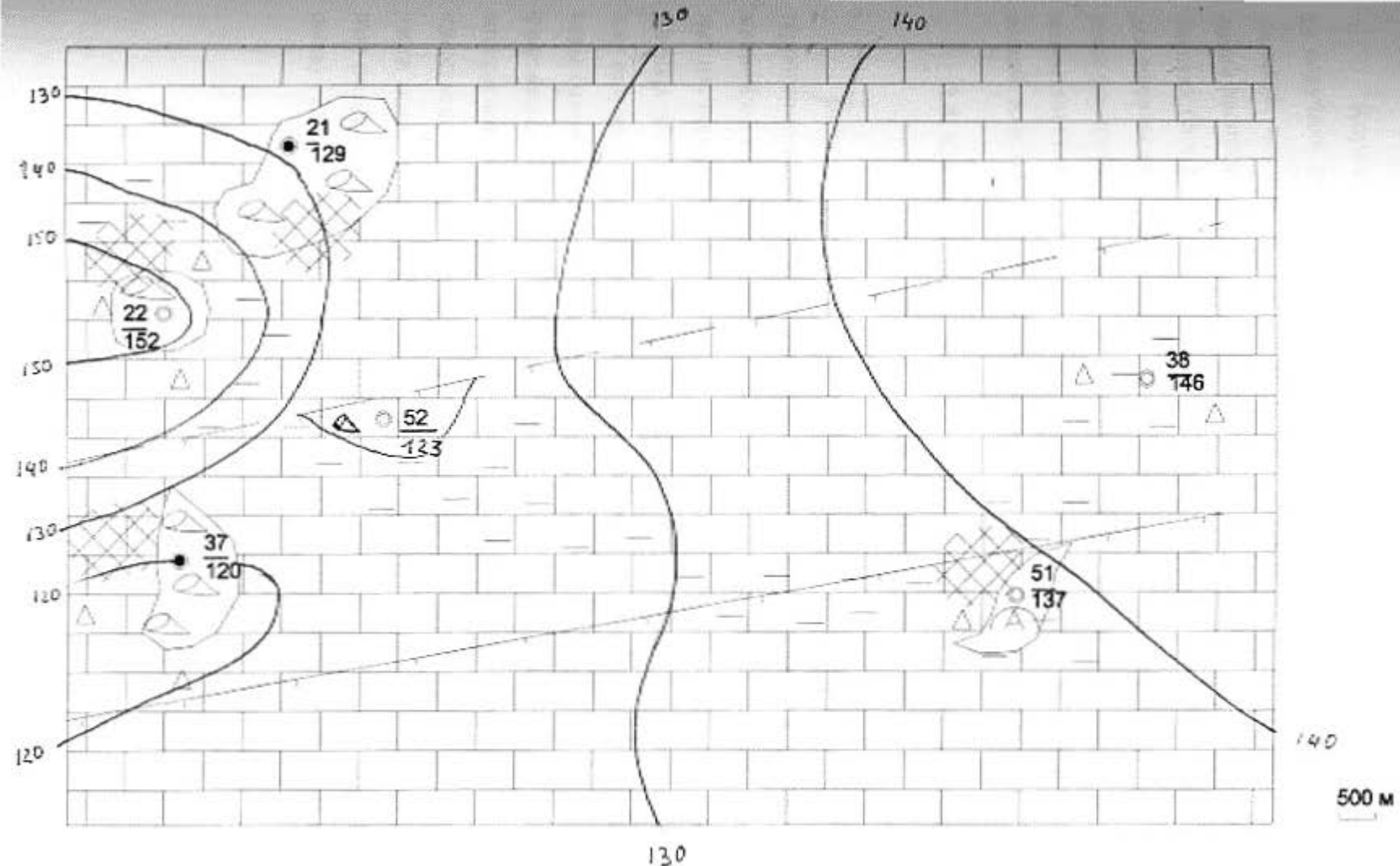


Рис. 2.4.4 Литофациальная карта афонинского горизонта Ливкинской площади. Усл. обозначения см. рис. 2.2.3

Характеристика биофаций.

Коралловые, относительно глубоководные, фации на Ливкинской площади получили распространение уже в бийское время в отличие от Давыдовской площади, где они появились позднее. Мелководные криноидные и мшанковые фации распространены в койвенских и основании бийских слоев (скв. 37, 38, 51), в бийских (скв. 22) и в верхах афонинского горизонта в скв. 21. Надо отметить, что для афонинских отложений Ливкинской площади не характерны криноиден, широко распространенные в отложениях Давыдовской площади. Это является дополнительным доказательством положения ливкинских разрезов в более глубоководной зоне шельфа, возможно, в зоне перехода к глубоководному бассейну.

2.5. Краткая характеристика койвенских отложений Давыдовской и Ливкинской площадей.

Бийско-афонинские отложения повсеместно подстилаются койвенскими терригенно-карбонатными осадками небольшой мощности (около 20м), выдержанной по площади. Койвенские отложения в свою очередь, залегают на кварцевых песчаниках нижнего эйфеля (аналоги такатинских слоев, эмский подъярус международной шкалы). В нижней части койвенские криноидные вакстоуны содержат терригенную примесь кварцевых зерен и в значительной степени пиритизированы (пирит развит в виде сыпи, гнезд, вкрапленности и замещает остракоды и фрагменты мшанок). Разрез койвенских осадков представлен переслаиванием вакстоунов, пакстоунов и криноидных грейстоунов с прослойми биокластовых известняков с фауной мшанок, остракод, брахиопод, иногда амфиопор. В верхней части появляются прослои доломитизированных пород. Набор фаций и текстурные особенности пород (неравномерная слоистость, наличие поверхностей перерыва) указывает на мелководно-морскую обстановку их образования.

Часть 3. Постседиментационные преобразования бийско-афонинских карбонатов.

Бийско-афонинские отложения претерпели интенсивные постседиментационные преобразования: доломитизацию, перекристаллизацию, окремнение, пиритизацию, развитие стиллолитов. Каждый из этих процессов по разному проявился в разных типах пород. Наиболее широко развиты доломитизация и перекристаллизация. Влияние этих процессов на изменение пористости пород проявилось неодинаково.

3.1. Доломитизация.

Степень доломитизации известняков определялась методом окрашивания раствором ализарина красного в 2% HCl: на протравленную соляной кислотой открытую поверхность шлифа наносится капля раствора, через некоторое время просмотр шлифа под микроскопом показывает наличие окрашенных участков доломита в неокрашенном карбонате кальция. Глазомерный подсчет площади окрашенных и неокрашенных участков дает относительное количество доломита. Практически во всех образцах доломит является вторичным. Установлено два типа доломитизации известняков:

а) доломит мелко-зернистый в виде отдельных ромбоэдров или сплошной кристаллической массы, развитый по темно-бурому микритовому матриксу в биогермных коралловых известняках (рис.3.1.1) и в пелитоморфных дегритовых известняках (мадстоунах, вакстоунах), фрагменты фауны - криноиды, остракоды в этих известняках обычно остаются незамещенными;

б) доломит средне- и крупно-зернистый, выполняющий пустоты, полости и трещины, развит преимущественно в биогермных коралловых и строматопоровых известняках, этот тип доломита часто нацело замещает фрагменты кораллов или выполняет поры внутри кораллов (рис.3.1.2).

Как известно, доломитизация известняков сопровождается уменьшением объема породы (доломит имеет более плотную упаковку и меньший объем, чем кальцит) и увеличением пористости (если количество доломита не превышает 80%). Биогермные коралловые и строматопоровые известняки первично имеют повышенную пористость. Развитие по ним крупнокристаллического доломита, вероятно, увеличивает пористость пород. При доломитизации более плотных микритовых вакстоунов их пористость увеличивается незначительно. В разрезах

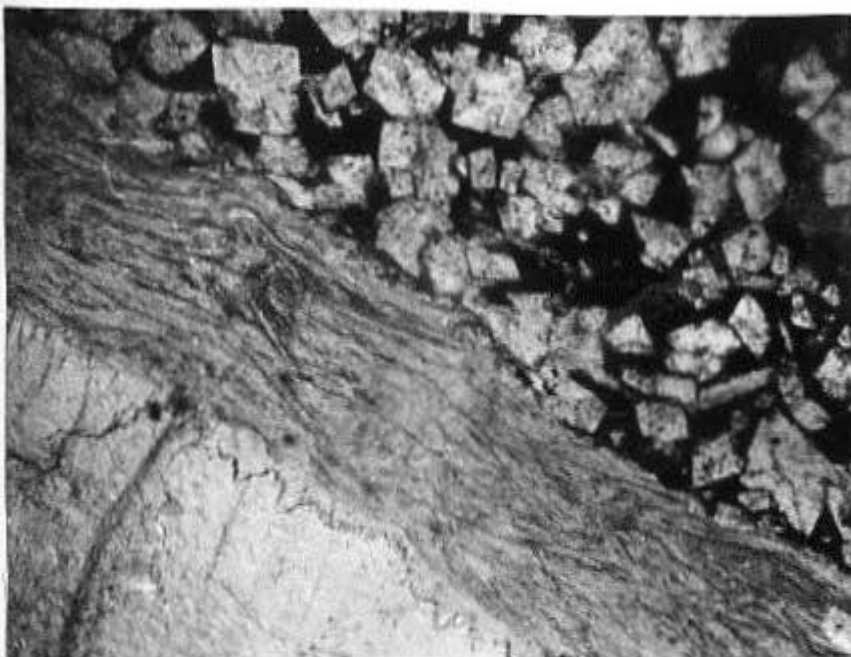


Рис.3.1.1. Биогермный коралловый известняк (баундстоун). Хорошо видны ромбодробы доломита, развитые по черному матриксу. Волокнистая стенка коралла не доломитизирована, внутри коралл (светлое в правом верхнем углу) выполнен крупноблочевым кальцитом. Бийский горизонт, Ливкинская площадь. Обр.38/14, скважина 38, глубина 4960-4965. Шлиф, без анализатора, ув.90.



Рис 3.1.2. Вторичный кавернозно-пористый доломит, развитый по коралловому известняку. Мелко-зернистый доломит развит по матриксу, крупно-кристаллический доломит (в правом верхнем углу) замещает фрагменты кораллов. Афонинский горизонт, Ливкинская площадь. Обр. 37/1, скважина 37, глубина 4900-4911. Шлиф без анализатора, ув. 90.

бийских и афонинских отложений мелководно-шельфовой зоны наблюдается переслаивание плотных и менее плотных пород: плотные породы - микритовые вакстоуны, недоломитизированные или слабо доломитизированные, менее плотные породы - криноидные пакстоуны и грейнстоуны или интенсивно доломитизированные вакстоуны.

Доломитизированные породы неравномерно распределены по площади. Наименее доломитизированы породы зон глубоководных прогибов (в скв.4, например, доломиты не установлены). Доломитизированные вакстоуны распространены в северной части Давыдовской площади, соответствующей зоне мелководного шельфа. Крупно-кристаллический доломит сопутствует зонам биогермов. Практически все нефтеносные прослои приурочены к доломитизированным биогермным кораллово-строматопоровым известнякам (кроме скв.4, где нефтеносными являются недоломитизированные строматопоровые и амфильтровые известняки). В бийских отложениях распространены доломитизированные вак-пакстоуны склонов поднятий. В афонинском горизонте доломитизация чаще приурочена к биогермным фациям, обычно обломочным. Практически во всех скважинах, расположенных вблизи зон разломов, развит доломит (скв.17,3,13 Давыдовской и 37,51 Ливкинской площади). Возможно, зоны разломов служили проводниками доломитизирующих растворов.

Процесс доломитизации пород может быть диагенетическим или эпигенетическим (Страхов, 1956, Хворова, 1956). Разделение этих двух типов доломитизации требует дополнительных исследований (Краузе, Маслов, 1959). Экспериментальные исследования показывают (Zempolich et.al., 1991), что диагенетический доломит развивается по арагониту путем замещения. Признаком диагенетического происхождения доломита может служить развитие ромбоздротов доломита по микритовому матриксу (Taberner et. al., 1987, 1985). Доломит предположительно диагенетического происхождения наблюдается в некоторых образцах биогермных известняков (рис. 3.1.1) и микритовых вакстоунах мелководного шельфа. Для эпигенетического доломита характерно неравномерное развитие по породе, выполнение трещин, пор и пустот, образование жил крупнокристаллического доломита и брекчий доломитизации (Сюндюков, 1975). Возможно, диагенетический доломит послужил источником магния для доломитизирующих растворов в эпигенезе. Эпигенетический доломит приурочен к зонам тектонических нарушений. Диагенетический доломит контролируется распределением литофаций. В целом, распределение зон доломитизации имеет сложный характер. В зоне мелководного шельфа

Давыдовской площади (рис.2.2.3) широко развиты кристаллические доломиты, почти не содержащие реликтов фауны, вероятно, первоначально диагенетического происхождения и впоследствии перекристаллизованные. Коралловые биогермные известняки неравномерно доломитизированы практически во всех скважинах. Зоны эпигенетического доломита развиты в скважинах, расположенных вблизи тектонических нарушений как на Ливкинской (рис. 2.3.3) так и на Давыдовской площадях (скв. 3,13). В то же время отсутствие доломита отмечается в отложениях межбиогермных прогибов и глубоководного шельфа в скважинах (скв.4, 15), удаленных от тектонических границ блоков. В этих скважинах наблюдается окремнение пород. Таким образом, намечаются следующие закономерности в распределении доломита: диагенетическая и эпигенетическая доломитизация отложений мелководного шельфа и биогермов, отсутствие доломитизации в зонах прогибов, эпигенетическая доломитизация отложений глубоководного шельфа в скважинах, расположенных вблизи тектонических нарушений.

3.2. Окремнение.

Вторичное окремнение известняков - широко развитый процесс, возможно, связанный с особенностями диагенеза карбонатов. В бийско-афонинских отложениях кремнезем в виде вторичного халцедона развивается по двум типам пород: в слоистых вакстоунах в виде неправильной формы выделений по основной массе (скв.51, обр.7571, глубина 5111-5116м) и по биогермным известнякам, нацело замещая амфипоровые прослои (скв.37, обр.3, глубина 4911-4918м), или внутри полостей в кораллах. В кремнисто-глинисто-карбонатных породах инфрадоманика кремнезем выполняет спикулы губок и наблюдается в виде пятен в основной массе.

В бийских слоях кремнезем более редок, чем в афонинских. Окремнение амфипор в бийских отложениях наблюдается в скв.38 и 51 Ливкинской площади. В афонинских слоях широко развит кремнезем в основании горизонта по прослойям амфипор, в составе кремнисто-глинистых отложений зон прогибов (скв.4, 6 Давыдовской площади) и в коралловых известняках на Ливкинской площади. В скв. 21 на границе бийского и афонинского горизонтов наблюдается чередование черных глинисто-кремнистых мадстоунов и окремненных коралловых известняков. Прослой является нефтеносным и проницаемым, вероятно за счет трещиноватости. Характерно, что на Ливкинской площади (скв.21, 37) по коралловым известнякам развивается и доломит и халцедон: доломит замещает матрикс и иногда стенки кораллов, халцедон развит внутри ячеек кораллов, уменьшая пористость.

3.3. Перекристаллизация.

Перекристаллизация - развитие светлого более крупно-зернистого блокового кальцита по темной тонко-зернистой микритовой основной массе карбонатов - наблюдается в прослоях микритовых вакстоунов в основании бийского и в верхах афонинского горизонтов. Прослои, выполненные вторичным крупно-кристаллическим кальцитом, неравномерно распространены по площади и разрезу. Широко распространены спаритовые (кристаллические) известняки без реликтов фауны в зоне мелководного шельфа. Перекристаллизации подвержены породы вблизи тектонических нарушений. Блоковый вторичный кальцит развивается также по трещинам и пустотам в биогермных известняках, заполняет пустоты внутри фауны кораллов (рис.3.3.1), остракод, брахиопод. Наряду с блоковым кальцитом в биогермных известняках иногда наблюдается радиально-лучистый кальцит, выполняющий ячейки в кораллах. Такой тип кальцита считается диагенетическим (морским цементом).

В бийских слоях кристаллический кальцит приурочен к биогермным известнякам и зонам брекчирования, а также наблюдается в виде цемента в криноидных пакстоунах и грейнстоунах. В афонинских отложениях наблюдается перекристаллизация микритового заполнения биокластовых известняков биогермной зоны (в скв.13,14).

3.4. Стиллолиты.

Стиллолиты или стиллолитовые щвы в бийско-афонинских карбонатах представляют собой тонкие зигзагообразные трещины, заполненные темно-бурым глинистым или битуминозным веществом (рис.3.4.1). Расположены они обычно субпараллельно друг к другу и часто совпадают со слоистостью или субпараллельны ей. Стиллолиты наблюдаются, преимущественно, в слоистых вакпакстоунах основания бийского горизонта и в койвенских глинисто-карбонатных осадках. В афонинских отложениях встречаются реже. Они отмечаются в обломочных литокластовых разностях известняков на контакте двух различных типов пород, например, светлого сгустково-комковатого мад-вакстоуна и темного более грубозернистого пак-глейстоуна. В некоторых случаях стиллолиты маркируют поверхности размыва (hard ground-твёрдое дно), отмечаемые в фациях мелководного шельфа в зонах поднятий.

В целом, стиллолитизация повышает проницаемость пород.

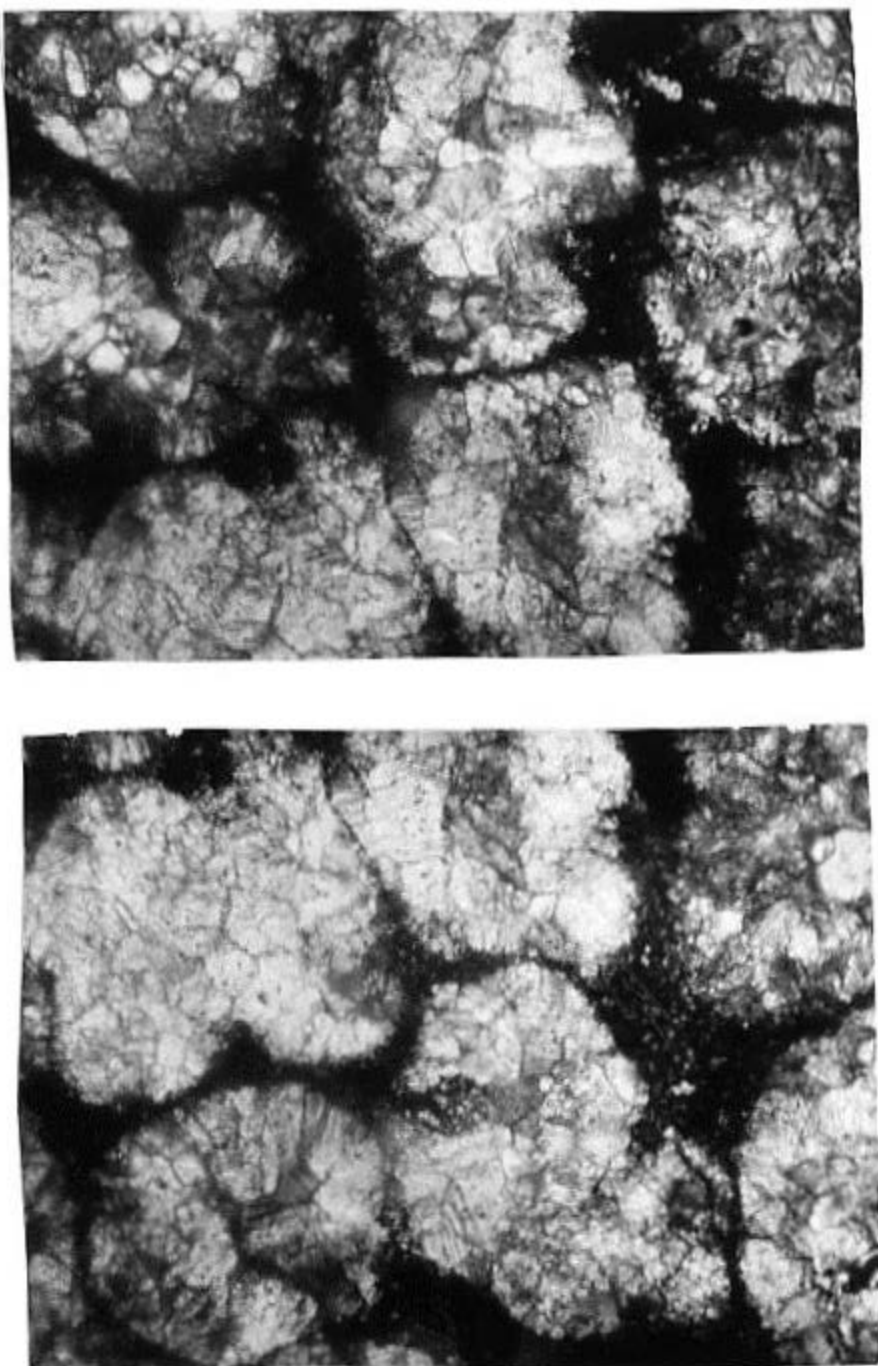


Рис.3.3.1. Коралловый известняк (баундстоун). Ячейки в коралле выполнены крупно-блоковым кавернозно-пористым кальцитом (светлое). Афонинский горизонт, Ливкинская площадь. Обр. 2162, скв.22, глубина 4682 м. Шлиф, без анализатора, ув.90.

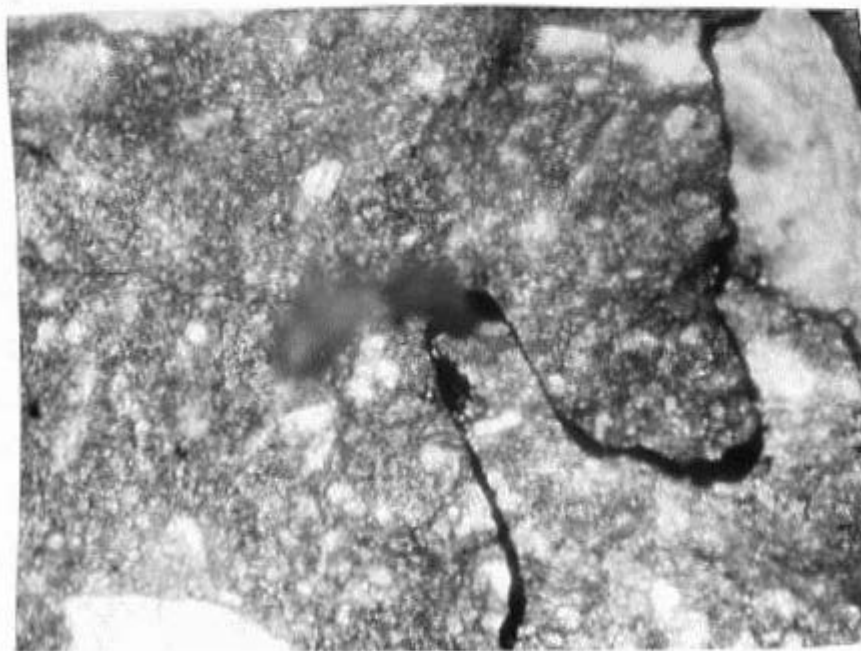
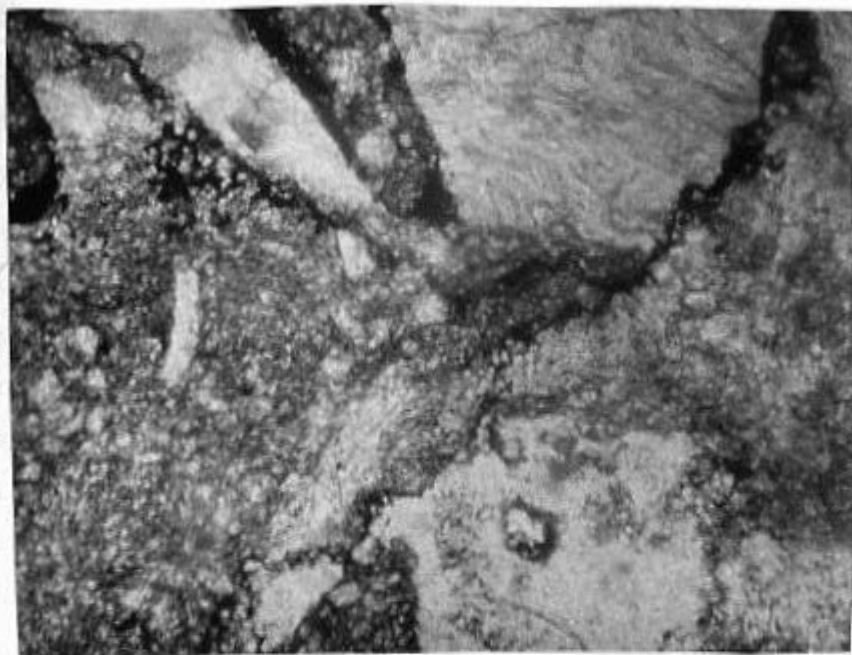


Рис.3.4.1. Стилолиты, развитые по границам литокластов в обломочном известняке. Афонинский горизонт, Ливкинская площадь. Обр. 2157, скв.22, глубина 4680,5 м. Шлиф, без анализатора, ув.90.

3.5. Пиритизация.

Пирит встречается в виде сыпи, отдельных мелких кристаллов, землистых масс, скоплений, тонких прожилков, гнезд, замещает раковины остракод (иногда нацело), фрагменты мшанок. Наиболее обильно пирит развит в койвенских и в основании бийских отложений. В виде редкой вкрапленности и отдельных кристаллов пирит встречается в черных битуминозных глинистых породах и слоистых вакстоунах зон глубоководных прогибов, иногда в темном микривом матриксе биогермных известняков. Пирит является типичным спутником отложений застойных вод. Источником железа в пирите, вероятно, являются терригенные породы, развитые в основании карбонатного разреза, или глинистое вещество глинисто-карбонатных пород. Сера, возможно поступает из углеводородов или битуминозных осадков, накапливавшихся в глубоководных прогибах. Зоны пиритизации часто приурочены к зонам брекчирования, что говорит о связи пиритизации с тектоническими нарушениями, являющимися, вероятно, проводниками метасоматических растворов, перераспределяющих пирит в отложениях.

3.6. Пористость и постседиментационные преобразования отложений.

При описании шлифов проводилось изучение пористости. Определялся тип пор, размер, примерное процентное содержание. Установлены следующие виды пор:

- межзерновые поры в кристаллическом кальците или доломите, развитом по основной массе биокластических известняков (вакстоунов);
- поры внутри полостей в фауне остракод, кораллов, строматопор, брахиопод, выполненные крупноблоковым кальцитом;
- поры и каверны в крупнокристаллическом доломите, замещающем биогермные коралловые известняки;
- тонкие трещины в слоистых вакстоунах.

Размер пор от долей мм до 1мм, каверны могут иметь размер 1-3 мм, трещины - ширину от долей мм до 0.5-1мм.

Наибольшей пористостью характеризуются доломитизированные биогермные кораллово-строматопоровые известняки. В них пористость по нашим данным и измерениям лаборатории ОУБР составляет от 5-8 до 12-14%. Меньшую пористость имеют доломитизированные криноидные вак-пакстоуны 2-5 %. Плотные вакстоуны и кремнисто-карбонатные мадстоуны имеют пористость не более 2%.

иногда они имеют повышенную проницаемость и являются нефтенасыщенными, вероятно за счет трещиноватости.

Вторичные преобразования пород по разному влияют на пористость. Доломитизация обычно, благоприятна для увеличения пористости. Как правило, нефтенасыщенные пласти в бийско-афонинских отложениях как Давыдовской, так и Ливкинской площадей, являются доломитизированными. Таким образом, основным типом коллекторов в бийско-афонинских отложениях являются доломитизированные биогермные коралловые известняки, пористость которых связана с уменьшением объема при доломитизации, а также с образованием пор и каверн внутри ячеек коралловых полипов, выполненных крупно-блоковым (диагенетическим) или радиально-лучистым (сингенетическим или морским) кальцитом, легко выщелачивающимся при эпигенезе.

В некоторых случаях внутри коралловых ячеек развивается халицедон. Окремнение биогермных известняков уменьшает пористость. Полностью замещенные кремнеземом прослои амфиболовых известняков (имеющие первично высокую пористость) проявляют себя как плотные породы покрышек.

Интенсивная пиритизация пород также уменьшает пористость, так как пирит развивается внутри первичных пор и каверн внутри фаунистических остатков: мшанок и остракод.

Перекристаллизация, по видимому, способствует увеличению пористости, так как крупно-кристаллический кальцит легче выщелачивается. Прослои крупно-кристаллических известняков могут служить коллекторами. Криноидные пак-грейстоуны (органогенные пески отмели) со спаритовой основной массой обладают повышенной пористостью (около 5%).

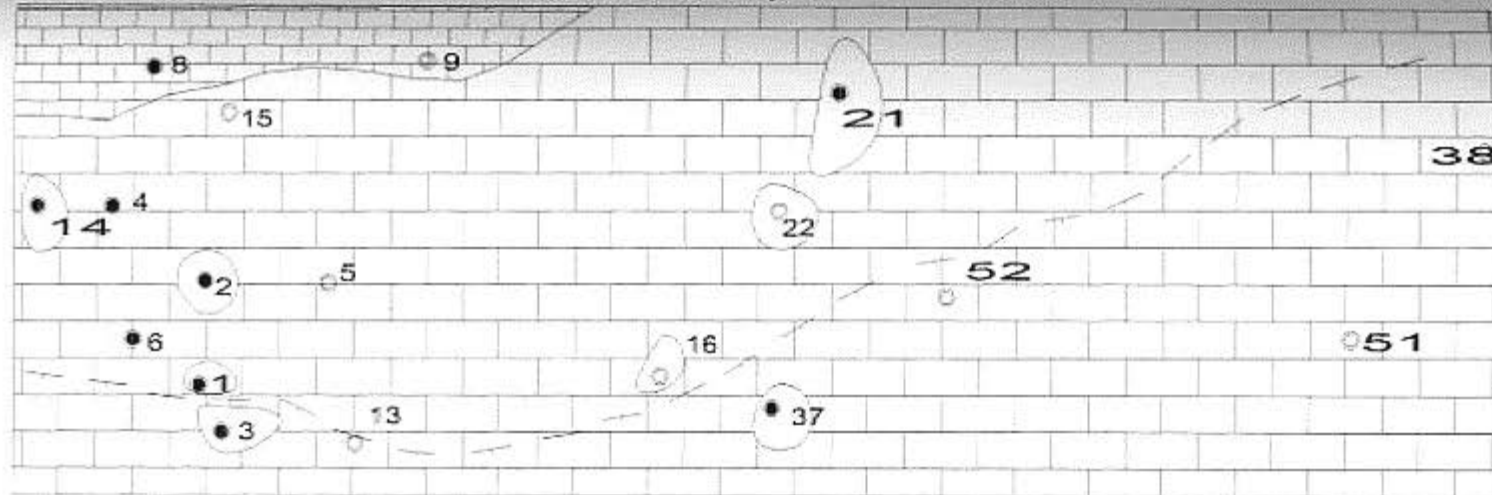
Стиллолиты - трещины растворения - часто заполнены битумом или нефтью, повышают проницаемость пород.

**Часть 4. Палеогеографические условия карбонатонакопления
в бийско-афонинское время на территории юго-запада
Оренбуржья.**

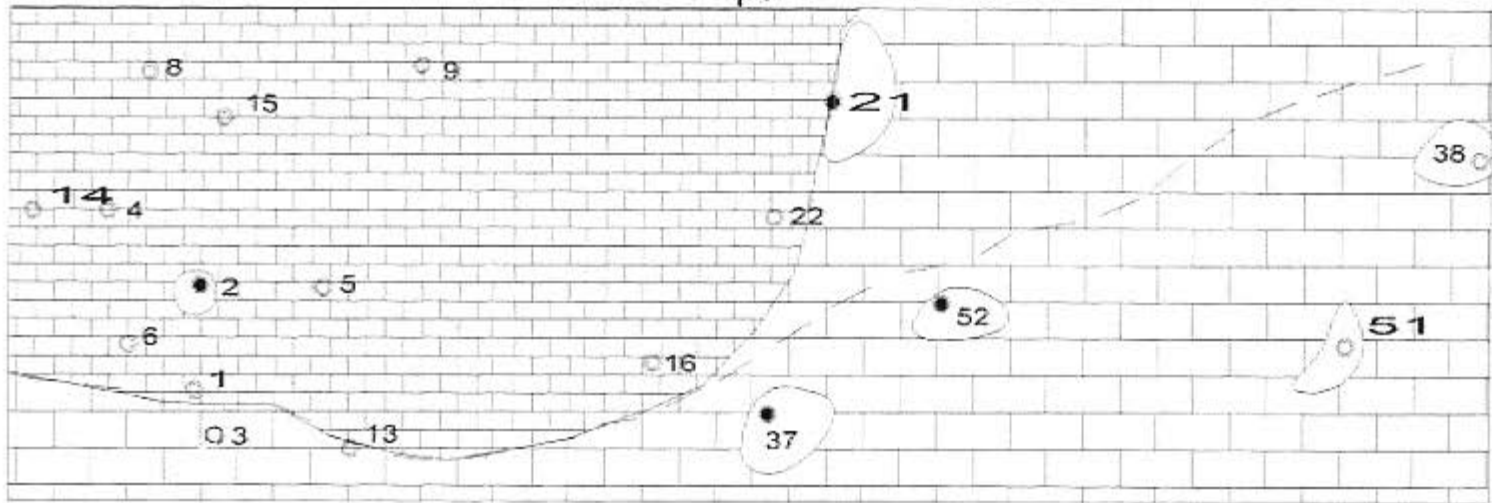
4.1. Факторы, влияющие на палеогеографическую зональность.

При трансгрессии, начавшейся в койвенское время с юго-востока, море постепенно заполняло наиболее пониженные участки палеорельефа, поступая по каналам и впадинам между поднятиями. В прогибах между поднятиями накапливались тонкослоистые карбонатные илы, переслаивающиеся с биокластическими осадками. При постепенном повышении уровня моря на склонах поднятий возникали условия, благоприятные для роста биогермов. В койвенское и начале бийского времени формировались преимущественно мелководные мшанковые биогермы, приуроченные к пониженным участкам рельефа. В бийское время на Давыдовской площади преимущественно развивались амфипоровые и строматопоровые биогермы (рис.2.2.2). В конце бийского и в афонинское время - период максимальной трансгрессии - распространились коралловые и кораллово-строматопоровые биогермные тела (рис.2.2.3). По направлению на северо-запад от Ливкинской площади к Давыдовской (рис.4.1.1) коралловые биогермы появляются выше по разрезу, что связано, вероятно с более приподнятым положением Давыдовской площади и более поздним достижением глубоководных условий. В каналах между поднятиями формировались тонкослоистые вакстоуны и глинисто-кремнисто-карбонатные мадстоуны (скв.4,13). На некоторых палеоподнятиях, высоты которых находились выше уровня биогермообразования, сохранялись условия мелководного шельфа с фациями криноидных песков и слоистых мелкодетритовых известняков (вакстоунов), не содержащих фрагментов биогермообразователей (например, скв.8, 15, 11, 1). В более позднее афонинское время при достижении уровнем моря критической отметки для биогермообразования на отдельных участках могли формироваться новые биогермы (скв. 14,22), на других - отмечается продолжение роста предыдущих (скв.2, 21), в пониженных участках, находящихся глубже эйфотической зоны, образование биогермов прекратилось и формировались слоистые вакстоуны (скв.4, скв.52). У подножия палеоподнятий накапливалась грубообломочная кластика с разрушающихся биогермных построек. Таким образом, размещение зон биогермов контролировалось двумя факторами - направлением трансгрессии и палеорельефом морского дна (рис. 4.1.2). При поднятии уровня моря биогермы смешались в сторону мелководья.

Афонинское время



Бийское время



- | | |
|-----|--|
| 1 | |
| 2 | |
| 3 | |
| 4 | |
| a б | |

Рис. 4.1.1 Схема палеогеографической зональности для бийского и афонинского горизонтов Давыдовской и Ливкинской площадей: 1- зона мелководного шельфа, 2- зона глубоководного шельфа, 3- коралловые биогермы, 4- тектонические нарушения, 5- скважины: а- нефтеносные, б- водоносные.

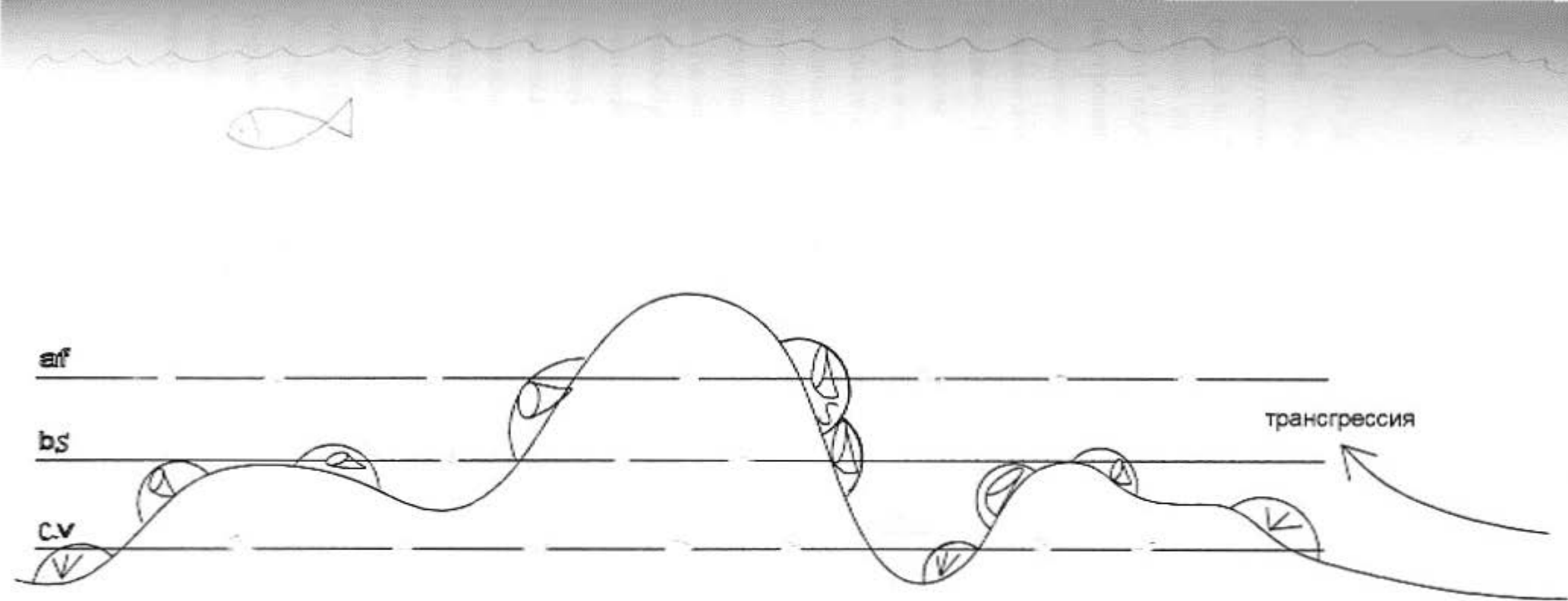


Рис.4.1.1 Схема-модель изменения положения эйфотической зоны (пунктирные линии) и смещения позиций роста биогермов относительно рельефа морского дна в койвенское (cv), бийское (bs) и афонинское (af) время.

4.2. Характеристика фауниальных зон Давыдовской и Ливкинской площадей.

На Давыдовской площади в бийском горизонте (рис.2.2.2) распространены фации мелководного шельфа - криноидно-биокластические вакстоуны-гнейстоуны с прослойами амфиборовых и строматопоровых известняков (рис.2.2.6, 2.2.7). В афонинском горизонте (рис. 2.2.3) в направлении с юго-востока на северо-запад (от скв.16 к скв. 1,4,15,8) наблюдается переход от обстановки глубоководного (или внешнего) шельфа к обстановке мелководного (внутреннего) шельфа. В средней части площади (скв.2, 15) располагаются зоны кораллово-амфиборово-строматопоровых биогермов, включающие предположительные зоны роста построек и зоны шлейфа, представленные грубообломочными фациями. Поскольку рост колоний организмов сопровождается их разрушением, разносом и переотложением биокластики, то мощность биогермных прослоев невелика и сопоставима с мощностью переотложенного материала. В южной части площади (в скв.3, 17, 16, 13) распространены, в основном, обломочные фации передовых склонов рифов или биогермов, содержащие обломки кораллов, амфибор, строматопор в доломитизированном тонкослоистом матриксе. Эта зона соответствует глубоководному шельфу. Севернее располагаются зоны биогермов. Точное положение собственно биогермных построек трудно диагностировать. Зона биогермообразования определяется по частоте встречаемости фрагментов рифообразователей в образцах, их ассоциации с другими породами. В скв.11 в низах афонинского горизонта развиты маломощные прослои мшанковых и амфиборовых биогермных известняков среди криноидных вак-пакстоунов. Эта зона, по-видимому, занимала более возвышенный участок рельефа, здесь развиты более мелководные фации. В скв. 4, 2712, 1 и 5 прослои биогермных амфиборовых и строматопоровых известняков отмечаются в бийском и начале афонинского горизонтов, в скв.2, 2707, 15 - как в бийском, так и афонинском горизонтах. В данном случае биогермы, вероятно, приурочены к склонам и подножиям поднятой палеорельефа морского дна. В скв. 4, 2712, 6, 13 биогермные прослои (stromatoporовые известняки в основании бийского горизонта, амфиборовые - в основании афонинского) перекрываются глубоководными осадками, представленными темно-серыми битуминозными тонкослоистыми кремнисто-глинистыми

карбонатными породами, содержащими спикулы губок, что говорит о подавлении роста биогермов при повышении уровня моря и формировании в этой зоне отложений межбиогермного прогиба или пролива. В северной части площади (скв.8, 9) биогермные мшанковые реже -коралловые прослои наблюдаются только в основании бийских слоев. Выше по разрезу отмечается переслаивание тонкослоистых вак-пакстоунов с прослойми криноидных песков мелководья.

На Ливкинской площади формирование кораллово-строматопоровых биогермов началось раньше - в бийское время (скв.38), прослой кораллового известняка установлен на границе бийских и койвенских слоев в скв.51. В направлении с юго-востока на северо-запад от скв.38 к скв.21 (рис.2.4.2) коралловые биогермы появляются выше по разрезу, что говорит о наступлении моря с юго-востока. В скв.21 на границе бийского и афонинского горизонтов наблюдается переслаивание коралловых доломитизированных известняков и черных глинисто-кремнистых мадстоунов, что соответствует глубоководной зоне. В рядом расположенной скв.22 этому уровню соответствует зона брекчирования и доломитизации, коралловые биогермы расположены выше - в средней и верхней части афонинского горизонта. В скв.21 в верхах афонинских карбонатов развиты криноидные вак-пакстоуны мелководной зоны, т.е. в конце афонинского времени трансгрессия идет на убыль, рост биогермов прекращается, формируются пески мелководья в забиогермной зоне. В южной части площади в удаленных скважинах 37 и 38 наблюдаются сходные фации, соответствующие глубоководной части шельфа с отдельными биогермными постройками, сложенные кораллами и амфиорами. В скв.51 (южнее скв.38) кораллы и амфиоры появляются в основании бийских слоев, следовательно, эта зона соответствует наиболее погруженному участку шельфа и глубоководные условия здесь наступили раньше. Характерно появление фрагментов мшанок в составе кварцевых песчаников с карбонатным цементом в койвенских слоях. Это может говорить о начале формирования мелководных мшанковых биогермов на конусах выноса терригенного материала. В афонинском горизонте в скв.51 отмечается прослон окремненных амфиоровых известняков в основании, доломитизированных коралловых известняков в средней части и слоистых остракодовых вакстоунов, не содержащих криноидей, в верхней части горизонта. Набор фаций соответствует зоне глубокого шельфа. Таким образом, на Ливкинской площади как в бийском, так и афонинском горизонте развиты фации глубоководной части шельфа. Крайнее положение занимает скв.21, в которой в

бийском горизонте отмечаются прослои криноидных грейстоунов мелководной зоны шельфа, а на границе бийского и афонинского горизонтов устанавливаются фации глубоководного прогиба (или пролива), в афонинском горизонте - коралловые биогермы, в верхах афонинских слоев наблюдаются мелководные отложения. В скв. 51 отмечается наиболее раннее появление глубоководных фаций коралловых известняков.

4.3. Биофациальная зональность.

Палеогеографическая обстановка определяется и по биофациальной зональности. Основные рифообразующие организмы: мшанки, амфипоры, кораллы, строматопоры неравномерно распределены по площади и разрезу. Мшанки шире распространены в койвенских и в основании бийских слоев, в афонинских отложениях они отмечаются только в скв. 11, на основании чего можно сделать вывод, что в скв. 11 развиты мелководные фации. Амфипоры обычно образуют отдельные прослои, как правило окремненные, представляя собой переотложенные фрагменты в зоне глубоководного межбиогермного прогиба (скв. 4) или в за-биогермной зоне (скв. 15). Кораллы на Давыдовской и Ливкинской площадях являются основными биогермообразователями. Кораллы являются относительно глубоководной фауной, размещающейся на возвышенностях рельефа в зоне глубоководной части шельфа. В направлении с юго-востока на северо-запад от Ливкинской к Давыдовской площади, по-видимому, следуя направлению трансгрессии, коралловые известняки занимают более высокое положение в разрезе, смещаясь из бийских в афонинские отложения. Строматопоры в афонинских отложениях часто встречаются совместно с кораллами, образуя сообщества, отмечается обрастанье кораллов строматопорами. Отдельные прослои строматопоровых известняков наблюдаются в бийских отложениях (скв. 4, 13). В зонах биогермных построек строматопоры формируются преимущественно во фронтальной (обращенной к морю) зоне с высокой гидродинамикой и составляют кластику подножий рифов. Распространение строматопор в обломочных известняках южной части Давыдовской площади (скв. 3, 16) показательно для зоны склона глубоководного шельфа.

Криноиды, остракоды, брахиоподы, фораминиферы распространены почти во всех типах известняков. Отсутствие фрагментов биогермообразователей в криноидно-остракодовых вакстоунах, неравномерно-слоистые структуры, наличие прослоев криноидных грейстоунов и раковин гастропод (рис. 4.3.1) показа-

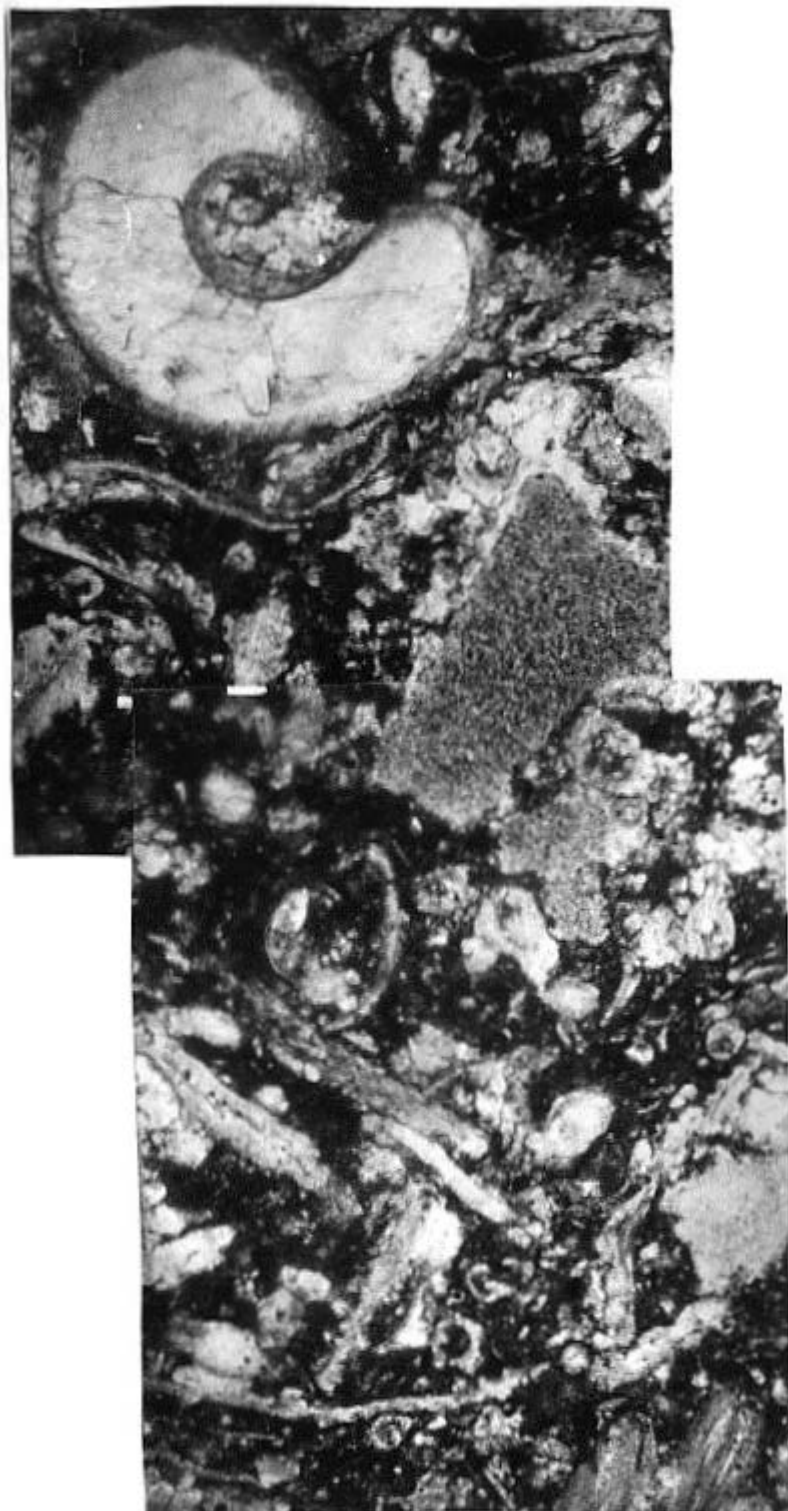


Рис.4.3.1. Пакстоун биокластовый неправильно-слоистый с фрагментами гастропод (светлое вверху), криноидей (серый прямоугольник в центре), остракод, кальцисфер (мелкие кружки, возможно фораминиферы). Афонинский горизонт, Давыдовская площадь. Обр.11/1, скв.11, глубина 4538-4541 м. Шлиф, без анализатора, ув.90.

тельно для зоны мелководного шельфа с проливами и отмелями или барами. Показательно, что в афонинских слоях Ливкинской площади криноиды часто отсутствуют, что указывает на глубоководность.

Присутствие кониконхий и спикул губок является показателем глубоководности отложений (установлены в скв.4, в афонинском горизонте, в скв.9, в скв.13, скв.38, 37 в бийском горизонте).

Данные по распределению биофаций также свидетельствуют о трансгрессии моря с юго-востока и постепенном смещении продуктивных коралловостроматопоровых биогермных фаций с юго-запада на северо-восток и вверх по разрезу из бийского в афонинский горизонт.

4.4. Цикличность карбонатонакопления.

Цикличность осадкообразования бийско-афонинских карбонатов обусловлена трансгрессией и заключается в следующем: при наступлении моря происходит смена мелководных фаций биогермными прослойми и перекрытие последних тонкослоистыми карбонатными илами глубоководной зоны. Цикл состоит из соответствующего набора пород: криноидные вак-пакетоуны перекрываются литокластовыми и биокластовыми рудстоунами и вакстоунами, которые сменяются биогермными амфиорово-строматопоровыми прослойями, перекрывающими, в свою очередь, тонкослоистыми мад-вакстоунами. Мощность цикла составляет около 10м, мощность прослоев отдельных литотипов пород 1-2м (скв.4, 13, рис. 2.1.2, 2.1.7). Повторяемость циклов обусловлена изменением (прерывистым повышением) уровня моря и смещением зон биогермообразования в сторону мелководья. Трансгрессивным макроциклом можно считать смену бийских мелководно-шельфовых фаций афонинскими биогермными и глубоководными отложениями. Микроцикличность проявляется в слоистых биокластовых известняках в чередовании маломощных (доли см -1-2см) слоев вакстоунов, пакстоунов и грейнстуунов, различающихся по размеру кластики. Микроцикличность связана с изменениями гидродинамического режима и волновой деятельностью. В фациях биокластовых известняков отмечаются элементы градационной сортировки, являющейся показателем отложения биокластики течениями (скв.11, обр.11/1; скв.9, обр.9/2) на склонах поднятий морского дна.

4.5. Седиментационная модель

Седиментационная модель формирования отложений может быть представлена в следующем виде (рис.4.5.1): в зоне перехода от карбонатной платформы к глубоководному бассейну в ходе трансгрессии на склонах возвышенностей рельефа дна возникали благоприятные условия для роста мшанковых, коралловых, строматопоровых и амфипоровых построек. Неспокойные гидродинамические условия и относительно быстрый подъем уровня моря в бийско-афонинское время приводили к разрушению и затоплению образовавшихся маломощных рифов и смещению их в более возвышенную и мелководную зону. Море проникало по каналам и проливам между поднятиями, затапливая пониженные участки с уже образовавшимися более мелководными мшанковыми биогермами. На смену мшанковым постройкам приходили более глубоководные коралловые. В бийское время коралловые, амфипоровые и строматопоровые маломощные биогермы формировались в более погруженных зонах шельфа. В афонинское время, следуя ходу трансгрессии, коралловые постройки смещались в сторону мелководного шельфа. При дальнейшей трансгрессии наблюдалось затопление биогермных построек и перекрытие биогермных фаций глубоководно-шельфовыми слоистыми осадками доманикового типа. В конце афонинского времени трансгрессия идет на убыль, в верхах биогермных прослоев появляются мелководные криниондные осадки.

Приведенная схема смены фаций во времени и по латерали в ходе трансгрессивного цикла осадкообразования является иллюстрацией применения закона Головкинского-Вальтера. Причиной трансгрессии в койвенско-эйфельское время могут быть эвстатические колебания уровня моря (Kendal et. al., 1983), охватившие в этот период значительные территории Евроамерийского палеоконтинента, включая Западную Европу и Северную Америку.

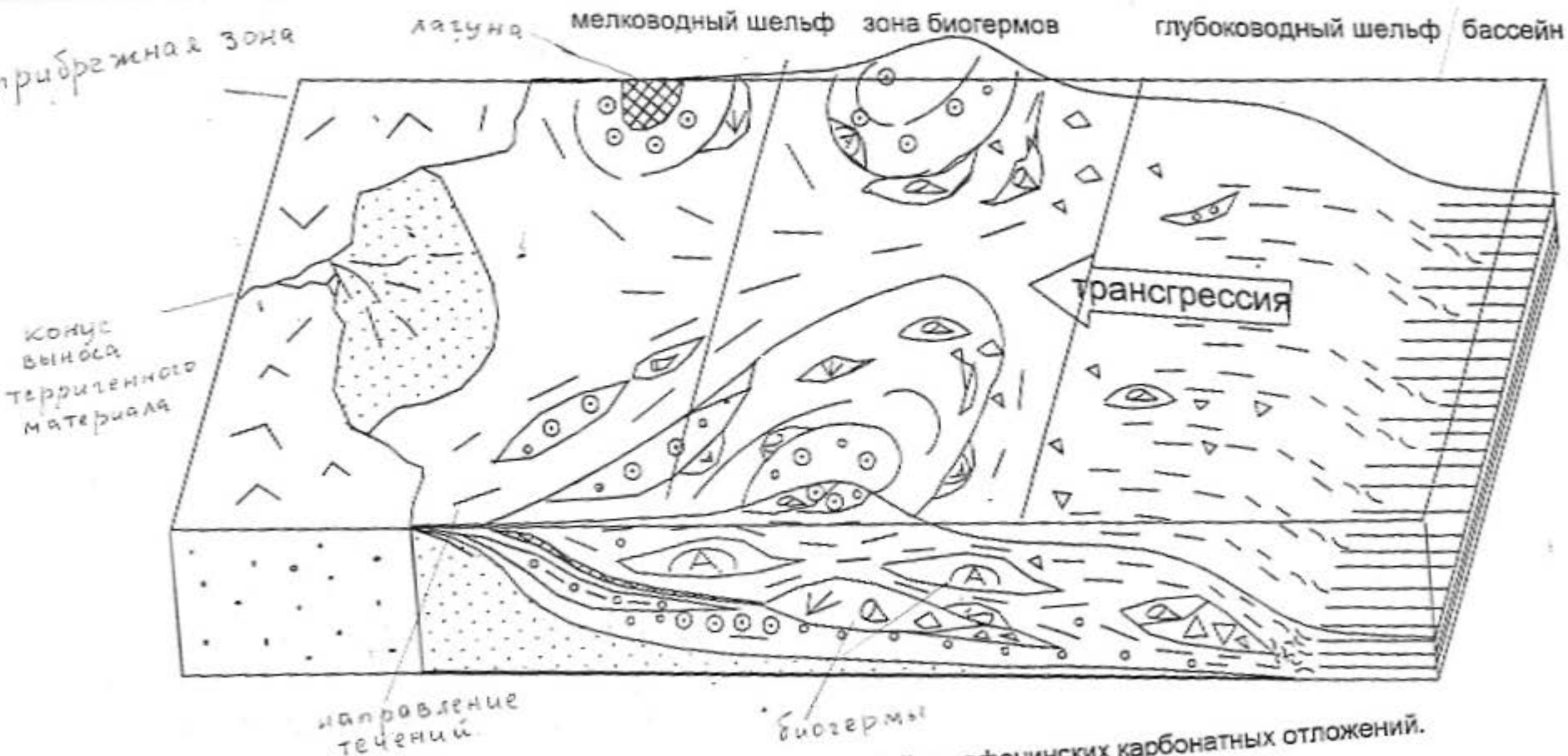


Рис. 4.5.1 Седиментационная модель формирования бийско-афонинских карбонатных отложений.
Условные обозначения см. рис. 2.1.1

Часть 5. Литофациальные и палеогеографические критерии нефтегазоносности бийско-афонинских карбонатов Давыдовской и Ливкинской площадей.

Карбонатные породы рифового генезиса имеют большое значение как потенциальные коллекторы из-за их высокой первичной пористости. Ассоциации рифов, окаймляющие глубоководные бассейны, являются перспективной зоной аккумуляции углеводородов (Уилсон, 1980). Выявление этих рифовых или биогермных зон в составе карбонатных отложений области перехода от полого шельфа к бассейну в северной части Прикаспийской впадины необходимо для прогнозирования перспективных участков.

На основании описания керна скважин, микроскопического изучения шлифов и анализа каротажных диаграмм в составе койвенско-бийско-афонинских карбонатных отложений Ливкинской и Давыдовской площадей выделены три типа фаций: мелководного шельфа, зоны биогермов и глубоководного (или внешнего) шельфа. По литологическому составу каждый из этих типов подразделяется на подтипы.

Фация мелководного шельфа включает отложения спокойных (малоподвижных) вод и подвижных вод, представленные дретитовыми (биокластическими) известняками с различной структурой основной массы. К отложениям подвижных вод отнесены зернистые известняки, обычно криноидные арениты и карбонатные песчаники со спаритовой (кристаллической) основной массой (грейстоуны и пакстоуны), накапливающиеся в каналах, барах и отмелях (рис. 1.3, 1.2). Отложения спокойных вод (впадин на мелководном шельфе) представлены пелитоморфными иламово-дретитовыми известняками (микритовыми вакстоунами (рис.1.1), содержащими обломки криноидей, остракод, брахиопод, мшанок, а также целые раковины остракод и мелкие одиночные кораллы (ругозы). Отмечается неравномерное переслаивание пелитоморфных известняков (вакстоунов) и криноидных грейстоунов, образующих прослон мощностью 1-2 - 10 см в более плотных пелитоморфных известняках . Отдельные прослон в нижней части разреза бийского горизонта и койвенские слои содержат терригенную примесь кварцевого песка, свидетельствующую об условиях открытого шельфа и наличии конусов выноса терригенного материала. На каротажной диаграмме отложения мелководного шельфа, представленные переслаиванием грейстоунов и вакстоунов, выглядят как чередование высоких и низких пиков, показывающих

переслаивание плотных (вакстоунов) и пористых (грейнстоунов) прослоев небольшой мощности. Такой тип разреза характерен для бийского горизонта (рис.2.1.2, 2.1.3) и афонинских отложений северной части Давыдовской площади (скв.8, 9). Вторичные процессы осложняют вид каротажных кривых - зоны доломитизации и перекристаллизации проявляются в виде спадов плотности (рис.2.1.1), что связано с их высокой пористостью. Окременные породы, независимо от их первичной природы, проявляются как плотные прослои (рис.2.3.2).

Биогермные фации представлены обломочными отложениями склона, околобиогермной зоны или шлейфа (рудстоуны) и собственно биогермными постройками. Положение биогермной постройки (рифа) предполагается по преобладанию того или иного вида рифообразующей фауны: кораллов, строматопор, мшанок и амфиопор, наличию структур обрастания кораллов строматопорами или амфиопорами, комковато-сгустковой структуре матрикса, крустификационными (радиально-лучистыми) структурами кальцита, выполняющего ячейки и полости в коралах, амфиопорах. На каротажных диаграммах прослои биогермных известняков выделяются по характерным пикам низкой плотности, низкой гамма-активности и имеют мощность от 1-2м до 10м (рис.2.1.4, 2.1.5, 2.3.1). Как правило, коралловые биогермные известняки интенсивно доломитизированы, доломит развит и по основной массе, и по стенкам кораллов, выполняет прожилки и трещины, степень доломитизации составляет от 30 до 80%. За счет доломитизации пористость биогермных прослоев повышается. Биогермные зоны включают также зоны развития околобиогермных обломочных известняков (рудстоунов), в которых крупные фрагменты смешанной рифовой фауны (обломки кораллов, мшанок, амфиопор, строматопор размером от 0,5-1см до 2-3см) и литокласты (обломки вакстоунов) находятся в тонко-слоистом микритовом матриксе. На каротажных диаграммах в этом случае наблюдается переслаивание плотных и пористых прослоев (рис.2.1.2).

Биогермные фации являются более глубоководными и располагаются мористее шельфовых. Смена слоистых шельфовых криноидно-биокластовых известняков бийского горизонта биогермными афонинского горизонта отражает наступление морской трансгрессии и проявляется на каротажных кривых Давыдовской площади в смене типа графиков (рис.2.1.5, 2.1.4): частое чередование мелких пиков сменяется появлением более крупных пиков пониженной плотности. Как уже отмечалось, доломитизированные прослои выделяются на каротажных

кривых отдельными пиками низкой плотности, которые могут ассоциировать с положением биогермных зон. Широко развитое окремнение в коралловых и амфипоровых известняках уменьшает их пористость. Некоторые прослои амфипоровых известняков нацело замещены кремнеземом и проявляют себя как плотные породы, служащие покрышками для пористых прослоев. Такая картина наблюдается в скв. 4 Давыдовской площади и скв. 38 Ливкинской.

Фации глубоководного шельфа и межбиогермных прогибов представлены пелитоморфными тонкослоистыми глинисто-карbonатными, кремнисто-карbonатными биокластовыми известняками черного цвета с угнетенной фауной - редкими мелкими брахиоподами, спикулами губок и кониконхиями (инфрадоманик). Эти породы встречаются в виде прослоев среди биогермных фаций в бийской (скв.9 Давыдовской) и афонинской части разреза (скв.21 Ливкинской, скв.4 Давыдовской площади). В зонах межбиогермных прогибов отмечаются прослои вакстоунов и грейстоунов с градационной слоистостью, что является показателем отложения конусов выноса, на склоне или подножии поднятой морского дна. Также встречаются прослои переотложенной рифовой фауны (чаще амфиборы, образующие отдельные прослои с субпараллельным расположением фрагментов). На Давыдовской площади фации глубоководного шельфа развиты в афонинском горизонте, на Ливкинской площади - в бийском и афонинском. На Ливкинской площади характерно отсутствие криноидей в большей части отложений афонинского горизонта и более интенсивное окремнение биогермных и слоистых известняков, которое наблюдается наряду с доломитизацией. Эти явления осложняют каротажную картину глубоководных фаций. Как правило, тонкослоистые окремненные известняки и аргиллиты проявляются как плотные прослои и служат покрышками. Повышенная трещиноватость сланцеватых пород может повысить их проницаемость.

Описанные фации распределены по разрезу и латерали следующим образом: на Давыдовской площади (рис. 2.2.2) койвенско-бийские отложения представлены чередованием мелководно-шельфовых биокластовых известняков и биогермных амфипоровых и строматопоровых известняков. Афонинские отложения представлены преимущественно биогермными фациями, с прослойями глубоководных шельфовых и зернистых (криноидных аренитов) тыловой зоны рифов или песков края платформы. В направлении с запада на восток (от 8 к 16 скв.) наблюдается увеличение мощности отложений. На Ливкинской площади в бийском

горизонте коралловые биогермы появляются сначала в основании разреза в юго-восточной части подошвы (скв.38, 51), переслаиваясь с тонкослоистыми вакстоунами и мадстоунами. Затем послой коралловых известняков появляются выше по разрезу - в верхах бийского и в афонинском горизонте (скв.37, 21,22).

Распределение фаций показывает ход трансгрессии - наступление моря с юго-востока и появление коралловых биогермов сначала на Ливкинской площади (в бийское время), затем в наиболее погруженных участках Давыдовской площади (в конце бийского - начале афонинского времени, скв.1,4,2), на склонах предполагаемых палеовозвышенностей в конце афонинского(скв.11,14).

Знание этих особенностей распределения фаций необходимо для понимания закономерностей распределения биогермных прослоев, которые являются основными коллекторами нефти в бийско-афонинских карбонатах Ливкинской и Давыдовской площадей. На Ливкинской площади нефтеносный пласт Д6 в бийских отложениях установлен в скв.21, 37, 52. В скв. 37 нефтеносный пласт Д6, находящийся на глубине 4926-4932м, сложенный доломитизированными на 50% биокластовым брахиоподово -остракодовым вакстоуном глубоководного шельфа перекрыт прослоем окремненного на 80% амфиорового биогермного известняка, являющегося в данном случае покрышкой. В скв. 21 выше нефтеносного пласта Д6 (глубина 4722-4726) залегают коралловые биогермные известняки частично окременные, переслаивающиеся с глинисто-кремнистыми мадстоунами зоны глубоководного межбиогермного прогиба. На Давыдовской площади нефтенасыщенный пласт Д6 наблюдается в скважинах южной части площади (скв. 6, 3) и в скв.2. В скв. 2 согласно макроописанию керна (Макарова и др.,1986) на глубине 4624-4632 м слою Д6 соответствуют кораллово-строматопоровые биогермные известняки, доломитизированные. В афонинском горизонте наблюдаются два нефтеносных пласта - Д5-2 и Д5-1. На Ливкинской площади в скв. 37 пласту Д5-2 (глубина 4904-4906м) соответствует прослой доломитизированных коралловых биогермных известняков(обр.1,2) с пористостью 5-8 до 14%, в скв.21 пласт Д5-2 (глубина 4664-4666м) также представлен доломитизированными коралловыми известняками (обр.11). На Давыдовской площади в скв. 4 пласт Д5 в нижней части афонинских слоев (глубина 4600-4604м) представлен прослоями строматопоровых (обр.3,4,5) и амфиоровых биогермных известняком (обр.518), перекрыт более плотным криноидным слоистым вакстоуном. В скв.3 пласт Д5 (глубина 4707м) сложен доломитизированными на 50-80% обломочными амфиоровыми и строматопоровыми известняками (рудстоуны) зоны шлейфа биогермных построек. В скв.

2 пласт Д5-2 представлен коралловобрахиоподовыми известняками, пласт Д5-1 сложен коралловостроматопоровыми доломитизированными биогермными известняками. В скв. 14 пласт Д5 (глубина 4471-4474 м) представлен криноидным вакстоуном мелководношельфовой зоны и перекристаллизованным известняком, на глубине 4481-4502 установлены доломиты, доломитизированные известняки с прослойми тонкослоистых мадстоунов и коралловые биогермные известняки. В скв. 11: *пористый прослой* на глубине 4540 м представлен доломитизированным биокластовым мшанково-амфиборовым известняком. В скв. 8, расположенной в зоне мелководного шельфа (или в забиогермной зоне), продуктивные слои Д5 приурочены к прослойям литокластовых (обломочных) интенсивно доломитизированных известняков с редкой фауной (остракоды, криноиды, брахиоподы), возможно относящихся к области забиогермной (или надбиогермной) лагуны. В скв. 9, расположенной в зоне мелководного шельфа, водонасыщенны пласт Д5 (глубина 4648-4650 м) сложен криноидным песком (пак-грейнстоуном) отмели (обр. 9/1). В южной части Давыдовской площади в скв. 15, 13, 16 пласт Д5 является водонасыщенным, представлен биокластовыми и литокластовыми амфиборово-криноидными известняками (рудстоунами) зоны склона глубоководного шельфа.

Таким образом, приведенное описание показывает, что нефтеносные пласти Д6 и Д5 сложены пористыми карбонатами следующих фациальных типов: а) доломитизированными коралловыми, строматопоровыми или амфиборовыми известняками биогермной зоны; б) прослойми вторичных доломитов или перекристаллизованных известняков; в) биокластовыми, часто криноидными вакстоунами и пакстоунами зоны мелководного шельфа.

На Давыдовской площади в зоне мелководного шельфа и забиогермной зоне (в скв. 8 бийско-афонинские слои и в скв. 14 верхняя часть афонинских) коллекторами являются вторичные доломиты и перекристаллизованные известняки. Биогермные доломитизированные коралловые и амфиборовые прослои в афонинском горизонте являются нефтеносными в скважинах средней части площади (скв. 1, 2, 4, 3, 6). Прослои крупнообломочных (лито- и биокластовых) известняков окологермной зоны (в скв. 13, 15, 16) и прослои криноидных пакстоунов мелководного шельфа (в скв. 9) являются водонасыщенными.

На Ливкинской площади нефтеносный пласт Д6 представлен вторичными доломитами, возможно по биокластовым известнякам глубоководного шельфа и биогермным коралловым известнякам (как в скв. 38). Нефтеносный пласт Д5 афонинского горизонта сложен доломитизированными на 50-80 % биогермными

коралловыми известняками, образующими прослои небольшой мощности (3-5м) среди плотных тонкослоистых темных, часто окремненных вакстоунов глубоководного шельфа (фации инфрадоманика).

Для образования ловушки необходимым условием является наличие непроницаемой покрышки над пористыми породами. Как на Давыдовской, так и на Ливкинской площади непроницаемыми покрышками служат пелитоморфные тонкослоистые известняки (вакстоуны), формировавшиеся в спокойных гидродинамических условиях - во впадинах и прогибах. Среди них выделяются следующие литофацальные типы: а) плотные мадстоуны и вакстоуны с микритовой основной массой и мелкой фауной остракод, гастропод, криноидей, формировавшихся в зоне впадин мелководного шельфа (скв.14, 4470м, обр.1780; скв.9, 4670м, обр. 4); б) тонкослоистые глинисто-кремнисто-карбонатные мадстоуны (инфрадоманик) с кониконхиями, спикулами губок, редкими брахиоподами, формировавшиеся в межбиогермных прогибах и впадинах глубоководного шельфа (скв.4, 4575м, обр.505; скв.21, 4695м, обр.12); в) окременные биогермные амфиборовые, реже коралловые известняки (скв.37, 4918м, обр.3).

Чередование пористых и плотных карбонатов обусловлено цикличностью осадокообразования. Перекрытие пористого биогермного прослоя плотными мастроунами межбиогермной зоны происходит в случае миграции фаций при изменении уровня моря, в частности при трансгрессии, произошедшей в афонинское время. Поднятие уровня моря приводит к затоплению образовавшихся биогермных постройек и накоплению более глубоководных слоистых карбонатных илов в надбиогермной зоне (рис. 2.2.6) и смещению зон биогермообразования на более возвышенные участки. В случае регрессии, уменьшения уровня моря, наметившегося в конце афонинского времени, биогермные фации, сформировавшиеся на поднятиях, могут перекрываться более мелководными тонкообломочными карбонатными осадками мелководья. Сочетание этих процессов и приводит к образованию перспективных зон.

Процессы постседиментационного изменения карбонатов нарушают и осложняют фациальную закономерность распределения плотных и пористых пород. Большинство продуктивных пластов приурочено к прослойям доломитов, образующихся как по первично пористым биогермным известнякам, так и по слоистым вакстоунам. Следует отметить, что продуктивные прослои вторичных доломитов по слоистым известнякам имеют меньшую мощность. Окремнение прослоев биогермных пород превращает первично пористые известняки в плотные кремнистые

породы, которые могут служить покрышками для продуктивных доломитов. Ассоциация коралловых биогермных известняков и перекрывающих их окремненных прослоев амфипоровых известняков, наблюдавшаяся в скважинах Ливкинской площади (рис.2.4.2) является перспективной для формирования пары коллектор-покрышка.

Исходя из приведенного анализа литофацальной приуроченности продуктивных прослоев можно предложить следующие критерии нефтегазоносности бийско-афонинских карбонатов:

Палеогеографические критерии:

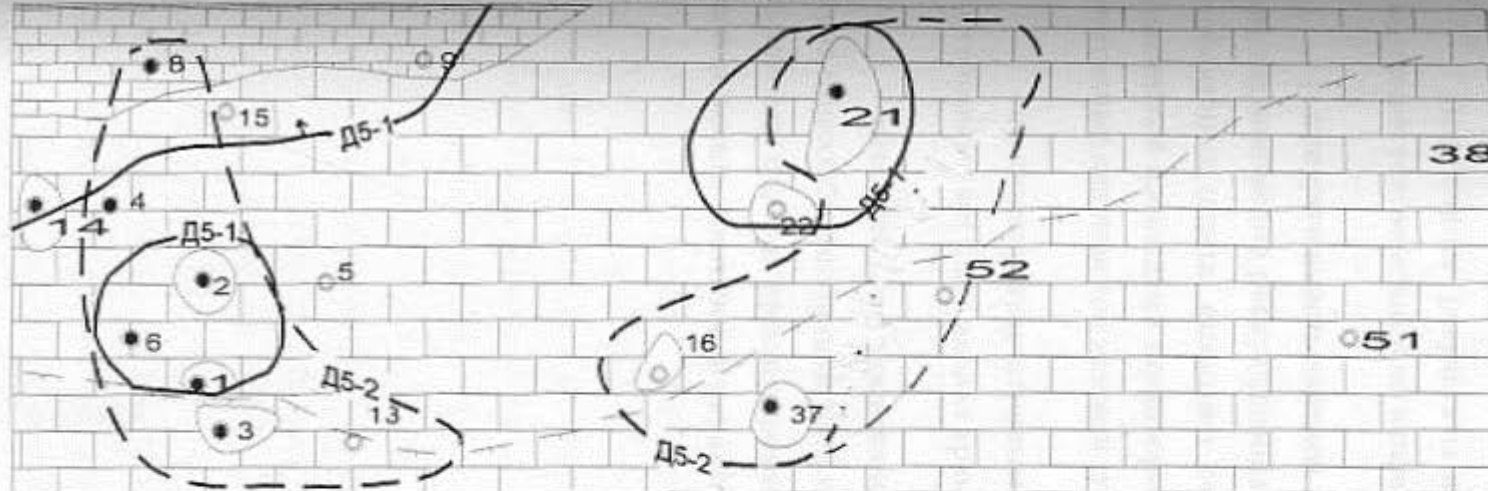
- наличие зон развития биогермов на границе мелководного и глубоководного шельфа,
- закономерная эволюция карбонатонакопления, обусловленная трансгрессивным циклом смены более мелководных фаций более глубоководными, и как следствие, перекрытие биогермных пород отложениями межбиогермных прогибов при поднятии уровня моря,

Литофацальные критерии:

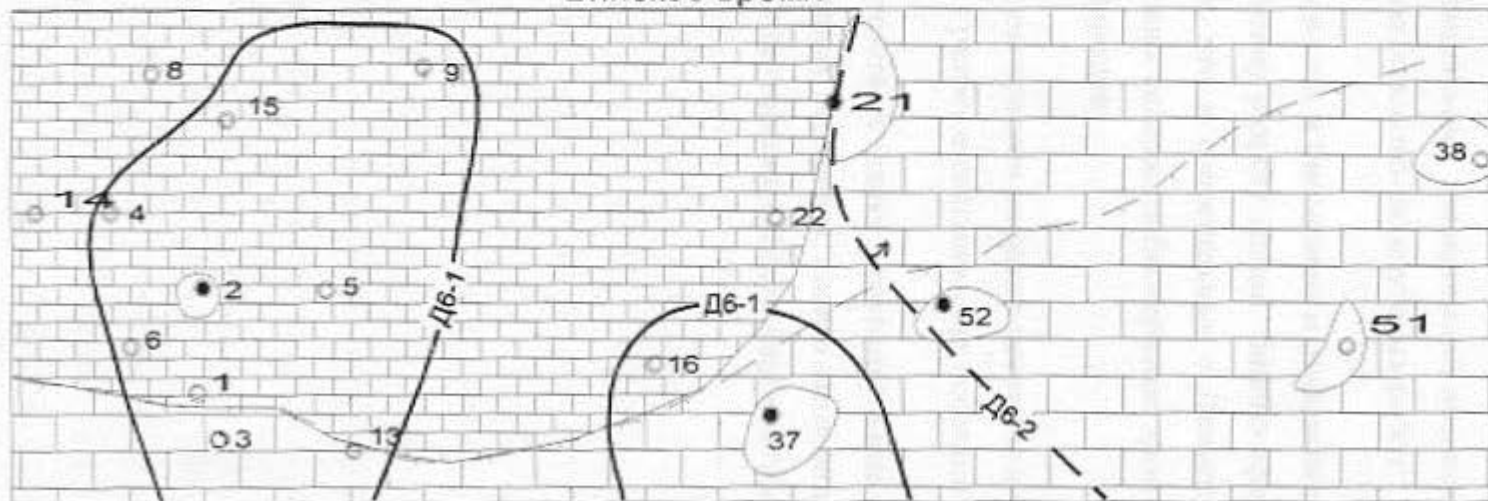
- наличие прослоев биогермных кораллово-строматопорово-амфипоровых известняков, их интенсивная доломитизация,
- наличие прослоев плотных пород -кремнисто-глинисто-карбонатных осадков межбиогермных прогибов,
- вторичная доломитизация вакстоунов и пакстоунов зоны мелководного шельфа,
- наличие прослоев криноидных или оолитовых грейстоунов (карбонатных песков) мелководья.

Прогнозирование перспективных участков должно основываться (наряду со структурными данными) на закономерностях распределения литофаций, определяемое палеогеографической обстановкой и ходом эволюции осадконакопления. Расположение Ливкинской и Давыдовской площадей в зоне перехода от мелководного шельфа к глубоководному определяет перспективность обнаружения биогермных фаций, потенциально благоприятных для образования литологических нефтяных ловушек. Рельеф морского дна, с одной стороны, и направление трансгрессии, с другой, определяли расположение зон биогермов и зон прогибов: биогермные постройки в ходе поднятия уровня моря заселяли все более возвы-

Афонинское время



Бийское время



- | | |
|---|--------------|
| 1 | |
| 2 | |
| 3 | |
| 4 | |
| 5 | a b
● ○ |

Рис.5.1 Схема расположения границ развития пластов-коллекторов Д5-1, Д5-2 афонинского и Д6-1, Д6-2 байского горизонтов на Давыдовской и Ливкинской площадях. Усл. обозн. см. рис.4.1.1.

шенные участки рельефа, смещаюсь по латерали с юго-востока на северо-запад и во времени из бийского горизонта (на Ливкинской площади) в афонинские слои (на Давыдовской). Поэтому на Ливкинской площади в южной части и, возможно, к юго-востоку на обнаружение биогермных зон перспективны бийские отложения, к северу и северо-западу и на Давыдовской площади перспективны афонинские отложения.

Полученные результаты палеофациальных исследований позволяют дать следующие рекомендации по направлению поисково-разведочных работ:

- приуроченность залежей нефти и газа к биогермам и рифовым постройкам, неравномерно распределенным по всему разрезу толщи бийско-афонинских карбонатных пород, позволяет считать, что и сопредельные с Давыдовской и Ливкинскими площадями территории должны содержать биогермные прослои, перспективные для поисков залежей углеводородов;
- наиболее результативным методом поисков рифовых построек и крупных биогермов может быть анализ временных разрезов сейсмических исследований;
- выполненные по описанной в отчете методике литофациальные исследования целесообразно продолжать на соседних площадях, анализ лито-фациальной обстановки с целью прогнозирования коллекторских свойств карбонатных пород должен носить постоянный характер.

Заключение.

На основании изучения кернового материала и каротажных диаграмм по койвенско-бийско-афонинским отложениям 17-ти скважин Давыдовской и 6-ти скважин Ливкинской площадей выделены литофациальные типы коллекторов и определено их распределение по вертикали и латерали. Установлено, что при трансгрессии, начавшейся в койвенское время с юго-востока, море наступало в наиболее пониженные участки рельефа по каналам и прогибам между палеоподнятиями. При постепенном повышении уровня моря на склонах поднятий формировались небольшие биогермные тела или постройки (в местах, где глубина моря достигала эйфотической зоны), в каналах между ними отлагались слоистые карбонатные илы. В начале трансгрессии биогермы формировались в нижней части склонов возвышенностей морского дна (в койвенское и бийское время). Затем при дальнейшем углублении моря зоны биогермов смещались вверх по склонам поднятий (в афонинское время), при этом ранее образовавшиеся биогермы на невысоких поднятиях затапливались и перекрывались плотными слоистыми осадками межбиогермных прогибов. Таким образом, создавалась ассоциация коллектор - покрышка. Зоны биогермов смещались в сторону мелководного шельфа и на вершины палеоподнятий. В койвенское и начале бийского времени формировались преимущественно мишанковые биогермы (более мелководные), в бийское и афонинское время - коралловые-строматопоровые - более глубоководные. На Ливкинской площади относительно глубоководные условия возникли в бийское время, на Давыдовской позднее - в афонинское. На некоторых вершинах палеоподнятий рельефа на Давыдовской площади сохранялась обстановка мелководного шельфа с фациями криноидных песков и слоистых мелкодетритовых известняков. Закономерности распределения карбонатных фаций определяются, таким образом, с одной стороны палеорельефом морского дна, приуроченностью биогермов к склонам и подножиям поднятий, с другой стороны, временем и направлением трансгрессии, постепенным достижением уровнем моря глубины эйфотической зоны в разных участках площади и смещением биогермов вверх по разрезу и в сторону мелководной зоны.

Продуктивные горизонты на Давыдовской и Ливкинской площадях приурочены к прослойям пористых доломитизированных биогермных коралловых, амфиборовых и строматопоровых известняков, реже - к доломитизированным криноидным пескам (грейнстоунам) и перекристаллизованным известнякам.

Плотные породы покрышек представлены слоистыми пелитоморфными известняками (вакстоунами) мелководной зоны шельфа, а также окремненными биогермными, чаще амфиоровыми, известняками и глинисто-карбонатными породами (инфрадоманик) зоны межбиогермных прогибов. Чередование этих фаций в разрезе и смена по площади, обусловленное колебаниями уровня моря, определяет картину распределения коллекторов в исследуемом районе.

Отмечается отличие условий образования биогермных построек в эйфельский этап карбонатонакопления (при формировании толщ "инфрадоманика") и в верхнедевонское время при накоплении доманиковых фаций. Для верхнедевонского карбонатного комплекса характерно значительное увеличение мощности рифогенных отложений, образовавшихся на бортах впадин Камско-Кинельской системы, при этом рост биогермов и рифов происходил на фоне сужения глубоководных прогибов в регressiveную стадию. В бийско-афонинский этап карбонатонакопления формирование биогермов (или одиночных рифов) происходило в зоне полого наклоненного широкого шельфа в период трансгрессии, эйфельские биогермы имеют небольшую мощность, представлены продуктами разрушения построек и перекрываются относительно глубоководными слоистыми кремнисто-глинисто-карбонатными осадками, распределение зон биогермообразования контролируется палеорельефом дна и направлением эйфельской трансгрессии с юго-востока. В разрезе наблюдается переслаивание биогермных пористых известняков и более плотных кремнисто-глинистых осадков, разрезы соседних скважин различаются из-за фациальной изменчивости отложений и пористые прослои могут находиться на разных уровнях, образуя многопластовые залежи.

Критериями нефтегазоносности бийско-афонинских карбонатных отложений являются наличие пористых прослоев доломитизированных на 50-80% преимущественно биогермных (коралловых, строматопоровых и амфиоровых) известняков среди более плотных слоистых биокластовых известняков и перекрытие пористых прослоев более плотными кремнисто-глинисто-карбонатными породами доманикового типа. Благоприятными палеогеографическими условиями образования биогермных зон являются положение между отложениями мелководного и глубоководного шельфа и трансгрессивный цикл осадконакопления.

Литература

Балдин В.Ф. Литолого-фациальные особенности отложений черноярского горизонта эйфельского яруса // Отечественная геология, 1996, № 7, с.52-53.

Брылкин Ю.П., Ващенко В.А., Гущина Н.Е. и др. Опорный разрез Преображенского горизонта // Строение и нефтегазоносность карбонатных резервуаров Сибирской платформы. Новосибирск, 1991, с.59-66.

Ворожбит А.Л., Каледа Г.А., Шарова Н.А. Перспективы поисков неантеклинальных ловушек в южной части Восточно-Оренбургского поднятия // Геология нефти и газа, 1983, № 5, с.28-32.

Геология гигантских месторождений нефти и газа. М.: Мир, 1973. 440с.

Ильин В.Д., Фортунатова Н.К. Методы прогнозирования и поисков нефтегазоносных рифовых комплексов. М.: Недра, 1988. 201с.

Кайдалов В.И., Коновалов В.В., Шендерович Д.М. Изучение палеорельефа досреднедевонской поверхности Оренбургской области с целью выявления зон распространения ловушек неантеклинального типа // Геология нефти и газа, 1982, № 2, с.28-32.

Кленина Л.Н., Зайцева Е.Л. Аллохтонные комплексы палеозойских бентосных фоссилий Прикаспийской синеклизы // Стратиграфия. Геологическая корреляция, 1996, т.4, № 4, с. 15-30.

Королюк И.К. Методы и результаты изучения пермского рифогенного массива Шахтау (Башкирское Приуралье). М.: Наука, 1985. 110с.

Краузе С.Н., Маслов В.А. Об эпигенетических доломитах в нижнедевонских отложениях западного склона Южного Урала // Вопросы геологии восточной окраины Русской платформы и Южного Урала. Уфа, 1959. Вып.4, с.85-89.

Макарова С.П. Литология и фации животских отложений в северной бортовой зоне Прикаспийской впадины // Отечественная геология, 1996, № 6, с.55-56.

Макарова С.П. Основные результаты и задачи лито-фациальных исследований на территории Оренбургской области // геология и разработка нефтяных и газовых месторождений Оренбургской области. Саратов, 1975, с.44-49.

Макарова С.П., Маркова Т.Н., Кирюхина В.П., Архангельская А.Д.
Нижнеэйфельские отложения Оренбургской области // Геология нефти и газа, 1983, № 5, с.52-55.

Макарова С.П., Яхимович И.И. О стратиграфических несогласиях в девонских отложениях в области сочленения Русской плиты, Прикаспийской впадины и Предуральского прогиба // Отечественная геология, 1996, № 7, с.32-34.

Маслов В.А. О природе доломитов в верхнедевонских отложениях на западном склоне Южного Урала // Вопросы геологии восточной окраины Русской платформы и Южного Урала. Уфа, 1959. Вып.4, с.80-84.

Раузер-Черноусова Д.М. Фации верхнекаменноугольных и артинских отложений Стерлитамакско-Ишимбаевского Приуралья: на основе изучения фузулинид. М.: Изд-во АН СССР, 1950. 109с. (Тр.ГИН, Вып. 119).

Сели Р.Ч. Древние обстановки осадконакопления. М.: Наука, 1989. 294с.

Соколов А.Г. Некоторые закономерности изменения скоростей продольных волн в тектонических зонах // Отечественная геология, 1996, № 6, с.39-42.

Страхов И.М. О типах и генезисе доломитовых пород (составление знаний) // Типы доломитовых пород и их генезис. Тр. ГИН АН СССР. Вып. IY, 1956.

Сюндюков А.З. Литология, фации и нефтегазоносность карбонатных отложений Западной Башкирии. М.: Наука, 1975. 174с.

Теодорович Г.И. Литология карбонатных пород палеозоя Урало-Волжской области. М.: Изд-во АН СССР, 1950.

Уилсон Дж.Л. Карбонатные фации в геологической истории. М.: Недра, 1980. 462с.

Фомина Г.В. Перспективы нефтеносности отложений эйфельского яруса на территории Оренбургской области // Отечественная геология, 1996, № 6, с.34-39.

Фортунатова И.К. Генетические типы и седиментационные модели карбонатных отложений // Сов.геология, 1985, с.32-45.

Фролов В.Т. Генетическая типизация морских отложений // М.: Недра, 1984. 242с.

Хворова И.В. Атлас карбонатных пород среднего и верхнего карбона Русской платформы. М.: Изд-во АН СССР, 1958. 170с.

Хворова И.В. Доломиты карбона и морской нижней перми западного склона Южного Урала // Типы доломитовых пород и их генезис. Тр. ГИН АН СССР. Вып. IV, 1956.

Чернова Л.С., Гущина И.Е., Потлович М.М. и др. Седиментационно-емкостная модель преображенского горизонта Верхнечонского месторождения // Строение и нефтегазоносность карбонатных резервуаров Сибирской платформы. Новосибирск, 1991, с.66-81.

Чибрикова Е.В. К вопросу об афонинском горизонте и о границе между эйфельским и живетским ярусами в западной Башкирии // Вопросы геологии восточной окраины Русской платформы и Южного Урала, 1969. Вып.9, с.62-72.

Чувашов Б.М. История развития и биономическая характеристика позднедевонского бассейна на западном склоне Среднего и Южного Урала. М.: Наука, 1968. 132с.

Юнусов М.А. Структурно-фаунистические соотношения стратиграфических комплексов верхнего девона и нижнего карбона северной половины платформенной части Башкирии. Тр. УФНИИ, 1966, вып.15.

Юнусов М.А. Стратиграфия верхнефранских и фаменских отложений платформенной Башкирии // Биостратиграфия и условия образования палеозойских отложений Южного Урала и восточной окраины Русской платформы. Уфа, 1976, с.70-85.

Bouček B. The tentaculites of Bohemia. Praga, 1964. 215p.

Carbonate depositional environments (eds. P.A. Scholle, D.G. Bebout, C.H. Moor). AAPG Memoir 33, 1991. 708p.

Dunham R.J. Classification on carbonate rocks according to depositional texture // Classification of Carbonate Rocks (ed. E.W. Ham). AAPG Memoir 1, 1962, pp.108-121.

Flügel E. Microfacies analysis of limestone. Springer-Verlag Berlin, 1982. 630p.

Folk R.L. Spectral subdivision of limestone types // Classification of carbonate rocks (ed. W.E. Ham). AAPG Memoir 1, p.p. 62-84.

Kendall G.W., Johnson, Brown J.O., Klapper G. Stratigraphy and facies across Lower Devonian-Middle Devonian Boundary, Central Nevada // AAPG Bulletin, 1983, v.67, № 12, p.2199-2207.

Scholle P.A. Carbonate rock constituents textures. Textures, cements, and porosities. AAPG Memoir 27, 1987. 241p.

Taberner C. and Santisteban C. Mixed water dolomitization in a transgressive beach-ridge system, Eocene Catalan Basin, NE Spain // Diagenesis of Sedimentary Sequences (ed. J.D.Marshall)/ Geological Society Special Publication, 1987, № 36, p.p. 123-139.

Taberner C. and Bosence D.W.J. Ecological succession from corals to coralline Algae in Eocene patch reefs, Northern Spain // Paleoalgology: Contemporary research and applications (eds. D.F.Toomey and M.H.Nitecki). Springer-Verlag Berlin Heidelberg, 1985, p.226-236.

Wilson J.L. Carbonate facies in geologic history. Springer-Verlag New York Heidelberg Berlin, 1986. 471p.

Zempolich W.G. and Baker P.A. Experimental and natural mimetic dolomitization of aragonite ooids // Journal of Sedimentary Petrology, v.63, № 4, p.596-606.

Zempolich W.G. The drawning succession in Jurassic carbonates of the Venetian Alps, Italy: A record of supercontinent breakup, gradual eustatic rise, and eutrophication of shallow-water environments // Carbonate Sequence Stratigraphy-Recent Developments and applications: AAPG Memoir № 57, Tulsa, Oklahoma, 1993, p.63-105.

ПРИЛОЖЕНИЕ

Примечания и условные обозначения к таблице описания шлифов:

Название карбонатной породы при микроскопическом описании дано по классификации Р.Данхема (Dunham, 1962), учитывающей количество обломков фауны (детрита) и основной массы:

кадстоун - обломки отсутствуют, основная масса тонкозернистая;
вакстоун - обломки не соприкасаются (плавают в основной массе);
лактоун-грейнстоун - обломки преобладают и соприкасаются;
рудостоун и флаутстоун - обломочные известняки с крупными фрагментами фауны и литокластами,
баундостоун-баффлстоун - органогенные известняки с рифостроителями, находящимися в прижизненном положении.

Мелкие обломки фауны (биокласти) по размерности называются детритом, пелитовой размерности -шламом.

При описании основной массы или цемента приняты названия:
никрит - тонкозернистая карбонатная однородная масса, образованная из карбонатного илистого осадка;
спарит - мелко-, средне-, крупнозернистая структура цемента, состоящего из различных кристаллов кальцита.

Принятые сокращения: т-сер. - темно-серый, св-сер. - светло-серый, б-сер. - буровато-серый, м/з - мелкозернистый, т/з - тонкозернистый, сп/з - среднезернистый, т-слоистый - тонко-слоистый, межзерн. -межзерновая пористость, межкр. - межкристаллическая пористость, тв-дно - твердое дно (поверхность подводного размыва), осн-масса - основная масса, обл. -обломки, п/окат. - полускатанные.

Д - доломит, степень доломитизации в %, определенная методом окрашивания шлифов,

КА - вторичный кальцит средне-зернистый, блоковый или радиально-лучистый (рад.),

П - степень перекристаллизации в %

Ру - пирит,

Si - халцедон

стилл - стиллолиты, == субпараллельно расположенные

Q - кварц в обломках

Описания мицфов куйванско-бийско-афонинских карбонатных пород
по скважинам 11, 9 Даандовской площади.

Даандовская 11

		Микроописание	Фазы	Диагенетиче- ские процессы, преобразова- ние	Порки	Фации
		Макроописание (состав, структура, соотношения зерен и цемента)				
1	4538- 4541	11/1 Известняк т-сер. ср/з криноидный	Тонкослоистый микри- товый депритовый пакстоний	микаки остракоды брехилоды криноиды кальциферы ргосан	стилл II 20%	Мезобиоге- риальная зона
2	--	11/2 Доломитизирован- ный т/з тонко- слоистый извест- няк	Макротонкая -слоистость обусловлена чередовани- ем глинистых прослоев	нет	Д 30% Ру	Мельф лагуна
3	--	11/3 Известняк т-сер. ср/з криноидный	Биокластовый пакстоний с обильным депритом	микаки остракоды брехилоды криноиды актинии стиллолинии	0,3-1мм 5-10%	Забиогер- ная отмель
4	4581- 4586	11/4 Известняк т-сер. и/з криноидный	Биокластовый пакстоний тонкослоистый пробладают криноиды	остракоды брехилоды криноиды	.	Мельф подложная гидродинами- ка
5	--	11/5 Доломитизирован- ный т/з буроато- серый известняк	Вакстоний фауны мало	остракоды кальциферы криноиды	Д>80%	Мельф лагуна застойные условия
6	--	11/6 Известняк серый и/з	Вакстоний фауны мало	остракоды кальциферы брехилоды	Д>50%	Мельф лагуна застойные условия
7	--	11/7 Известняк серый пелитоморфный плотный с криноидами и зелени брехилодами	Биокластовый вакстоний никривоний	остракоды брехилоды криноиды	.	Мельф спокойные воды
8	--	11/8 Доломит бур-сер. и/з	Вакстоний с лягокластами фауны мало	остракоды брехилоды	Д>80% Ру	Мельф лагуна

застойные
условия

4628-	11/9	Известняк т-сер. и/з	Вакстоун микротонкий	криноидей брахиоподы		Шельф спокойные воды
4635						
4635-	11/10	Доломит се-сер. и/з	Доломитизированный биокластовый вакстоун	криноидек остракоды	Д > 80% Поры по членству 2 мм 7-10%	Шельф
4640						
11 -"	11/11	Доломит бур-сер. ср/з	Доломитизированный биокластовый вакстоун	остракоды брахиоподы	Д > 80%	Шельф
11 -"	11/12	Известняк т-сер. и/з криноидный	Вакстоун микротонкий субпараллельно-слож- стый	криноидек брахиоподы	стила П 30%	Шельф спокойные воды
13 -"	11/13	Известняк т-сер. нейтогенеральный	Вакстоун с микротонкой комковато-густковой основной массой и суб- параллельными стилолитами и/з, фауна мало прослоев органогенного доломитизированного известняка	остракоды ишиаки актипоры криноидек брахиоподы	стила П 70%	Межбюгера тв-дно
14 4640-	11/14	Известняк бур-сер. ср/з	Литокластовый густково- микротонкий вакстоун	криноидек брахиоподы остракоды	П 50%	Шельф подвижная гидродинамика
4646						
15 -"	11/15	Известняк т-сер. слоистый сланцеватый	Биокластовый густково- микротонкий вакстоун передование слоистов обогащенных глини- стик веществом	криноидек брахиоподы остракоды	стила Ру	Шельф подвижные воды
16 -"	11/16	Известняк бур-сер. ср/з криноидный	Спаритовый густково- детритовый вакстоун	криноидек брахиоподы остракоды	П 80%	Шельф подвижные воды
17 -"	11/17	Известняк сер., органогенный кораллово- актипоровый	Биокластовый вакстоун микротонкий биогернистая фауна в обломках	актипоры кораллы криноидек брахиоподы остракоды	стила	Биогера мейн или склон
18 -"	11/20	Известняк т-сер. и/з криноидный	Микротонкий-спаритовый вакстоун с обильным детритом	ишиаки кораллы криноидек	П 30%	Межбюгера

брахиоподы
остракоды

19 -"-	11/21	Известник сер. органогенный кораллово- аллитовый	Крупные фрагменты рифостроителей в микрите	актипоры брахиоподы	KA по фауне Ру силь	Биогерм	
20	4646- 4650	11/22	Известник черн. органогенный и/з с криноидами	Крупные фрагменты иранок в раскристаллизованной и/з осн.-массе зерно кварца	иранки криноиды	Ру поры в цементе 0.3мм 3-5%	Биогерм
21 -"-	11/23	Известник т-сер. и/з криноидный	Вакстоун - мелкие обломки створок остракод в т/з осн.-массе-микрите	криноиды остракоды	KA блд- ковый в центре раковин остракод	Чельф 0.3мм 3% воды	Чельф спокойные воды
22 -"-	11/24	Известник т-сер. и/з тонкослоистый	Субпараллельно- ориентированные тонкие створки раковин брахиопод и остракод в микрите	криноиды остракоды брахиоподы Ругозы	Ру в осн.- 0.2мм 3-5%	каверни	Мелбигерм
23 -"-	11/25	Известник т-сер. органогенный пелитоморфный	Вакстоун микритовый брехиоподово-крико- идный детрит и мелкие сплющенные одиночные Ругозы в осн.-к.	криноиды остракоды брахиоподы Ругозы	Ру остракоды брахиоподы Ругозы	в осн.- 0.2мм 3-5%	спокойные воды
24 -"-	11/26	Известник т-сер. и/з криноидный	Вакстоун - мелкие обломки створок остракод в т/з осн.-массе-микрите	криноиды остракоды иранки гастроподы	Ру силь остракоды иранки	Чельф спокойные воды	Чельф спокойные воды
25 -"-	11/27	Известник т-сер. и/з	Вакстоун микритовый	криноиды остракоды			
26 -"-	11/28	Известник т-сер. и/з криноидный	Вакстоун микритовый субпараллельно- слоистый мелкодетритовый	криноиды остракоды иранки	Ру по фауне остракоды иранки	Чельф спокойные воды	Чельф спокойные воды
27 -"-	11/29	Известник т-сер. и/з с мелкими целыми ракови- нами брахиопод	Вакстоун микритовый комковато-стружковый	криноиды брахиоподы остракоды	Ру остракоды	Чельф застойные условия	Чельф
28 -"-	11/30	Известник т-сер.	Вакстоун микрят-спирито-	криноиды	Ру по фауне	Чельф	

и/з
кристалл
и/з
с криноидами
и брахиоподами

ый содержит псамитовые брахиоподы 0-40%
обломки криноидей, остракоды
сгустки

подвижные
воды

29 -" 11/31 Известник т-сер. Субпараллельнослоистый криноидей Ру по фауне Межбюргер
и/з
с криноидами
и брахиоподами
кианит-спаритовый
вакстоун
брехиоподы

30 4681- 11/32 Гранитогнейс кварц+кали+плагиоклаз+
4682 ср/з розово-биотит
серый структура гранобластовая
учасками -пойкилитовая
по плагиоклазу -серцинит
по биотиту - хлорит+магнетит

31 -" -"
То же, но большие хлорита,
ориентированного субпарал-
лельно сланцеватости

Давыдовская 9

Номер	Глубина	Микроописание	Фауна	Диагенетические	Поры	Фация	
		Макроописание (состав, структура, соотношение зерен и цемента)		преобразования	типа, размер, %		
1	4651- 4657	9/1 Известник са-сер. и/з с криноидами	Криноидный спаритовый вакстоун	криноидей остракоды	КА -блоковый по цементу Д 70%	выколки из спарита подвижные 0.3мм	Шельф подвижные воды

2 9/2

3	4663- 4670	9/3 Известник са-сер. с интракластами 1-2 см	Рудстоун доломитизированный слоистый вакстоун содержит светлые литокласти	криноидей остракоды	Д 50%	Склон?
---	---------------	--	---	------------------------	-------	--------

4	-"	9/4 Известник т-сер. pelitomorfnyy	Вакстоун	криноидей остракоды брахиоподы конионихии	стила КА по фауне	поры по фауне	Шельф спокойные воды
---	----	---------------------------------------	----------	--	-------------------------	------------------	----------------------------

5	4670- 4675	9/5 Известник бур-сер. и/з доломитизиро- ванный с желкими брахиоподами	доловитизированный вакстоун фауны мало	криноидей остракоды брахиоподы	Д 50%	по Д 0.1мм	Шельф закрытый застойные усы.
---	---------------	---	--	--------------------------------------	-------	---------------	--

6 4696- 9/6 Доломит са-бур.
Губчатый доломит

Д >80% каверни Биогери

4702	ср/з пористый	средне-кристаллич- еский без реликтов			по Д 1-2 мм 15-20%
7 4702- 9/7	Доломитизиро- ванный к/з известник с брахиоподами	Вакстоун с реликтами фауны	криноиды брахиоподы	Д 70% по осн.-и	по Д 0.5мм 5%
8 -"- 9/8	Известник светлый бур.-сер. к/з	Диссикратовый конкова- то-сгустковый вакстоун фауны хадо, очень мелкие биокласты	остракоды кониковки	КА по остракодам	внутри фауны 0.1мм 3%
9 -"- 9/9	Черный углистый сланцеватый известник к/з с криноидами	Биотурбированный конко- вато-сгустковый биокла- стовый вакстоун концентрические следы ползания червей	остракоды брахиоподы гастроподы	КА по осн.-и. П 30%	внутри фауны 1мм 10%
10 -"- 9/10	Известник б-сер. к/з с КА прохи- ками	Вакстоун	остракоды брахиоподы криноиды	стима КА зрок. П 20%	Мельф
11 -"- 9/11	Известник б-сер. к/з пятнистый	Доломитизированный диссикрат с редкими реликтами криноидей биотурбированный	брахиоподы криноиды	Д 80%	по Д Лагуна
12 -"- 9/12	Черный углистый глинистый сланцеватый пятнистый известник	Вакстоун	криноиды остракоды кальциферы	трещины 0.1мм	Мельф отложение течений
13 4747- 9/13	Известник б-сер. к/з с мелкими цементными брахиоподами	Слоистый микротовый вакстоун	криноиды остракоды кониковки	КА по фа- уне и осн.-и.	Мельф отложение течений
14 -"- 9/14	Известник св-сер. органогенный к/о	Крупный фрагмент коралла в микрите следы червей	кораллы актинии остракоды брахиоподы	КА по фауне	трещины Биогерм
15 -"- 9/15	Известник т-сер. зернистый криноидный аренит	Криноидный пак-грейк- стоун псамитовый обломки криноидей полукатани цемент бурый глини- стый	криноиды	Д 5% 0.3мм 10%	в цементе Отмель
16 -"- 9/16	Известник б-сер.	Крупные обломки	актинии	Д 80%	по Д Межбиогерм

ср/з
органогенный
доломитизированный осн.-массе

рифостроителей
в доломитизирован-

криноидек

17 -" 9/17 Известняк т-сер.,
сернистый
криноидный
аренит Криноидный пак-грейн-
стоун псамитовый
обломки криноидей
полусоглатаны сплющены
структуря слоистая
сланцеватая

криноидек
брахиоподы
Ру
по фауне
0.3мк
10%

18 4752- 9/18 Известняк т-сер.,
4759 ср/з
органогенный Крупный детрит рифо-
строителей в темно-
буром цементе
пактоун

амфибори
криноидек
брахиоподы
железки

КА по

фауне

0.3мк

10%

Отложение
течений

19 -" 9/19 Известняк св-сер.
сланцеватый
и/з Контакт слоистого
никритового темного
пактоуна со стиля
и спиритового пактоуна

амфибори
криноидек
брахиоподы
железки
остракоды

КА по

фауне

0.3мк

10%

Забиогерская
отель

20 -" 9/20 Известняк т-сер.,
пелитокорфный Вактоун конковато-никри-
товый

брахиоподы
конконтакии
Ру
стила
по фауне
0.1мк
3%

Чельф
застойные
воды

21 -" 9/21 Известняк т-сер.,
сланцеватый
слоистый
и/з прослои -0.5мк Контакт слоистого темного
пактоуна с криноидами
и никритового пактоуна
пелитокорфные
прослои -1см

криноидек
остракоды
брахиоподы
остракоды
по
фауне
никротрем-
осс-х.

стила

по

фауне

-

Чельф
никротрем-
осс-х.

22 -" 9/22 Известняк б-сер.,
и/з с криноидами
пористый Криноидный пактоун
о конковато-сгустковой
осн.-к.

криноидек
остракоды
Ру
стила
по цементу
каверны
0.3мк
15%

Чельф
каверны
0.3мк
15%

23 -" 9/23 Известняк сер.,
пелитокорфный
детритовый Вактоун
никритовый

криноидек
остракоды
брахиоподы
Ру вкр.

КА по

фауне и

осн.-к.

Ру вкр.

Чельф
осн.-к.

24 -" 9/24 Известняк сер.,
и/з пористый
органогенный Вактоун - крупный
детрит амфибор в
спирите

амфибори
криноидек
остракоды
ка и по
фауне
15%
Si по
амфиборах
стила
Ру

КА прохил-

по фауне

Биогери

15%

Si по

амфиборах

стила

Ру

25 -" 9/25 Известняк
амфиборовий Крупные фрагменты
амфибор в буром

амфибори
остракоды
КА по фауне поры
по фауне

		кикrite		криноиды		1мк
				бррахиоподы		10%
26 -"- 9/26	Известняк амфипоровый	Крупные фрагменты амфипор и светлый кикrite	амфипоры остракоды	КА по фауне стила		Биогерм
27 -"- 9/27	Известняк т-сер. х/з органический	Крупный и мелкий детрит амфипор пакстоун	амфипоры остракоды криноиды	КА по фауне стила	поры по цементу	Межбиогерм
28 -"- 9/28	Переслаивание сланцеватых черных углисто- глинистых (Зим) и х/з серых (2см) известняков	Вакстоун - в конкаво- сланцеватых сгустковой осн.-массе - тонкий детрит - тонко- стенных раковин остракод и субпараллельно слоистости серно кварца 1мм прямого- льной формы	криноиды остракоды гастроподы водоросли?	КА по фауне Ру	трещины по цементу по фауне	Шельф
29 4758-9/29 4765	Известняк т-сер. вортстый органический	Крупный и мелкий детрит амфипор в конкаво-сгустковой осн.-массе	амфипоры остракоды криноиды	КА по цементу Ру	по цементу по фауне 0,5мк 20%	Межбиогерм
30 -"- 9/30	Переслаивание сланцеватых черных углисто- глинистых (Зим) и х/з серых (2см) известняков	Вакстоун - в конкаво- сланцеватых сгустковой осн.-массе - мелкий детрит амфипор бррахиопод, остракод и конкаво- известняков	криноиды остракоды гастроподы водоросли? бррахиоподы конкавохии тентакулиты	КА по фауне Ру стила	по фауне 0,3мк 10%	Межбиогерм
31 -"- 9/31	Известняк серый пелитоморфный пятнистый	Биогурбированный кастоун, содержит округлые 1x1,5см светлые образования, выполненные криноидами и брахиоподо- выми детритом в спарите	криноиды бррахиоподы остракоды водоросли?	КА по цементу Ру по фауне	Шельф застойные воды	
32 -"- 9/32	Известняк т-сер. сланцеватый с нодуллярной слоистостью	Вакстоун остракодовый в темно-буровой слоистой реке рако- вьев тонкостенных остракод и мелкий детрит	остракоды амфипоры криноиды бррахиоподы водоросли?	КА по фауне Ру		Шельф
33 -"- 9/33	Известняк т-сер. х/з криноидный	Вакстоун остракодовый фауны мало осн.-масса раскристаллизо- вана и состоит из мелких продолговатых кристаллов КА	остракоды криноиды бррахиоподы конкавохии	КА по остракодам и водорослям? Ру		Шельф
34 -"- 9/34	Переслаивание	Вакстоун с раскристалли- зованной	кикаки	КА по	по цементу	Межбиогерм

сланцеватых зований осн.-массой
черных углисто- брахиоподы цементу 1-2 км
глинистых (Эки) водоросли? и фауне 15%

и и/з серых (2сн) Ру

известняков

35	-"	9/35	Известняк т-сер. тонкослоистый криноидный	Мелкий дегрит: обломки раковин остракод, нити водорослей вытянуты вдоль слоистости Кrustификационные корки кальцита - поперек слоистости	остракоды брехиоподы водоросли?	КА в полостях Д 30%	по КА и фауне	Цельф приливно- отливная зона
36	-"	9/36	Известняк б-сер. и/з пористый криноидный	Вакстоун спаритовый	кринокиды остракоды брехиоподы	КА по цементу и фауне	по цементу Цельф и фауне подвижные воды	
37	-"	9/37	Известняк т-сер. органогенный	Обильный мелкий дегрит в микрите	кринокиды остракоды брехиоподы водоросли тентакулиты? шмавки	КА по фауне Ру		Цельф
38	-"	9/38	Известняк т-сер. и/з криноидный	Вакстоун спаритовый дегрит разнообразный осн.-масса раскристаллизованна и состоит из мелких продолговатых кристаллов КА	остракоды кринокиды брехиоподы шмавки гастроподы	КА по остракодах Ру	по фауне	Цельф подвижные воды
39	-"	9/39	Известняк т-сер. и/з криноидный	Вакстоун спаритовый дегрит разнообразный осн.-масса раскристаллизованна и состоит из мелких продолговатых кристаллов КА	остракоды кринокиды брехиоподы шмавки	КА по остракодах Ру	по фауне	Цельф подвижные воды
40	-"	9/40	Известняк т-сер. и/з криноидный	Вакстоун сгустково-микретовый	остракоды кринокиды брехиоподы водоросли?	КА по цементу и фауне	по фауне и цементу	Цельф подвижные воды
41	-"	9/41	Известняк т-сер.	Вакстоун спарит-микретовый	шмавки остракоды кринокиды брехиоподы водоросли?		по фауне	Цельф
42	-"	9/42	Известняк т-сер. и/з криноидный	Пиритизированный	остракоды брехиоподы водоросли? кринокиды	иного Ру по фауне и цементу	по фауне и цементу	Цельф подвижные воды

43	-"-	9/43	Известняк си-сер. пелитоморфный участками раскристаллизованный	Вакстоун сгустково- никривитовый биотурбированый	остракоды гастроподы	КА по фауне Ру	по КА	Мельф застойные воды
44	-"-	9/44	Известняк черный с/з криноидный	Вакстоун криноидный спаритовый	криноидек ианки	КА по цементу	по цементу	Мельф подвижные
45	-"-	9/45	Известняк т-сер. к/з криноидный	Вакстоун криноидный никривитовый	криноидек ианки трилобиты? брахиоподы	КА по цементу	по цементу	Мельф
46	-"-	9/46	Известняк т-сер. пелитоморфный	Вакстоун сгустково- никривитовый	криноидек ианки трилобиты? брахиоподы остракоды амфиборы кальциосферы	КА по цементу	по цементу	Мельф
47	-"-	9/47	Известняк т-сер., к/з криноидный	Вакстоун криноидный никривитовый	криноидек ианки трилобиты? брахиоподы	КА по цементу	по цементу 0.Зки	Мельф
48	-"-	9/48	Известняк т-сер.	Вакстоун никривитовый биотурбированый	криноидек остракоды брахиоподы	КА по фауне Ру	по цементу	Мельф застойные воды
49	-"-	9/49	Известняк черный пелитоморфный с мелкими брахиоподами и криноидиями	Вакстоун с раскристал- лизованной в виде удли- ненных кристаллов оси-и- слонстик	криноидек ианки трилобиты? брахиоподы остракоды	КА по цементу	поры по остракодам	Мельф
50	-"-	9/50	Известняк сер. пелитоморфный	Вакстоун никривитовый	криноидек остракоды брахиоподы ианки трилобиты? конионики	КА по фауне Ру	по цементу	Мельф спокойные воды
51	-"-	9/51	Известняк черный пелитоморфный	Вакстоун с раскристал- лизованной в виде удли- ненных кристаллов оси-и- слонстик	криноидек ианки брахиоподы амфиборы Ругозы	КА по цементу	поры по- 0.Зки 10%	Мельф
52	4763-	9/52	Известняк сер.	Вакстоун криноидный	криноидек	КА по	по КА	Отмель
	4770		с/з	светлый с тонким дотри- то острокод в спарите	остракоды	детриту	0.Зки	
			неправильно		брахиоподы	и цементу		

слюстый
слищеватый

трилобиты? Ру по
фауне

53 -" 9/53 Известняк сер. Пакстоуя криноидный
с/з светлый с тонким детритом
неправильно то остракод в спарите
Слюстый

криноиды КА по по КА Отмель
остракоды детрит 0-3мм
Брахиоподы и цементу
трилобиты? Ру по
фауне

54 -" 9/54 Известняк сер. Вакстоуя спаритовый
к/з содержит мелкий детрит
и редкие зерна кварца
разм.0-3мм

криноиды КА по по КА Мельф
остракоды Ру фауне подвижные
Брахиоподы воды
трилобиты?
изанки

55 -" 9/55 Известняк сер. Вакстоуя спаритовый
к/з содержит мелкий детрит
и редкие зерна кварца
разм.0-3мм

криноиды КА по по КА Мельф
остракоды Ру фауне подвижные
Брахиоподы воды
трилобиты?
изанки
водоросли?

№	Глубина м обр.	Микроисследование (состав, структура, соотношение зерен и цемента)	Фауна	Диагенетиче- ские преобразова- ния	Поры	Рацио

Д А В Ы Д О В С К А Я 3

1	4696-	90/1432	Амфиболовый рудстоун-вакстоун цемент текко-бурый, доломитизация 20%	амфиболы криноиды	Поры-ка- верны 20% склон 0.3-1мм	Биогерк
2	4707	90/842	Доломит -80% рудстоун стромато- поратовый, обломки 0.5-1 мм в буром вакстоуне	stromato- porites	D-80% KA блоко- видный по стромат. D по цем.	поры склон
3	4717	90/848	Доломит 60-70% без фауны		D>80%	поры
4	4731	90/860	Доломит 80%		D>80%	поры
5	4749	90/874	Вакстоун субпарал- лельно слоистый спаритовый	остракоды брахиоподы	D-80%	Чельф застойный

Д А В Ы Д О В С К А Я 4

6	4574	89/505	Карбонатно-глинистый алевролит, субпарал- лельно слоистый, бурый	остракоды сликулы губок	Ру сильн., Si по слик- кузам	Депрессия, отложения течений
7	4575	89/505	Вакстоун т/з, св.бурый субпараллельно кирпо- вильно слоистый с глини- материалом, рудстоун	остракоды сликулы губок	Ру Si по слик- кузам	Депрессия, застойные воды
8	4588	89/509	Вакстоун бурый, микри- товый (дисмикривитовый)	брахио- поды	КА по фауне	Застойные условия, Чельф
9	4590	89/512	Мадстоун-вакстоун биотурбированный, микривитовый, бурый	остракоды следы пол- зания чер- вей	Ру-10%, КА по фауне	Застойные условия Чельф, владина
10	4591,5	89/515	Мадстоун-вакстоун биотурбированный, микривитовый, светлый	брахио- поды, кальци- сфера	Ру	Чельф застойных

11 4604,5	89/517	Вакстоун-пакстоун криноидный, непра- вильно слоистый, св.-бурый	остракоды криноиды тонкие бррахиоподы	стиллолиты КА по фауне	Мельф под- вижный, отложения течений
12 4605	89/518	Вакстоун микротовый с крупными (1 см) амфиболиками	остракоды бррахиоподы и трещинки амфибилии	КА по фауне	Биогерм
13 4605,5	85/519	Микррит св.-бурый, субпараллельно непра- вильно слоистый	остракоды криноиды Ру бррахи- оподы, кон- хионики	стиллолиты	Шельф
14 4606	89/520	Микррит светло-бурый пакстоун-вакстоун	остракоды конхион- ики	КА по фауне	Мельф застойные воды
15 4606,5	89/521	Микррит-дисмикррит пакстоун-вакстоун светло-бурый	мелкие обложки остракод	тонкие трещинки	Застойные условия
16 4656	89/523	Баундстоун	стромато- пораты, бррахиоподы	КА по фауне	Биогерм
17 4657	89/524	Вакстоун-пакстоун неправильно-слоистый уплотненный	криноиды бррахиоподы	стиллолиты трещинки	Мельф, подвижные воды
18 4658	89/525	Рудстоун с литокластами Оба. Иск микротового спаркита, вакстоуна в в буром пакстоуне --.	криноиды бррахиоподы	черная пленка по границам блоков Д - 20%	Склов
19 4659	89/526	Пакстоун криноидный неправильно-слоистый, литокласти (1 см) спари- тowego вакстоуна	амфибилии криноиды	стиллолиты черные	Мельф подвижный или склон
20 4660	89/527	Вакстоун микротовый сгустковый, светло- серый	криноиды бррахиоподы	Ру в трец. КА по фауне стиллолиты Д - 30% по фауне	Мельф застойные воды
21 4675	89/528	Вакстоун спаритовый	остракоды	Д - 50% П 50-80%	Мельф подвижный

22 4676	89/529	Вакстоуи-вакстоун никрите-спаритовый	криоидек остракоды иманки	Д - 30% КА по фауне	Чельф
23 4677	89/530	Вакстоуи-вакстоун напра- зильно слоистый с крупн. биокластами, цефалоподы и кальциферы		остракоды КА блоковый в раковине	Подвижные воды
24 4678	89/531	Вакстоун тенко-бурый, тонко-зернистый	остракоды криоидек бррахиоподы	Д 30% по цементу	Чельф отложения течений
25 4601-5	1	Вакстоун криоидный, никрите-овый, светло-бурый неправильно-слоистый	кристаллы остракоды бррахиоподы кальцифера		Чельф отложения течений
26 4601	2	Вакстоук тонкослоистый, криоидек тенко-бурый, обломки раковин брахиопод коричневые брахиоподы субвари- ативно слоистости;	стромато- поры	Ру сильные поры по обильная фауна	Чельф отложения течений
		градационность по размеру			
27 4602	3	Известняк светлый, - строматопоровый	стромато- поры	КА блоковый поры по фауна	Биогерм
28 4603	4	Известняк светлый, строматопоровый	стромато- поры брахиоподы	КА блоковый поры по фауна	Биогерм
29 4604	5	Известняк светлый, строматопоровый	стромато- поры брахиоподы внутри стро- матопор	КА блоковый поры по фауна	Биогерм
				подость с ромбоздром	
30 4640	6	Микрите биокластовый, светлый	иманки криоидек	КА, стекловидные поры по фауна	Чельф? Биогерм?
31 4641	7	Вакстоун никрите-ый, светлый	иманки криоидек	КА поры	Чельф спокойные
32 4642	8	Вакстоун никрите-ый криоидный, светлый	иманки криоидек брахиоподы	КА по фауне	Чельф спокойные воды
33 4568- 4575	4/24	Вакстоун никрите-ый неправильно-слоистый биокластовый, т-бурый	иманки остракоды брахиоподы	КА по фауне КА в промежу- ках	Чельф спокойные воды

34	4575-	4/23	Вакстоун микротовый неправильно-слоистый биокластовый, св-бурый	криноидек остракоды брахиоподы	КА в прожил- ках ках	Мельф спокойные воды	
35	4558-	89/553	Вакстоун спаритовый комковато-сгустковый	остракоды	КА в прожил- ках	Мельф подвижн.-в. "бичрок"	
36	4563-	89/555	Вакстоун спаритовый комковато-сгустковый (0.2) пеллетовый	остракоды створки брахиоподы	КА по цементу	Мельф бичрок приливно- отливная зона	
37	4568-	89/557	Вакстоун-пакстоун комковато-сгустковый (0.3) спаритовый, пеллетовый	остракоды	КА по цементу	Мельф бичрок приливно- отливная зона	
38	-"-	89/559	Вакстоун спаритовый (0.75) акто- и биокластовый доломитизированный	бррахиоподы для осн. массы	Д 30% П 30% П>50%	Мельф бичрок приливно- отливная зона	
39	-"-	89/562	Вакстоун спаритовый (1.55) одолитовый, комковато- сгустковый, пеллетовый	остракоды бррахиоподы	КА по цементу	поры по КА	Мельф бичрок приливно- отливная зона
40	4575-	89/566	Вакстоун микротовый 4580 (0.6)	криноидек остракоды	КА по фауне	Мельф спокойные воды	
41	-"-	89/565	Вакстоун микротовый (0.3) биокластовый	остракоды		Мельф спок. в.	
42	-"-	89/567	Вакстоун микротовый (0.8) тенно-бурый, неправиль- но-слоистый, хард-граунд по контакту бурого и светлого изв. стекловиты	остракоды криноидек	Д по бурям прослоях 1%	Мельф отложения течений	
43	-"-	89/569	Вакстоун микротовый (1.3) бкотурбированый светло-бурый	остракоды бррахиоподы криноидек форамини- феры?	КА по фауне	Мельф	
44	4524-	89/572	Вакстоун микротовый 4631 (0.05)	криноидек остракоды брахиоподы форамини-	КА в про- жилке 0.2 м	Мельф спокойный	

Феры

45 -"	89/573 (1.25)	Вакстоун криноидный техно-бурый	криноидек	Мельф спокойный
46 -"	89/574 (1.1)	Вакстоун спаритовый субпараллельно тонко- слоистый	криноидек остракоды форамини- феры	стиллолиты с битуком д 20% Мельф течения
47 -"	89/575 (1.45)	Вакстоун субпараллельно слоистый, светлый	криноидек остракоды желкие сфероиды фораминифер	Мельф
48 -"	89/576 (2.2)	Вакстоун микритовый светлый	остракоды криноидек	Мельф
49 -"	89/577 (2.5)	Вакстоун микритовый светлый	остракоды криноидек	Мельф
50 -"	89/578 (2.9)	Вакстоун-пакстоун микри- товый, субпараллельно слоистый, светло-бурый	остракоды криноидек	Мельф
51 4631- 4704 (0.15)	89/579	Дискирт светлый, без фауны, малые сферы фор- минифер(?)	ХА участки	Мельф(?)
52 -"	89/581 (1.0)	Пакстоун спаритовый, солитовый, мелкозернистый, светлый. Округлые брахиоподы остракоды, окатанные мик- ритизированные комочки 0.1-0.3м, сортировка средняя и хорошая, цемент блоковый КА, КА и по круп- ным обломкам фазны	остракоды криноидек бррахиоподы (обломки) подвижной области	Мельф плаг бичрок подвижной области
53 -"	89/582 (1.6)	Дискирт	д > 80% доломит по осн-кассе	Мельф лагуна
54 -"	89/583 (2.2)	Дискирт глинисто-битум- ний, тонко-зернистый, - техно-бурый	спилкулы	Спокойные застойные условия
55 -"	89/585 (3.5)	Дискирт тонкослоистый, спилкулы тонкозернистый, св-бурый губок (глинисто-битумный сланец)форамини- феры	Si по поры форамини- трещины ферам	Застойные условия отк-глубоко- водная впадина

56	4684-	89/586	Вакстоун неправильнослоистый, пятнистый (0.08)	криноидек остракоды конодонты	Рз КА Д-30% по осн. массе	Шельф подвижные
57	-"-	89/587	Вакстоун кальцитовый (0.65)	криноидек остракоды	Рз по фауне КА	Шельф спокойный
58	-"-	89/588	Вакстоун кальцитовый, био- (1.35) каластовый, субпараллельно неправильнослоистый, све- тлый	криноидек остракоды конодонты?	структура раскристалли- зации цемента водоросли?	Шельф спокойный
59	-"-	89/589	Вакстоун кальцитовый, био- (2.0) каластовый, неправильно- слоистый	криноидек остракоды кониконхи?	стекловидны	Шельф спокойный
60	-"-	89/590	Вакстоун кальцитовый, био- (2.47) каластовый, светло-бурый	криноидек остракоды брахиоподы		Шельф спокойный
61	-"-	89/591	Вакстоун кальцитовый (3.2)	криноидек		Шельф
62	-"-	89/592	Вакстоун диакальцитовый (3.75)	криноидек брахиоподы ругозы (?)	КА по фауне	Шельф застойный
63	-"-	89/593	Вакстоун кальцитовый, био- (4.4) каластовый, бурый, мелкие криноидек пеллеты в раскристаллиз- ованной осн. массе.	остракоды		Шельф

ДАВЫДОВСКАЯ 8

64	4469.1-	91/2805	Вакстоун спаритовый, 4475.1 светлый, жёлтый (<1мм) (1.5) детрит фауны	остракоды (створки) брахиоподы пелециподы		Шельф
65	4775.3-	91/2806	Диссикрет светлый 4481.6 (0.1)			
66	4508-	91/2807	Вакстоун спаритовый, 4513.6 светлый (0.3)	криноидек		Шельф
67	4513.9-	91/2808	Рудстоун спаритовый, ли- 4515.7 токластовый, доломитизи- (0.3) рованный	Д - 50%		Склон

58	4539-4-	91/2810 Рудстоун спаритовый, ли-	Д > 80%	Мельф (?)
	4544	токастовый, светлый	по цементу	Скалы
			КА по обломкам	
59	-"-	91/2813 Спарит мелкозернистый,	Д > 80%	Мельф (?)
(1.0)		светлый, без фауны		
70	-"-	91/2816 -"-	-"-	-"-
71	4592-	91/2817 Вакстоун микритовый	остракоды	Мельф
4596-8	(1.5)		(тонк.-створки)	
72	4596-8-	91/2818 Вакстоун микритовый,	криноиды	КА по фауне
4603	(0.9)	светлый, биокласты (или остракоды		спокойный
73	4639-	91/2820 Вакстоун-пакстоун	криноиды	КА по фауне
4645	(2.5)	светлый, биокластовый	гастроподы	и по цементу
			остракоды	неравномерно
			брахиоподы	
74	4645-	91/2823 Вакстоун иланковый с	иланки	КА
4652	(0.1)	раскристаллизованной	криноиды	стилолиты
		основной массой		
75	4652-	91/2825 Песчаник кварцевый, гру-		Пляж
4657	(0.1)	бо-, среднезернистый (>2		дельта
		мм), гранобластовый,		
		кварцитовидный. Зерна		
		сортированы, среднеоката-		
		ны, цемент базально-поро-		
		зный, глинисто-крекийский		
76	-"-	91/2826 -"-	-"-	-"-
(0.4)				
77	-"-	91/2827 -"-	-"-	-"-
(0.7)				
78	4469-1-	91/2849 Дисникрит	КА к Ру в	Застойные
4475-3	(0.35)		прожилке	условия
79	4515-7-	91/2856 Известняк среднезернистый,	Д > 50%	
4521	(0.2)	доломитизированный, светлый		
80	4521-	91/2857 Известняк среднезернистый,	Д > 50%	
4522-8	(0.25)	доломитизированный, светлый		

81 4592-	91/2859	Грейстоун крикоидный; крикоиды 4596.8 цемент техн. обл. зерен острокоды (0.8)	КА по фазам стиллолиты	Мельф подвижный
82 4639-	91/2868	Вакстоун-пакстоун спа- 4645 рит-хиротовый, непра- (4.95) вильнослоистый	крикоиды острекоды брахиоподы	Мельф течение подвижный
83 4645-	91/2873	Песчаник кварцевый, мел- 4652 козернистый, хорошо сор- (4.15) тированный, полукатанный биотурбированный, ощекен- тирован черным битумом		Прибрежная зона
84 -"-	91/2874	Песчаник кварцевый сред- (4.55) незернистый, ср-сортиро- ванный, полукатанный, с КА-цементом порового типа		Прибрежная зона
85 -"-	91/2877	Песчаник кварцевый сред- (6.0) незернистый, гранобласт- овый без цемента	Q+Кварцит Ру < 1мк	Прибрежная зона
86 4654-	91/2879	Песчаник кварцевый сред- 4665 незернистый плотноупако- (2.25) ванный, неяснослоистый, с линзовидным гидроса- дистым цементом		Прибрежная зона
87 -"-	91/2882	Песчаник кварцевый сред- (4.0) незернистый, полукатан- ный, среднесортированный, хл, гидроса. в межзерно- вых промежутках		Прибрежная зона

ДАВИДОВСКАЯ 13

88 4594	89/1235	Контакт известняка мелко- зернистого, раскристали- зованного	КА стиллолиты	Сколок ?
89 4596	89/1236	Вакстоун спаритовый, све- тлый	КА в прожил. Д - 30%	Мельф спокойный
90 4598	89/1238	Спарит светлый	Д > 50% поры по КА	Мельф трещинки
91 4605	89/1243	Спарит среднезернистый, светлый, пористый	Д > 50%	
92 4609	89/1244	Спарит среднезернистый	Ру между	

христ. А

93 4610	89/1245	"	"	
94 4612	89/1246	"	Изв-к пе- рекристал.	
95 4616	89/1250	Вакстоун светлый, кепра- вильнослоистый, комковато- стружковый, частично пе- рекристаллизован	П > 50% КА по ... стиллолиты	Чельф застойный
96 4625	89/1251	Известняк светлый к/зерн., спаритовый, однородный с раковиной цефалоподы ?	КА радикал. ви. раковин и в прох.	Чельф застойный
97 4629	89/1252	Лакстоун? спаритовый кри- коидный, бурый, субвара- льнослоистый		Чельф подвижный
98 4631	89/1253	Спарит жалкоизернистый, нейкослоистый, комкова- то-пеллетный	КА прожил.	Чельф подвижный
99 4632	89/1255	Ладстоун спаритовый, жал- коизернистый, т/слоистый	стиллолиты с битуоком ромб.д	Застойные условия биогеми
		типо?		
		плагиоклаз?		
100 4656	89/1256	Баудстоун коралловый; между фрагментами коралла - цемент как в № 1255	Si по ко- раллу, Q по внеш каенке КА внутри блоковый стиллолиты	Биогеми
101 4669	89/1257	Известняк водорослевый перекристаллизованный	П > 50% КА по фации	Биогеми ?
102 4670	89/1258	Вакстоун биокластовый крикоидек неправильнослоистый возж. водорослевый	П > 50%	Чельф подвижный
103 4682	89/1260	Вакстоун кикритовый, крикоидек биокластовый, неправиль- нослоистый	П < 20% КА по цех и фауне стиллолиты	Чельф спокойный
104 4684	89/1262	Вакстоун биокластовый крикоидек неправильнослоистый	стиллолиты кальцисфера	Чельф спокойный
105 4685-5	89/1264	Контакт светлого, к/з и строматолора КА по цех		Биогеми

бурового микротомных чуков
строматопоры

106 4686	89/1265	Вакстоун микротомный остракоды брахиоподы	КА по фауне	Чельф
107 4687	89/1266	Контакт вакстоуна микри- криноиден то-криноидного и криоид- брахиоподы дного и непр.-слойстого форам-ры лакстоуна	КА по фауне стиллолиты субпаралл.	Чельф
108 4688-5	89/1267	Пак-трейкстоун криноиден- криноиден ый субпараллельнослоист. амфиопоры	стиллолиты тем.-бурне	Чельф подвижный
109 4570- 4580 (0.3)	89/2061	Известняк мелко-среднез., со стиллолитами	П > 80% по стилл.	Чельф
110 -"- (0.5)	89/2062	Вакстоун спаритовый, криноиден биокластовый	П > 80%	Чельф
111 -"- (1.1)	89/2064	Известняк спаритовый, среднезернистый, перекри- сталлизованный	П > 80% контакт КА блокового со стилл.	
112 -"- (1.4)	89/2064	Контакт светлого спарита с > темным микротомик изв. со стилл.	стилл.	
113 -"- (1.65)	89/2066	Спарит мелкозернистый криноиден перекристаллизован полностью	П > 80%	Чельф
114 4580- 4096 (0.2)	89/2068	Известняк спаритовый мел- ко-среднезернистый с про- зрачном блоковом кальцита		
115 -"- (0.7)	89/2070	Вакстоун криноидный микри- товый, перекристаллизован		
116 -"- (1.4)	89/2073	Вакстоун микротомный криноиден остракоды и в прожах. брахиоподы	КА по фауне	Чельф
117 -"- (1.7)	89/2074	Вакстоун спаритовый		
118 -"- 2.3)	89/2076	Вакстоун микротомный, био- криноиден биокластовый, тем.-серый,тон- остракоды козерн., непр.-слойстый брахиоподы спинкули		Чельф застойный
119 -"-	89/2078	Контакт микротомного и спаритового участков	6/9	

3.0)				
120 4600-	89/2079 Спарит среднезернистый,			
4604	КА блоковый			
(0.2)				
121 -"-	89/2083 Вакстоун биокластовый, (1.2) обломочный	КА блоковый по цементу Si - пятна	Чельф подвижный склов	
122 -"-	89/2085 Спарит мелкозернистый (1.7)	остракоды		
123 -"-	89/2086 Дисмикрит (1.85)			
124 -"-	89/2088 Мадстоун черный, слоистый (2.2)	Д 30% Si по амф. КА трещ.	Застойная впадина	
125 -"-	89/2090 Брекчия мелкозернистая, (2.7) пятнистая, трещиноватая	Д > 90% Д - 50% Si - 20%	Метасоматит по брекчии. известняку	
126 -"-	89/2091 Вакстоун черный, слоистый, (2.95) биокластитовый, биотурбированный	Д - 30% Si по фауне КА	Застойная впадина	
127 -"-	89/2092 Спарит среднезернистый, (0.1) перекристаллизованный	КА Si	битум по трещ.	
128 -"-	89/2094 Мадстоун перекристаллизованный, субпараллельно- (0.6) слоистый, спаритовый	Д ?	Чельф	
129 -"-	89/2095 Криноидный вак-пакстоун, (0.75) контакт св. и тем.- участков спаритового блока			Чельф подвижный
130 -"-	89/2096 Спарит. Перекристаллизован- (1.05) ный блок KA и Si' - пятнами			Метасоматит
131 -"-	89/2097 KA по контакту криноидного (1.3) пакстоуна и вакстоуна	Ру сырь	Чельф	
132 4665-	89/2098 Вакстоун кремитовый, био- кремоиден-			Чельф
4675	кальстовый	остракоды брехиоподы имавки		застойный
133 4680-	89/2099 Вак-пакстоун биокластовый криноиден			Чельф
4688	субпараллельнослойистый, плотноупакованный, стилла.			подвижный канал ?

по границам зерен

134 -"	89/2100 (0.3)	Вакстоуки криноидный, микротовый	криноидек брахиоподы	Si по стенк рак. брах. КА по фауне, в прох., Ру	Мельф спокойный
--------	------------------	----------------------------------	----------------------	---	--------------------

ДАВИДОВСКАЯ 15

135 4600-	89/1582 (0.6)	Вакстоуки спаритовый, био- кластовый, непр.-слоистый		КА по фауне D > 80%	Мельф
				Ру - акр-	ть
136 -"	89/1583 (0.6)	Спарит неравномерно пере- кристаллизованный		КА по фауне и в прох.	Мельф
137 -"	89/1584 (0.8)	Вакстоуки биокластовый, непр.-слоистый с субпарал- ельными стиллолитами		перекрист.	Мельф
138 4616-	89/1586 4620 (2.6)	Вак-пакстоуки биокластовый амфибора неправильнослоистый	криноидек ишиаки	КА по фауне	Мельф
					течения
139 -"-	89/1587 (0.7)	Спарит среднезернистый			
140 -"-	89/1590 (2.0)				
141 -"-	89/1595 (3.5)	Известняк амфиболовый перекристаллизованный			Биогерк
142 4680-	89/1597 4688 (0.5)	Вак-пакстоуки биокластовый криноидек тонкослоистый, т-бурый, остракоды очень много детрита		стиллолиты КА по фауне	Мельф владими (течение в заст. час)
143 4681-	89/1600 4688 (1.8)	То же, более крупные биокласти	криноидек остракоды амфибора		Мельф
144 -"-	89/1601 (2.1)	Вак-пакстоуки т-обломочный криноидек волнисто-тонкослоистый, остракоды текко-бурый			Владимир течения кавал
145 -"-	89/1603 (3.0)	Коралл в криноидно-остра- ковом вакстоуке			Биогерк
146 -"-	89/1605 (3.75)	Вак-пакстоуки тонкобиокла- стовый, тонкослоистый, остракоды			Владимир отложения

уплотненный, тензо-бурый

тесечий

147 -"-	89/1606 (4.0)	Вакстоун криноидный, ник- ритовый, св-бурый		Шельф застойный
149 -"-	89/1607 (4.6)	Вакстоун криноидный, ник- криноидей ритовый, св-бурый		Шельф канал
149 4686-	89/1614 4695 (1.4)	Вакстоун криноидный криноидей		Шельф
		спаритовый, светлый		
150 -"-	89/1617 (2.7)	Вак-гнейстостук криноид- криноидей		Шельф откель канал
		ный, хард-граунд		
151 -"-	89/1620 (3.7)	Вакстоун криноидный, криноидей стилолиты непр-слоистый, светлый, КА по фазне		Шельф канал откель
		перекристаллизованный		
152 -"-	89/1621 (4.0)	Вакстоун криноидный, криноидей стилолиты		Шельф
		никритовый	Крупные КА по фазне	
153 -"-	89/1623 (4.9)	Вакстоун криноидный, П > 80% стилолиты		Шельф
		спаритовый, перекристал- откель		
		лизованный		
154 -"-	89/1626 (6.3)	Гнейстостук криноидный, криноидей стилолиты		Шельф
		черный, слоистый	Хард-граунд	откель
				канал
155 4695-	89/1631 4702 (2.2)	Вакстоун криноидный		Шельф
		никритовый		
156 -"-	89/1634 (3.1)	Вакстоун криноидный стилолиты		Шельф
		никритовый, бурый КА по фазне		
157 -"-	89/1636 (3.85)	Контакт светло-криноидно- стилолиты		Шельф
		никритового вакстоуна и		
		тес-бурого т-слоистого		
		криноидного пакстоуна		
		непр-слоистого		
158 4740-	89/1637 4747 (0.05)	Мад-вакстоун никритовый стилолиты		Шельф
		тонкомланиковый, т-бурый		застойные
				условия
159 -"-	89/1638 (0.75)	Вакстоун мелко-детри- трилобиты? Ру по фазне		Шельф
		товый	жильяки	
160 -"-	89/1639 (1.0)	Вакстоун криноидный, спа- стилолиты?		Шельф
		ритовый, мелкозернистый,		

перекристаллизованный

161 -"-	89/1640	Вакстоун криноидно-остра- кодовый	Ру по фауне	Мельф	
(1.2)					
162 -"-	89/1641	Вакстоун криноидный, непр-слоистый с субларал- стиклолитами	Ру по фауне и по стилям хард-граунд	Мельф	
(1.0)					
163 -"-	89/1642	Вакстоун биокластовый (1.95)	и малки криноидех остракоды	Ру по фауне	Мельф
164 -"-	89/1643	Песчаник кварцевый грубо- зернистый, полукатанный без цемента	Ру между зернами	Прибрежная зона	Прибрежная зона
(2.2)					
165 -"-	89/1644	-"-		Прибрежная зона	Прибрежная зона
(2.6)					
166 -"-	89/1645			Прибрежная зона	Прибрежная зона
(2.8)					
167 -"-	89/1647	Песчаник кварцевый, гра- (3.3) нултовый	Ру крист	Прибрежная зона	Прибрежная зона
168 -"-	89/1648	Песчаник кварцевый, жестко- (3.7) зернистый	Ру скопл. 0.7 мм	Прибрежная зона	Прибрежная зона

ДАВИДОВСКАЯ 14

169 4465-	91/75	Пак-вакстоун криноидный, 4474 непр-слоистый, перекрист.		Мельф
4474			$\Pi > 50\%$	
(0.5)			$\Delta - 30\%$	
			стила с Ру	
170 -"-	91/78	КА по пак-вакстоуну (0.5) неправильно-слоистому	остракоды	$\Pi > 50\%$
171 -"-	91/79	Мад-вакстоун (1.5)		Мельф застой
172 4513-	91/82	Вакстоун илкритовий тон- 4519 ко-обломочный, конковато- (0.25) спустковый; оч. мелкий де- трит остракод		Мельф застой
173 -"-	91/83	Вакстоун криноидный спари- (0.6) товый, тонкослоистый, пе- рекристаллизованный, текк.	$\Pi > 50\%$	Мельф течения

174 4519-	91/85	Мад-вакстоун светлый; 4531 тонкослоистый	криноидей остракоды	Рз	Шельф спокойный
(0.35)					
175 -"	91/86	Темный - вакстоун жедко- (1.1) деститовский, непр-слоистый светлый - перекристаллиз- спаритовый		Д > 50%	Шельф
176 4516-	91/105	Дисникрхт темный, тонкос- 4582 лоистый, без фауны			Владимир
(0.7)					
177 4582-	91/109	Вакстоун микривитовый 4589 неправильнослоистый	криноидей жилки	стиллолиты	Шельф спокойный
(0.1)					
178 -"-	91/111	Вакстоун темный, микрито- криноидех- (0.75) вый, биокластовый; стр-ра остракоды осн. массы - конкавато- амфиора сгустковая		стиллолиты КА прох	Шельф застойный
179 4589-	91/115	Вакстоун непр-слоистый, 4597 доломитизированный, био- (0.35) турбированый		Д по ок 50%	Шельф
180 4630-	91/120				
4637					
(0.7)					
181 -"-	91/121	Вак-гнейстоун криптический криноидей (0.9) непр-слоистый, темный остракоды			Шельф подвижный
182 4643-	91/151				
4651					
(1.5)					
183 -"-	91/154	Песчаник кварцевый с ред- (2.45) кими зернами кварцита, среднезернистый			
184 -"-	91/155	Песчаник мелкозернистый (2.8) неокатанный			
185 4643-	91/158	Песчаник среднезернистый 4651 с угловат., неокатанный (3.7) зернами, бурым поровик це- ментом			
186 4651-	91/160	Песчаник средне-грубозери- 4656 хистый, несортированный, (0.45) полускатанный			

187 -" 91/163 Песчаник -"-
(1.5)

188 4658- 91/169 Песчаник мелкозернистый
4664 в связке цементе - Q, каль.
(1.05) Р1 -30%

189 4470.5 90/1780 Вакстоун светлый, конкаво-
тый, перекрystаллизованный

190 4472 90/1783 Вакстоун темный, доломитизированный криптоиден
остракоды по осн. массе
брекчия подиц.

191 4481.5 90/1793 Вакстоун светлый, обломоч-
ный(1 см), спаритовый П > 50%

192 4484 90/1795 Спарит мелкозернистый

193 4499.9 90/1802 Мадстоун спаритовый, мел-
коэзернистый Д > 30%
КА прох.

194 4500.2 90/1803 Доломит мелкозернистый
светлый

195 4500.5 90/1804 Контакт светлого спарита
и вакстоуна темного, неп-
слоистого Ру крист
Д - 50% Мельф

196 4500.5 90/1805 Мадстоун т-бурый, слоистый Владина

197 4501.1 90/1806 Вакстоун конковатый, спа-
ритовый; комочки микрита
0.2-0.3 мм Мельф
Биогерк

198 90/1806 Мадстоун тонкослоистый,
аналогичный 1805 Владина
застой

199 4501.4 90/1807 Светлый коралл 1 см Биогерк

200 4501.7 90/1808 Светлый коралл, крупн. ра-
диальный КА внутри полости Биогерк

201 90/1808 Известняк коралловый
светлый с радиально-
лучистым Ка внутри коралла Биогерк

202 4625- 80/1540 Обрастание коралла
4626 строекатопорой
(0.1) Биогерк

203	-	80/1541 Вакстоун бурый, микрито-		Д - 30%	Биогерм
(0.5)		вий, аналог матрикса в			
		обр. 1540			
204	4679-	80/1542 Пак-гнейстоун криноидный			Мельф
4682		непр-слоистый, со стилями.			подвижный
(0.3)					
205	-	80/1543 Пакстоун непр-слоистый	криноидек		Мельф
(0.5)			остракоды		подвижный
206	4687-	80/1544 Актипора ? > 2 см			Биогерм
4691					
(0.1)					
207	4736-	80/1548 Вакстоун биотурбированный, комк-сгустковый	следы илледов ?		Мельф
4743			округлой формы		застойный
(0.6)					
208	4743-	80/1550 Вакстоун черный, микритовый, биотурбированный			Мельф
4750					застойный
(0.2)					
209	4817-	80/1553 Рудстоун темный, по центру - некие ромб. дол.		Д - 20%	Скалон
4825				стиллолиты	
(0.3)					
210	-	80/1554 Вакстоун темный, неслоистый	криноидек		Владикав
(1.0)					или Мельф
					застойный
211	-	80/1555 Вакстоун комковато-сгустковый, обломки (<1-2мм	криноидек		Мельф
(1.6)			остракоды		застойный
212	4817-	89/1556 Вакстоун комковато-сгустковый, с крупн. фрагм. 2-3 мм криноидей	криноидек	КА по фауне	Мельф
4625					спокойный
(1.9)					
213	-	89/1557 Песчаник грубообломочный			Прибрежная
(2.8)		кварцитовидный			зона
214	-	89/1558 Песчаник			
(2.9)					
215	4725	89/1528 Рудстоун амфиоровый		стиллолиты	Скалон
				КА рад. по ф.	биогерма
216	4726	89/1529 Вакстоун неправильн. с крупн. >1 см обломки, брахиопод	криноидек	стиллолиты	Скалон
				КА по фауне	
217	4728	89/1530 Вакстоун криноидный,			Мельф

СТИЛЛОЛИТНЫЙ

ПОДВИЖНЫЙ

218 4732	89/1333	Вакстоун криноидный светлый		Мельф
219 4742	89/1334	Вакстоун криноидный, слоистый, тонкообломочный	Д > 80% АФИПОРИ	Мельф застойный
220 4744	89/1336	Вак-пакстоун биокластовый криноидей слоистый	КА по фауне	Мельф подвижный
221 4746	89/1337	Вак-пакстоун крупнобиокластовый с килкой 2 мм Д вкрест слоистости		Мельф
222 4748	89/1339	Вакстоун со стиллолитами	СТИЛЛОЛИТЫ Д > 50%	
223 4749	89/1340	Пакстоун криноидный, непр-слоистый, спаритовый	Д - 50%	Мельф подвижный
224 4756	89/1241	Известняк слоистый, строматолитовидный	Д > 50% ромбы Д по осн. масс	Мельф
225 4757	89/1342	Вакстоун криноидный, спаритовый	Д - 30%	Мельф
226 4761	89/1345	Вакстоун криноидный, брекчированный, обл. 0.5-1 мм, кохеквато-сгустковый, мелк. ромб. Д по цементу	Д > 50%	Мельф застойный
227 4792	89/1346	Пакстоун криноидный, в обл. коралли или амфипора, п/окат.	СТИЛЛОЛИТЫ с битумом КА по фауне	Мельф подвижный нейтрогерик
228 4793	89/1347	Вакстоун криноидный, кохекватый, слоистый, светлый	криноидей остракоды брахиоподы пелециподы	Мельф застойный
229 1348	89/4794	Вакстоун криноидный бурый криноидей биотурбированный	СТИЛЛОЛИТЫ остракоды брахиоподы жмакки	Мельф застойный

231 -*-	92/635 (1.15)	Песчаник кварцевый, гру- бозернистый			
232 4705	92/558	Доломит кр/кристаллический зональный, битчи по границе зерен			
233 4707	92/560	Криноидный вакстоун доломитизированный ?	криноиден	Д? КА, Ру	
234 4718	92/569	Рудстоуки обломочный, 2-3 мм. в обломках - вакстоуки	стиллолиты Ру - по гран. зерен		Склон
235 4725	92/573	Рудстоуки обломочный, 1-2 мм в обломках вакстоуки	Ру		Склон
236 4732	92/577	Рудстоуки, в обломках - кораллы амфибории			Склон Биогерка
237 4733	92/580	Известник стронатопоровый, амфиборовый аналог 1544/16 ченект- комковато-сгустковый	КА		Биогерка
238 4744	92/585	Спирит тонкозернистый			
239 4752	92/588	Вакстоуки тонкослоистый тонкозернистый	стиллолиты Ру		

Описание и типы койзенско-байско-афонийских карбонатных пород
по скважинам Ливинской и Давыдовской площадей ИЗ Оренбурья

Нр/Глубина/Н обр.		Микроописание	Фауна	Диагенетические преобразования	Поры	Фация
		(состав, структура, соотношение зерен и цемента)		(тип, размер, форма)	(тип, размер, форма)	

ЛИВИНСКАЯ 37

1	4900-	37/1	Доломитизированный известняк буровато-серый, к/з с белыми веточками кораллов 0.5x2 см	Перекристаллизованный микротекстурный вакстоун с редкими кораллами (в дегритово-млакковой основной массе)	кораллы обломки	Д > 25% Ру 0-1 мм П 30%	Межзерн. 0-3 мм < 5%	Биогер. спокойные воды
2	"	37/2	"Губчатый" доломит буровато-серый, к/з с белыми включениями кораллов	Перекристаллизованный микротекстурный вакстоун с редкими доломитизир. обломками кораллов 0.5x0.7 см	кораллы	Д > 50% Ру	Межзерн. 0-3 мм < 10%	Биогер. спокойные воды
3	4911-	37/3	Плотная кремнистая порода черного цв. с серыми трубочками	Окремицелевый известняк (аифилоровий баффстоун) содержит >50% калькарий	аифилоры	Д 1-2% Si > 80%	нет	Биогер. спокойные воды
	4918		Окремицелевый органоген-ний известняк	аифилор 0.5-0.7x0.2 см с фиброзными строениями				
4	4918-	37/4	Доломитизированный известняк темно-серый, т/з	Млаково-дегритовый спаритовый (перекристаллизованный) известняк с обломками остракод и брахиопод (вакстоун)	остракоды брахиоподы	Д 40-50% П > 50%	Межзерн. Мельф < 0.3 мм	спокойные воды
	4925						< 3%	
5	"	37/5	Доломитизированный известняк темно-серый, т/з	Млаково-дегритовый спаритовый (перекристаллизованный) известняк с обломками остракод и брахиопод (вакстоун)	остракоды брахиоподы	Д 50-60% П > 50%	Межзерн. Мельф < 0.3 мм	спокойные воды
							< 3%	
6	4942-	37/6	Пелитокорфный изв. темно-сер., с прожилками кальцита	Млаково-дегритовый микротекстурный изв. (бюрокоритовый вакстоун) с субпараллельной сл-ностью и концентрическими следами червей иловедов (тв. дно)	в обломках Ка по фауне крионидек остракоды аифилоры	Д > 50% Ру	Межзерн. Мельф	подвижные воды
	4948							
7	4948-	37/7	Доломитизированный известняк буровато-	Млаково-дегритовый перекристаллизованный	крионидек Ка	Д > 50% < 0.3 мм	Межзерн. Мельф	
	4953							

		серый, ср/з	изв.		П 50%	< 5%
	37/8	Доломит буро-серый ср/з	Доломит кристаллический с участками микритового изв. с криноидами	криноиды	Д > 80%	Микрекрист. выхолки до 1мм
	37/9	Доломит черный ср/з с белыми прожилками 0.5-1 см	Доломит кристаллический по микритовому вакстоуну		Д > 80%	Микрекрист. Мельф 0.3мм < 5%
10 "	37/10	Известняк буро-то-серый и/з	Шлаково-детритовый перекристаллизованный изв. (биоспаритовый вакстоун) с терригенной приксесью зерен кварца (2 зерна 0.2мм)	криноиды остракоды брахиоподы	КА блоковый П > 50%	Мельф подвижные воды
11 5013- 5020	37/11	Известняк доломитизированный т-серый и/з криноидный	Шлаково-детритовый изв. (спаритовый паксточук) с п/окат. обл. фазами и ройбоздрами Д по осн.кассе	криноиды остракоды брахиоподы кораллы	Д до 30% П > 50% КА	Микрекрист. Мельф и каверны подвижные 0.3-0.5мм воды 5%
12 "	37/12	Известняк доломитизированный т-серый и/з криноидный	Шлаково-детритовый изв. (микритовый вакстоун) перекристаллизованный (ройбоздры Д по осн.кассе)	криноиды остракоды брахиоподы кораллы	Д до 70% П 70% КА СТИЛА	Выхолки Мельф каверны 0.3мм
13 "	37/13	Известняк т-серый детритовый и/з	Шлаково-детритовый изв. (микритовый ваксточук)	остракоды брахиоподы амфибори криноиды	КА П 30% СТИЛА Ру	каверны Мельф спокойные воды
14 "	37/14	Известняк т-серый детритовый и/з	Шлаково-детритовый изв. (микритовый ваксточук)	остракоды брахиоподы амфибори криноиды	КА П 30% СТИЛА	каверны Мельф спокойные воды
15 "	37/15	Известняк доломитизированный т-серый и/з криноидный	Шлаково-детритовый изв. (спаритовый паксточук) п/окат. обл. фазами	криноиды кораллы амфибори остракоды	Д 20% П 30% КА Ру СТИЛА	Мельф подвижные воды
16 "	37/16	Известняк черный т- слоистый органический	Органогенно-обделочный изв. (флюоритоун) с овальными п/окат. фрагментами амфибор в буров глинисто-карб. микритовых цементе	амфибори остракоды кораллы брахиоподы хамаки	Д 10% Si	тонкие трещинки склон

17	"	37/17	Известняк буровато-серый х/з	Шлаково-детритовый изв. (спаритовый паксточк) св/ца	криноидей остракоды брахиоподы кораллы ианки строматопоры	Д 10% КА по фауне Ру силь стила ::	Биогерм нейско-геринная зона
18	"	37/18	Известняк т-серый т- слоистый	Шлаково-детритовый изв. (нейкитовый вак-пак) с конковато-сгустковой осн. массой	остракоды брахиоподы кораллы ианки спикулы	КА по фауне П 30% Ру силь стила ::	Биогерм склон
19	"	37/19	Известняк т-серый х/з	Шлаково-детритовый изв. (бионикитовый вак) с конковато-сгустковой осн. массой и КА по трещинам	криноидей остракоды брахиоподы ианки стила	КА П 50 Ру силь стила	Мельф спокойн условия
20	"	37/20	Известняк т-серый т- слоистый с округлыми включениями 0.5-0.7 см пелитокорного серого известняка	Органогенно-обломочный изв. (фаунасточк) т/ца с овальными п/окат. фрагментами кораллов в буром глинисто-карб-т. нектитовом цементе + редкие зерна Q 0.2мм обрастание криноидей	кораллы ианки криноидей остракоды	Д 10 КА П 30	Биогерм склон ТВ - дно
21	5020-	37/21	Известняк черный с зеркалами скольжения и одиночными кораллами	Коралловый изв. (баундстоун) осн. масса -т-бур. нектит сгустковый	кораллы криноидей брахиоподы остракоды	Ру силь стила :: 0.3мм	внутри Биогерм остаток
22	"	37/22	Известняк т-серый детритовый криноидный пелитокорфный	Органогенно-обломочный изв. (пак-грейнсточк) состоит из п/окат. обл. фауны 0.1мм в х/з осн. массе	криноидей остракоды ианки	Ру силь П 5-7	хаверни Мельф отмель подвижные воды
23	"	37/23	Известняк т-серый детритовый криноидный пелитокорфный х/з	Органогенно-обломочный изв. (пак-грейнсточк) состоит из п/окат. обл. фауны 0.3-0.5мм в х/з осн. массе	криноидей остракоды ианки брахиоподы кальцисфера	Ру силь 0.2мм	хаверни Мельф отмель подвижные воды
24	"	37/24	Известняк светло-серый детритовый криноидный х/з	Органогенно-обломочный изв. (пак-трейнсточк) спаритовый светлый микрослоистый сод-т кошки, сгустки	криноидей остракоды ианки брахиоподы кальцисфера	Ру силь стила :: П 30-50	хаверни Мельф до 0.5мм отмель подвижные воды
25	"	37/25	Известняк черный	Криноидный песчаник	криноидей	Ру силь	хаверни Мельф

		рассланцованный шламовый и/з криноидный	(грейнстоун) сод-т п/окат оба. фации до 1мм в глинисто-карб. ц.	желки бррахиоподы кораллы	стила 7	до 0.5мм подвижные воды
26 "	37/26	Известняк т-серый детритовый т-слоистый	Органогенно-обломочный изв. (флакнстоун) с овальными п/окат. фрагментами амфибол в сгустково-никритовом цементе	амфиболы остракоды кораллы желки	КА П 30-50 Д	каверны Биогерм до 2мм склон
27 "	37/27	Известняк т-серый органогенный	Органогенно-обломочный изв. (флакнстоун) с обл.перекрист.коралло в никритовой осн.массе никрослоистость образование остракод желания	кораллы желки остракоды	КА П 30-50 Д	каверны Биогерм до 2мм склон
28 "	37/28	Известняк т-серый плотный пелитокорфный	Шлаково-детритовый изв.-криноидек (никритовый вакстоун)	остракоды желки бррахиоподы кораллы	КА П 30%	Мельф спокойные воды
29 "	37/29	Известняк т-серый детритовый и/з	Шлаково-детритовый изв.-криноидек (спаритовый вакстоун)	остракоды желки бррахиоподы спикулы	П 30-40% Ру	Мельф подвижные воды
30 "	37/30	Известняк т-серый трещиноватый пелитокорфный	Шлаково-детритовый изв.- (никритовый вакстоун)	криноидек остракоды желки бррахиоподы	П 30% стила	0.2мм Мельф спокойные воды
31 5028- 5034	37/31	Известняк черный, и/з криноидный	Органогенно-обломочный изв. (лак-гнейнстоун) спаритовый никрослоистый сод. п/окат. оба. криноидей в т-бур. никрит, субл. ств. раковин зерно кварца 0.2мм	криноидек остракоды кораллы бррахиоподы		Мельф отмель подвижные воды
32 "	37/32	Известняк черный трещиноватый криноидный пелитокорфный	Шлаково-детритовый изв.- (никритовый вакстоун) с крупной 1.5мм галькой никрита конкавового	риноидек остракоды желки бррахиоподы		каверны 0.3x0.1мм

37/33	Известняк т-серый детритовый к/з	Сгустково-детритовый изв. (спаритозный рак-пак) с ка-проклаками	криноиды остракоды брехнододы	KA Д 30-50% Ру по фазе	Чельф спокойные воды
37/34	Известняк черный т/рассланцованный обломочный	Обломочный изв. сод. обл. разн. и лито- касты 0.1-0.2мк в микрите	кораллы брехнододы извеки	Ру 30% стила	Склон тв-дно
37/35	Известняк т-серый брехнододовый к/з	Детритовый доломитизир. изв. (спаритозный пак)	криноиды остракоды брехнододы	Д 30-50% Д 50%	Чельф подвижные воды
37/36	Известняк т-серый песчанистый к/з киртикохрованный т/слойистый	Детритозный изв. с при- жесы терригенного киртикохрова кварца субп. стилолитах	криноиды остракоды стила	Поры 0.2-0.3мм каверии запечены пириток	Открытый отмель

Л И В К И Н С К А Я 38

№	Глубина м обр.	Макро- описание	Микроописание (состав, структура, соотношение зерен и цемента)	Фазы	Диагенетич- еские стадии, преобразование вания	Поры	Фации
38/1	4960- 4965	Известняк св-серый криноидный к/з	Илаково-детритовый изв. (микритеозный пакстоуа)	криноиды брехнододы кораллы амфибилии	KA Д 30 Ру акр.	внекоралловые из спарита германия зона	Межбло- зона подвижные воды
38/2		Известняк т-серый окремененный коралловый	Органогенный изв. (спаритозный пак)	кораллы брехнододы криноиды остракоды строматолории	Si 20%	KA прох	Склон
38/3		Известняк т-серый криноидный к/з битуминозный сланцеватый с брахнододами Iхлс	Криноидный песок калькарент (грейнстоун) з/окат. криноиды 0.5-1мк в т-буру. внутри раковин я/з буроватый микрите	хриноиды 50 брехнододы остракоды	УА Д	KA	Чельф отмель подвижные воды
38/4		Известняк т-серый криноидный к/з сланцеватый латистый с ходами кальцедон в прослоях	Криноидный калькарент (грейнстоун) з/окат. криноиды 0.5-1мк в т-буру. микрите	хриноиды 50 брехнододы остракоды кораллы извеки строматолории	трецииан 0.5мк каверии	Чельф отмель подвижные воды	

38/5	Известняк т-серый криноидный и/з сланцеватый с зеркалами скольжения	Шлаково-детритовый изв. (никритовый пакстоун) и мицелии	кораллы мицелии строматопоры криноиды брахиоподы остракоды	Ру вкр. Ру внутри фауны	Межбиогеи
38/6	Известняк т-серый сланцеватый и/з пятнистый с ходами илоедов	Шлаково-детритовый изв. (никритовый пакстоун) и мицелии	остракоды криноиды с пеллетами и концентрическими зональными ходами спикулы червей О.Зии	КА Ру	Мельф застойные воды тв-дно
38/7	Известняк буро-серый и/з детритовый доломитизированный	Шлаково-детритовый изв. (никритовый пак-пак) 0.5-1мм в т-бур. доло- нитизир. матрикс	остракоды криноиды брахиоподы кораллы актинии	КА П 20 Д 10-20 стилл.: 0.1-0.5мм	каверны в осн.-массе и по границе зерен никротрец.
38/9	Известняк буро-серый пелитокорф., органогенний коралловый	Органогенный изв. (баундстоун) наполнитель - светлый комковатый никрит с обл. фауны (зак)	кораллы брахиоподы остракоды криноиды	КА П 25 стилл.: 0.5x0.3мм	выколки в спарите 0.5x0.3мм
38/10	Известняк буро-серый пелитокорф., с прожилками ка 0.3мм и/з кав. 0.5мм	Шлаково-детритовый изв. (никритовый пакстоун) содержит кварцевые зерна прослоями криноидного сгустки и п/окат. обл.	криноиды брахиоподы кораллы актинии	КА П 20 Д 5 поры 0.1	каверны 0.3x0.2мм поры 0.1 воды
38/11	Известняк т-серый криноидный и/з	Шлаково-детритовый изв. (никритовый пакстоун) обл. фауны 0.5-1мм в буром никрите	криноиды брахиоподы кораллы мицелии остракоды	Д 20 0.3x0.2	каверни в осн.-массе воды
38/12	Известняк т-серый пелитокорфический	Шлаково-детритовый изв. (никритовый пакстоун) неясно-сгустковый	кораллы брахиоподы остракоды криноиды мицелии	Д 25 КА внутри кораллов	Межбиогеи застойные воды или склон
38/13	Известняк буро-серый пелитокорф., органогенний и/з коралловый	Коралловый изв. (баундстоун) наполнитель - никритовый шлаковый (зак)	кораллы брахиоподы остракоды криноиды мицелии	КА П 10 стилл.: 0.1мм	выколки в спарите 0.1мм никротрец.
38/14	Известняк т-сер., органогенний и/з коралловый	Коралловый изв. (баундстоун) осн.-масса - т-бур.	кораллы брахиоподы остракоды	Д 50-80% КА в коралловых полостях	Биогеи

		доломитизированный	никрит доломитизированный	криноидей		
50	38/15	Иллюстрик т-сер., органогенний и/з коралловый доломитизированный	"Гранитный изв. (баундотуя) никрит-коинкавето- сгустковый, резкий контакт светлого недоло- митиз. и темного доломи- тизированного участков	кораллы Д 30% остракоды КА амфиборы П 30% Ру	микротрециины	Биогерм
51	38/16	Известняк т-серий пелитоморфный с тонкими КА про- жилками	Шлаково-детритовый изв. (никритовый вакстоун) доломитизированный коинкавето-сгустковый	криноидей брехиоподы кораллы жмакки остракоды спикули	Д 20% КА П 30% Ру по остракодам	Мельф застойные воды
52	38/17	Песчанистый изв. ср/з буровато-серый	Кварцевый песчаник с карбонатным цементом зерна Q п/окат 0.5-1.2мм ср/сортированные осн. масса -никритовый шлаковый изв.	криноидей остракоды Ру	КА по фауне Ру	Открытый мельф откель
53 5018- 5025	38/18	Песчанистый изв. ср/з светло-серый	25-30% Q-зерен в никритовом вакстоуне	криноидей остракоды кораллы жмакки	Д 10% Ру	Открытый мельф
54	38/19	Известняк т-сер. органогенний и/з пятнистый криноидный	Криноидный калькарит (грейностоун) п/окат, криноиден 0.5-1мм в т-бур. никрите Субпарал. текстура обрастание жмакок амфиборами	криноидей 50% брехиоподы остракоды кораллы жмакки строматопоры	КА Ру сильн 0.1мм	никрист. подвижные воды
55	38/20	Известняк т-сер., органогенний пелитоморфный с "веточеками" кораллов?	Шлаково-детритовый изв. (никритовый вакстоун) с "веточеками" 0.5мм заполненные светлыми никритами	криноидей остракоды	Ру сильн микротрециины	Биогерм зыколики
56	38/21	Доломит и/з т-серий	Перекристаллизованный доломитизированный изв. шлаково-детритовый	криноидей брехиоподы строматопоры	Д 80% КА П 80%	никрист. Биогерм
57	38/22	Известняк т-сер. органогенний пелитоморфный доломитизированный	Шлаково-детритовый изв. (никритовый вакстоун) с остатками кораллов 1-2 см в т-бур. никрите	кораллы криноидей брехиоподы строматопоры	поры 0.2мм микротрециины	Биогерм склон

		ПЯТИСТЫЙ	ЛО КОТОРОМУ РАЗВИТИ РОИБЭДРИ ДОЛОМИТА	ИЗАНКИ		
58	38/23	Известняк буровато-серый и/з детритовый	Сгустково-детритовый изв. (спаритовый вак-пак) с инкритизированными остракодами обрастане крикоидей изанками	остракоды крикоиды изанки	КА П 30-50 0.2мм 2-3	крист. подвижные воды
59	38/24	Известняк буровато-серый и/з детритовый	Шлаково-детритовый изв. (инкритивный вакстоун) с округлыми и более раскристаллизованными следами червей	остракоды крикоиды изанки кораллы фукоиды	КА Ру	Мезобиогерих тв-дно
60	38/25	Известняк т-серый блокорфий пятнистый	Органогенний изв. (баффастоун) кораллово-изанковый обрастане изанок амфибории	кораллы изанки амфибории крикоиды спикулы	КА	Биогерих
61	38/26	Известняк т-серый пелитокорфий детритовый	Шлаково-детритовый изв. (инкритивный вакстоун) светлый	крикоиды остракоды спикулы	Ру силь	Мезобиогерих зона
62	38/27	Известняк черный пелитокорфий коралловый	Органогенний изв. (баффастоун) коралловый	кораллы крикоиды остракоды спикулы	КА "корской" радиально-лучистый внутри кораллов Ру	крист. 0.2мм 2-3
63	38/29	Известняк т-серый пелитокорфий детритовый	Шлаково-детритовый изв. (инкритивный вакстоун) светлый	крикоиды остракоды изанки кораллы брахиоподы	КА по трец. П 20 Ру	крист. 0.1-0.2мм застойные воды
64	38/30	Известняк т-серый пелитокорфий детритовый с прожилками и трещинами	Шлаково-детритовый изв. (инкритивный вакстоун) светлый	изанки брахиоподы крикоиды кораллы кальцисфери	Ру силь	трещинки каверны 0.3-0.5мм
65	38/31	Известняк т-серый сланцеватый и/з	Контакт светлого изанкового инкрита и т-бур. доломитизир.	изанки кораллы	Ру Д 50 стекло	поры 0.2мм Склон каверны 0.1-0.3мм
66	38/32	Доломит черный с остатками кораллов белого цв.	Коралловый изв. (баффастоун) доломитизированный по осн. массе	кораллы остракоды спикулы	Д 60 КА по кораллу	выколки из А 0.3-0.5мм 5-7

67	38/33	Известняк т-серый пелитокорфный детритовий с прослоем 0.5мк с/з криноидного известняка	Контакт резкий мелкового кихрита и т-бур., криноидного аренита, содеряц. 1 зерно кварца	криноидек кианки кораллы	KA D 20-30 Ру	каверни в осн.-кассе	Мельф подвижные
68	38/34	Известняк т-серый пелитокорфный детритовий	Шлаково-детритовый изв. (кихритовый вакстоун) светлый	кианки брахиоподы криноидек кораллы остракоды	KA D 30 Ру по фации стила.	поры 0.1 в осн.-кассе	Мельф спокойные воды
69	38/35	Известняк черный пелитокорфный	Шлаково-детритовый изв. (кихритовый вакстоун) мало фауны	остракоды криноидек кальцисферы	Ру силь KA	микротрециины	Мельф спокойные воды
70	38/36	Известняк т-серый пелитокорфный	Шлаково-детритовый изв. (кихритовый вакстоун)	остракоды криноидек кальцисферы брахиоподы кораллы	Ру силь KA D 20-30	микротрециины	Мельф спокойные воды
71	38/37	Известняк т-серый пелитокорфный	Шлаково-детритовый изв. (кихритовый вакстоун) мало фауны	остракоды криноидек брахиоподы	Ру силь стила		Мельф
72	38/38	Известняк т-серый сланцеватый и/з	Шлаково-детритовый изв. (кихритовый вакстоун) мало фауны	остракоды криноидек брахиоподы			Мельф
73	38/39	Известняк черный пелитокорфный субпаралл. слоистый	Шлаково-детритовый изв. (кихритовый вакстоун) с прослоем криноидного изв. с зернами кварца	остракоды криноидек			Мельф открытый

ЛИЗКИНСКАЯ 21

№/Глубина/Н обр.	Макроописание	Микроописание	Фауна	Диагенетиче- ские преобразова- ния	Поры	Фация	Мельф
74 4582- 4588	21/1 Известняк черный пелитокорфный	Шлаковый изв. (кихритовый вакстоун) с мелкими 0.2мк обл.фауны	остракоды криноидек кальцисферы брахиоподы кианки	D 10% Ру	ильтер- крист. тицел.	Глубокий спокойные воды	
75 4588-	21/2 Доломит бур.- серый и/з	Вторичный доломит по мелковому изв.	остракоды криноидек	D 80% стила	KA из фауны?		

76	21/3	Известняк т-сер. пелитоморфный с извилистики ка - прожилками	Шламовый изв. микротовый вак	остракоды иланки брахиоподы		каверны в осн. к.	Глубокий мелъ спокойные воды
77	21/4	Известняк т-сер. пелитоморфный	Шламовый изв. микротовый вак	криноидей остракоды иланки		поры каверны 0.3мк	Глубокий мелъ спокойные воды
78	"	21/5	Известняк т-сер. н/з с ка-про- зилками	Микрит-неравномерно- стогутковый с извили- стиками ка-зилками 1мм фауна не сохр.		КА Ру гнезда отвал	каверны 0.2мк в осн. к.
79	21/6	Известняк б-сер. пелитоморфный	Шламово-детритовый изв. (микротовый вакстоун) светлый	остракоды криноидей кальциферы брахиоподы иланки кораллы сликумы пелециподы?	КА	II 30-40%	Мель спокойные воды
4594- 4601	"	21/7	Известняк б-сер. криноидный н/з	Криноидный изв. (лак-вак) 30% криноидей разн. до 2мм в спарите	криноидей брехиоподы остракоды	KA II 50%	микро- трещины подвижные воды
4601- 4609	"	21/8	Известняк б-сер. т-н/з	Субпаралл.-слоистый шлаковий спаритовый изв.(вак) светлый	остракоды брахиоподы кораллы	XA II 50-70%	Мель подвижные воды течения
82	21/9	Известняк б-сер., органогенний пятнистый н/з	Органогенно-обл. изв. с обл. иланок 0.3х1м в доломитиз. микрите (рудстоун)	иланки амфиборы кораллы криноидей		Д 60%	Биогерк склов
83	21/10	Известняк св-сер. пелитоморфный	Шламово-детритовый известняк (микротовый вакстоун)	криноидей иланки		микрист.	Мезбиогерм спокойные воды
84	21/11	Доломит св-серый пористый н/з с кораллами длинной 3-5м, ориентированными субгоризонтально беспорадочно	Вторичный доломит по коралловому изв. (баундстоун)	кораллы	Д 80% Ру вкр.	каверны 0.5м по корал- лам	Биогерк
4666- 4672							

21/12	Известняк черный углисто-глинистый пелитоморфный сланцеватый	Микрят т-бур. глинистый с редкими обл.-фауной 0-2мм	Криоидек жманки брехиоподы спинкули	Ру	каверии Д	Глубокий мелъф
4695-	" 21/13	Известняк сш-сер. пелитоморфный	Шлаковый спаритовый изв.-(зак) светлый с редкими обл.-фауной	Криоидек	П 50-60%	Чельф
4700	" 21/14	Известняк сш-сер. патинистый	Обломочный изв. п/скат. обл.-кораллов литокласти криоидного изв. 1-2см, зерна Q	кораллы криоидек	КА рад. стила Si в корал	Мейбогерн мелъзерн., склон
4700	" 21/15	Известняк сш-сер. органогенний	Коралловый базальточук коралла 1.5x2см/	кораллы	КА Si в корал	хемикрист Биогерн
4700	" 21/16	Известняк т-сер. органогенний криоидный т/з	Органогенно-обл. изв. с п/скат. обл.-кораллов и криоидей 0-7см в спарит-микритовой осн. массе	кораллы криоидек брехиоподы	КА П 60% Si 20% в кораллах стила	Биогерн склон
4700	" 21/17	Известняк черный углисто-глинистый т/з	Глинистый доломитиз. изв. с редкой фауной	остракоды	Д 20%	микротрец. Глубоко- водный мелъф
4695-	4700	" 21/18	Доломит черный углисто-глинистый т/з	Доломитизированный шлаковый изв. с микритовой осн.-к.	остракоды	Д 50-80% каверии трещины
4700	" 21/19	Известняк т-сер. коралловый пелитоморфный	Коралловый изв. (баундстоун) с микритовой осн.-к.	кораллы	Д 5-10% Ру экр. Si в корал	Глубоко- водный мелъф
4707	" 21/20	Известняк черный углисто-глинистый пелитоморфный сланцеватый	Глинистый изв. с редкой фауной с микритовой осн.-к. субпаралл. текстурой	остракоды	Ру гнезда 0.1мм	микротрец. Глубоко- водный мелъф
4700	" 21/21	Известняк черный углисто-глинистый т/з	Глинистый изв. с редкой фауной с микритовой осн.-к. субпаралл. текстурой	остракоды од.кораллы брехиоподы	Д Ру сипъ	микротрец. Глубоко- водный мелъф
4700	" 21/22	Известняк черный углисто-глинистый пелитоморфный с мелкими 0.5см брехиоподами	Шлаковый изв. глинистый	брехиоподы	Д стила	каверии в осн.-к. микротрец. Глубоко- водный мелъф

96	"	21/23	Известняк черный углисто-глинистый пелитокорфный	Шлаковый изв. микротитовий	брекчии остракоды	Д 5-10% Л 30% Ру	поры	Глубоко водный мелъф
97		21/24	Известняк си-сер. углисто-глинистый трещиноватый брекчированный	Шлаковый изв. микротитовий вак с кораллами	кораллы остракоды	КА Si в корал Д Ру гнезда	микротрец. Биогерич склон	
98		21/25	Известняк си-сер. пелитокорфный	Шлаково-детрит-изв. (микротитовий вактоун)	остракоды криноиды сгусковый	КА Л 40% Si в корал изанки кораллы пелецкоды кальцисфера		Мельф спокойные воды
99		21/26	Известняк си-сер. пелитокорфный детритовый	Шлаково-детрит-изв. (микротитовий вак-вак) с Q-зернами п/скат	остракоды криноиды изанки	КА Л 40% сталь	меззери.	Мельф отмель
100		21/27	Известняк си-сер. к/з детритовый	Шлаково-детрит-изв. (микротитовий вак-вак) с Q-зернами -	остракоды криноиды изанки брекчии спилкуан	КА Л 30% изанки брекчии	каверни 0.2x0.3мм	Мельф отмель
101		21/28	Известняк т-сер. к/з	Шлаково-детрит-изв. микротито-спаритовый вактоун	остракоды криноиды кониконхи	КА Л 60% Д	каверни трещины	Мельф
102	4706-	21/29	Известняк б-сер. к/з криноидный	Криноидный аренит (спаритовый грейнстоун)	остракоды криноиды	КА Л 80% Ру	меззери. микротрец.	Мельф подвижные воды
103	4712			светлый				
103		21/30	Известняк б-сер. к/з криноидный	Доломитизированный шлаково-детритовый изв. (вактоун)	остракоды криноиды	Д 70%	межкрест.	Мельф
104		21/31	Известняк б-сер. ср/з криноидный	Криноидный аренит (микротитовий грейнстоун)	остракоды криноиды	КА Л 10% Ру		Мельф тв-дно
105		21/32	Известняк б-сер. ср/з органоген- ний брекчирован- ный с ка-трещи- нами	Органогенно-оба-изв. (микротитовий пак-грейн)	остракоды криноиды кораллы	Д 20% по осн.-и. Ру вкр.	трещины	Межбиогерич склон
106	4765-	21/33	Доломит б-сер.	Доломитизированный	криноиды	Д 80%	межкрест.	Мельф

4770		ср/з криноидный	криноидный изв.					
107	21/34	Доломит б-сер. ср/з криноидный	Доломитизированный криноидный изв.	криноиден	Д 80%	неекрист.	Мельф	
108	4770-	Известняк т-сер. 4778 со са-кор. пят- ками, и/з с криноидами	Органогенно-обла-изв. (микротовый грейн) субпаралл. текстурой	криноиден брахиоподы иинки	Д 5%		Биогерм склон	
109	"	21/36 Известняк т-сер. и/з криноидный с ка проявлениями	Шлаково-детритовый изв.(пакстоун)	криноиден брахиоподы иинки	Д 20% стила	неизв.	Биогерм подвижные воды	
110	4778-	21/37 Известняк б-сер. 4786 пелитоморфный	Шлаково-детритовый изв.(вак-пакстоун) сгустково-микротовый	криноиден брахиоподы иинки	КА П 5-10%	трещины	Биогерм склон	
111		21/38 Известняк б-сер. и-ср/з криноидный изв.(вак-пакстоун) детритовый с брахиоподами	Шлаково-детритовый изв.(вак-пакстоун) спарит-микротовый	криноиден брахиоподы иинки кораллы кальцисферы	КА П 30% стила		Биогерм склон	
112	4786-	21/39 Известняк т-сер. 4792 и/з криноидный рассланцованный	Криноидный арагонит микротовый грейнстоун тесный (углистый?) субпаралл. текстуры	криноиден иинки кораллы		неекрист.	Мельф ПОДВИЖНЫЕ воды	
113		21/40 Известняк св-бур. и/з криноидный пятнистый	Шлаково-детритовый изв.(вак-пакстоун) спарит-микротовый крюлевый детрит 0.5 см	криноиден брахиоподы иинки кораллы	Д 5-10% П 30% стила		Биогерм склон	
114		21/41 Доломит б-сер. и/з	Доломитизированный вакстоун 'светлый'	криноиден	Д 80%	неекрист.	Мельф	
115		21/42 Известняк т-сер. обломочный	Шлаково-детритовый изв.(вак-пакстоун) спарит-микротовый биотурбированный	спикулы криноиден иинки остракоды	КА П 30% стила		Склон ТД-ДНО	
116		21/43 Известняк б-сер. т/з	Шлаково-детритовый изв.(вакстоун) спарит-микротовый со спутано-волокнистой текстурой осн.и.	спикулы конкременты криноиден остракоды	КА Ру			
117		21/44 Известняк т-сер. слоистый	Шлаково-детритовый изв.(вакстоун) контакт светлого спаритового и	криноиден брахиоподы иинки кораллы	Ру гнезда стила		Мельф	

			тектонического микрого	кальцисфера		
			прослоев	пеленцизы		
118	21/45	Известняк т-сер. слоистый с прослоями круп- ко- криноидного изв. Існ. иоци.	Шлаково-детритовый изв.(закстоун) микрого	криноидек остракоды ианки кораллы кальцисфера		Чельф
119	21/46	Известняк т-сер. слоистый с и/з прослоями среди пелитокорфного изв.	Шлаково-детритовый изв.(закстоун) контакт светлого спаритового и тектонического микрого прослоев	криноидек брахиоподы ианки кораллы	стила	Чельф
120	21/47	Известняк т-сер. слоистый с и/з прослоями среди пелитокорфного изв.	Шлаково-детритовый изв.(закстоун) контакт светлого спаритового и тектонического микрого прослоев	криноидек брахиоподы ианки кораллы	стила	Чельф
121	21/48	Известняк т-сер. слоистый и/з прослоями	Шлаково-детритовый изв.(закстоун) микрите-спаритовый тектонистый	криноидек ианки кораллы остракоды	КА Ру. силь неокрист. отдель 0.5мм	казерны Мельф

ЛИВКИНСКАЯ 22

Нп/Глубина/Н обр.			Макроописание	Фауна	Диагенети- ческие преобразова- ния	Поры	Фация
			Макроописание (состав, структура, соотношение зерен и цемента)				
1	4679	2152	Известняк и/з буровато-сер. слоистый	Спаритовый конкрвато- струстковый пакстоун, фауна и литокласти микрителизированы и полусогнуты, размер 0.2-0.5мм, градаци- онно сортированы	остракоды КА		отложение текущий
2	4679,3	2153	Известняк пелитокорфный буровато-сер.				
3	4679,6	2154	Акапиторовый рудстоун окремненный	акапиторы	Si		Биогерик склон
4	4680,2	2156	Коралловый известник	кораллы	КА		

5 4680,5	2157	Известник пятнистый	Коралловый рудстоук (фрагменты кораллов 0.5 см в микрите) и литокласти в микритовом вакстоуке	кораллы	стила по границам склон литокластиев	Биогерм
6 4680,8	2158	Коралловый известник		кораллы	КА	
7 4681,3	2159	Известник пелитоморфный буровато-сер.				
8 4681,6	2160	Известник пятнистый	Коралловый рудстоук (фрагменты кораллов	кораллы		
9 4682,2	2162	Известник пятнистый буроватый	Фрагмент коралла 1 см в спарите	кораллы по ок	Д 30% по ок	поры 0.3 межзерни- х зиятий кораллов 8-10%
10 4705	2163	Известник т-сер.к/з с прослойками черного углистого сланца 0.5 см	Резкая граница светло- го и темного прослойка светлый - коралловый флюгустоук темный - амфиболовый вакстоук на границе - стромато- поры линзообразно	кораллы амфибопоры	Д 50% по ок	Межбиогерм
11 4706	2164	Известник т-сер. с литокластами 0.5-1 см слоистый	Микритовый вак-пак- стоук тонкослоистый литокластики и биокласти	кораллы брекчии	КА остракоды строматопоры	Отложение течений
12 4706,5	2165	Известник с кораллами	Биокласти кораллов 1-3 см в слоистом кад-вакстоуке	кораллы		Склон биогерма
13 4707,3	2166	Изв. бурый к/з				
14 4708	2167	Изв. бурый к/з				
15 4708,3	2168	Известник коралловый				
16 4709,5	2169	Изв. бурый пятнистый	Содержит литокласти разм. около 1 см			
17 4710,2	2170	Изв. св.-бур. пелитоморфный				

БЛЮДНЫЙ

18	4711	2171	Известняк серый слоистый	Тонкослоистый альто- кластово-биокластовый вакстоун	Криноиды брехиоподы	тонкие частые стилолиты	Отложение течений
19	4712,8	2172	Изв. бурый пятнистый с прожилком КА				
20	4713,5	2173	Известняк коралловый				Биогерк
21	4714,2	2174	Изв. с кораллами	Конковато-никритовый вакстоун с фрагментами кораллов	кораллы		Биогерк
22	4715,8	2176	Изв. т.-сер. пятнистый	Фрагмент строматопоры разн. Icfa конковато- струстковый биокластовый никрите	строматопора, стиала остракоды брехиоподы		Биогерк
23		2177	Изв. т.-сер. пятнистый				
24		2178	Изв. т.-сер. пятнистый				
25	4718	2179	Изв. доломитизированный бурый слоистый				
26	4718,5	2180	Доломит и/з бурый	Ромбоздры доломита развиты по темно-бурой никрите осн. кассе	реликт брахиоподы		
27	4730	2181	Доломит и/з светло-бурый слоисто-пятнистый с прожилком Д				
28	4730,5	2182	"				
29		2183	"				
30	4732	2184	Доломит и/з светло-бурый слоисто-пятнистый				
31	4733	2185	Доломит и/з т.-бур.	Ромбоздры доломита развиты по никрите осн. кассе бискастового вакстоуна	криноиды Д >80% кораллы основной кассе бискастового вакстоуна	поры-каверны 0,5мм между христаллами Д	Мелководный шельф
32	4734	2186	Брекчия доломитизации				
33	4736	2188	Доломит т/з светло-бурый с прожилком З-5мм				
34	4737	2189	Доломитизированный вакстоун				
35	4738	2190	Доломит бурый слоистый	Тонкослоистый доломити- зированный по осн.-кассе вакстоун с крупными (3мм) криноидами	криноиды строматопоры	Д 80%	Шельф

37	4740	2192	Известник коралловый доломитизированный кавернозный			Биогерк
38	4741	2193	Известник пачисто-слоистый серый	Акфилоровый известник слоистый	амфиборы остракоды	Д по фауне пори Эми стила эвакрист.
39	4743	2195	Брекчия доломитизации			
40	4746	2198	Доломит слоисто-пачистый бурый к/з			
41	4747	2199	-"-			
42	4748	2200	-"-			

ДРУЖНАЯ 51

1	4999-	7568	Изв. т.-бур. т./з	Микритовый вакстоун тонкослоистый	остракоды?	Ру	Глуб.-мелъф
	5005						спокойные воды
2		7569	Изв. коралловый				
3		7570	Изв. к/з бурый доломитизированный				
4	5111-	7571	Изв. т/з са.-бур.	Вакстоуки перекристал- лизованный	амфиборы?	Si пачна	
	5116						
5	5121-	7572	Изв. т/з серый	Микритовый вакстоун тонкослоистый	остракоды	Д 50%	Мельф
	5126				гастропода		течения
6	5157-	7573	Доломит к/з пористый				поры 1-2мм
	5163						> 10%
7	5206-	7574	Изв. т-сер. слоистый	Криноидный вак-пак- стоуки, крупные (!-3мм) криноиден в тонкослоистом матриксе	криноиден остракоды	Стила частные параллельные	Мельф
	5213						течения
8	"-	7575	Криноидный вакстоун				
9	"-	7576		Криноидный вак-пак тонкослоистый	криноиден	Si по осн.-к. КА	Мельф течения
10	5213-	7577		Тонкослоистый акто- биокластовый грейстоун	амфиборы цефалоподы?		Мельф
	5220			клластика разн.-0.5-0.7мм зерна кварца	кораллы		мелк- отмель
11	"-	7578	Изв. к/з серый	Пак-вакстоун лито-биокластовый литокласти 2см			

12 -"-	7579	Изв.-слоистый	Пак-грейстоук биокластовый кораллы тонко-слоистый	КА	Чельф подвижные воды
13 -"-	7580	Изв.-и/з бурый	Вакстоун	Si по фауне	
14	5220-	7581 Изв.-и/з 5228	Вакстоун содержит зерна Q в карбонатном цементе и литокласти разн. исч	Si	
15 -"-	7582	Изв.-т.-сер.			
16 -"-	7583		Микртовий вакстоун с редкими зернами Q	остракоды криноиды	КА Чельф мелков-
17 -"-	7584	Изв.- т-сер.	Доломитизированный вак-пакстоун с зернами Q		
18 -"-	7585	Изв.- к/з	Крупные (0.5 см) фрагменты иланки и иланок в Q-песчанике	Криноиды	Чельф мелков- отиль
19 -"-	7586	Изв.- т-сер. с белыми овальными кораллами	Известняк коралловый, осн. масса тонко-слоистый вакстоун	КА	Течения
20 -"-	7587	Кварцевый песчаник с карбонатным цементом		Д 30% Ру кристаллы	